

INSTITUTUL POLITEHNIC „TRAIAN VUIA” TIMIȘOARA  
FACULTATEA DE MECANICA  
Catedra Utilajul și tehnologia sudării

Ing. SCOROBETIU LUCIAN

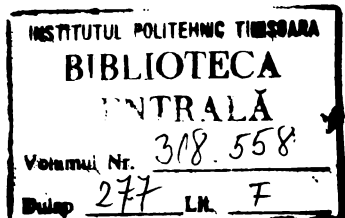
SUDAREA UNOR OTELURI CU W, Cr, Mo, FOLOSITE IN  
CONSTRUCTIA MATRITELOR PENTRU DEFORMARI PLASTICE  
LA CALD

Teză de doctorat

BIBLIOTECA CENTRALĂ  
UNIVERSITATEA "POLITEHNICA"  
TIMIȘOARA

Conducător științific:  
Prof.dr.doc.ing. VLADIMIR POPOVICI

Timisoara 1975





## INTRODUCERE

In procesul de industrializare intensă din țara noastră, tehnica sudării contribuie la realizarea sarcinilor trasate de conducerea superioară de partid, legate de îmbunătățirea continuă a calității produselor, de mărirea preciziei dimensionale, de reducerea consumurilor specifice de materiale și energie, care în final conduc la micșorarea prețului de cost.

Pe această linie lucrarea de față și propune să stabilească posibilitățile optime de mărire a durabilității în exploatare a matrițelor pentru deformări plastice la cald, utilizând încărcarea prin sudare.

Teza de doctorat este alcătuită din două părți constituite din 5 capitole și cuprinde 154 file text, 110 figuri, precum și 6 fiile anexe.

Prima parte a tezei (capitolele 1-2) tratează probleme specifice construcției matrițelor, legate de posibilitățile de încărcare prin sudare. Această parte cuprinde rezultate și concluzii ale unor lucrări din literatura de specialitate, dintre care unele au fost grupate de autor sub formă de diagrame sau tabele, pentru a fi mai intuitive.

În partea a III-a a tezei (capitolele 3-5), sunt prezentate rezultatele cercetărilor autorului. Astfel în capitolul 3 au fost stabilite relații teoretice de calcul a cîmpului termic la sudare, specifice matrițelor pentru deformări plastice la cald.

Aplicabilitatea acestor relații a fost verificată experimental cu ajutorul instalațiilor concepute de autor. Tot în cadrul acestui capitol este prezentată o nomogramă de concepție proprie (fig.3.1o) cu ajutorul căreia determinarea temperaturii de preîncălzire a metalului de bază, nu mai necesită calcule suplimentare.

Capitolul 4 cuprinde rezultatele cercetărilor privind stabilirea tehnologiei de încărcare prin sudare a matrițelor pentru deformări plastice la cald, precum și a rezultatelor obținute prin sudarea cu noul tip de electrod care asigură un conținut de 3% Mo, 3% Ni, 3% Co a stratelor încărcate.

Dispozitivele pentru poziționarea matrițelor în timpul sudării, dispozitivele pentru preîncălzirea electrică sau cu gaze concepute și realizate de autor, sunt prezentate tot în capitolul 4.

Verificarea calității zonelor încărcate prin sudare a matri-

țelor s-a efectuat prin metodele clasice de control, dar au fost utilizate și mijloace moderne de investigație (verificarea compozită chimice a incluziunilor din sudură cu ajutorul microsondei electronice, cercetarea la microscopul electronic), prezentate la punctul 4.4.4.

O parte a rezultatelor prezentate în lucrare au fost comunicate de autor în diferite sesiuni științifice, sunt publicate, sau sunt în curs de publicare.

Doctorandul își exprimă pe această cale profunda să recunoște Prof.dr.doc.ing. Popovici Vladimir, pentru indicațiile prețioase și sprijinul permanent acordat, pentru a duce la bun sfîrșit lucrarea de față, precum și Prof.dr.ing. Ionescu I. Gheorghe, care a contribuit sistematic la formarea pasiunii doctorandului pentru cercetările din domeniul sudării.

Mulțumiri deosebite se cuvin de asemenea colectivelor de catedră Utilajul și tehnologia sudării, Tehnologia metalelor și Tehnologia construcției de mașini, conducerii facultății de Mecanică și a Institutului politehnic „Traian Vuia” Timișoara, precum și colectivului catedrei de Metalurgie de la Institutul politehnic București.

Cu această ocazie își să mulțumească colectivului catedrei Utilaj tehnologic pentru sprijinul acordat pe tot parcursul elaborării lucrării, conducerii facultății T.C.M. și a Universității din Brașov.

Doctorandul mulțumește de asemenea colectivelor secțiilor de forjă, serviciilor metalurgice și laboratoarelor din întreprinderile de autocamioane și de tractoare Brașov, întreprinderea Hidromecanica Brașov și Industria firmei Cimpia Turzii, care au fost receptivi față de problemele propuse și au sprijinit efectuarea experimentărilor în procesul de producție.

## P A R T E A I-a

### 1. CONSTRUCTIA MTRITELOR PENTRU DEFORMARI PLASTICE LA CALD

Matrițele utilizate pentru deformările plastice la cald a mătalelor, sint scule intens solicitate mecanic și termic, avind parametrii severi de exploatare, dintre care pot fi amintiți următorii:

- sarcini dinamice repetitive, care pot produce în materialul matriței, tensiuni având valori pînă la  $200 \text{ daN/mm}^2$  [73] ;
- variații alternative de temperatură la suprafața activă a matriței, care pot atinge valori egale cu  $0,5\text{--}0,6$  din temperatura de mărițare [8] ;

- o intensă frecare abrazivă la cald, între suprafața matriței și semifabricat, care crește în decursul exploatarii, datorită măririi rugozității superficiale a matriței;

Având în vedere importanța durabilității matrițelor care influențează calitatea și costul pieselor produse, se recomandă ca materialele din care se execută matrițele, să asigure anumite proprietăți [20], printre care cele mai importante sint:

- Tenacitate ridicată la cald, deformabilitate cît mai redusă și rezistență mare la uzură și la oxidare, pentru păstrarea stabilității dimensionale a cavitaților matriței.

- Rezistență ridicată la oboseală și la socuri termice, pentru evitarea fisurărilor superficiale, sau chiar a ruperilor de material în timpul exploatarii.

- Valorile punctelor critice de transformare cît mai mari, pentru a microstructura suprafeței matriței, în contact cu piesa caldă, să nu fie influențată termic.

- Prelucrabilitate prin aşchiere și călibilitate bună, iar materialul să fie cît mai ieftin, pentru ca prețul de cost al unei matrițe să fie minim.

In realitate nu s-au elaborat încă materiale care să întrunească toate aceste calități. Firmele producătoare au obținut materiale noi, la care predomină anumite proprietăți, având performanțe maxime în detrimentul celorlalte proprietăți.\*

\* (Spre exemplu: oțelurile cu wolfram sau siliciu au o rezistență termică deosebită, în schimb nu au tenacitate satisfăcătoare; oțelurile cu nichel au tenacitate ridicată, în schimb nu au stabilitate termică).

Din această cauză în prezent se recomandă [81] utilizarea mai multor sortimente de oțeluri pentru matrițe, precum și o alegere corectă a tipurilor constructive de matrițe, care pot fi monobloc sau compuse, astfel încât să satisfacă necesitățile specifice operațiilor de deformări plastice la cald.

### 1.1. Matrițe monobloc

Matrițele monobloc sunt utilizate cel mai des în cazul matrițării pe ciocane, datorită eforturilor dinamice care apar la impactul dintre scule și materialele deformate plastic.

Eforturile maxime din matrițele monobloc sunt situate în zona cavităților, în care materialul deformat intră în contact cu matriță, dar nu trebuie neglijate nici eforturile care apar în zona de fixare a blocurilor de matriță pe berbec, respectiv pe sabotă.

Din acest motiv în toate secțiunile matrițelor trebuie asigurate proprietăți mecanice ridicate [27], ceea ce este destul de dificil de obținut, în cazul matrițelor de dimensiuni mari.

În cazul matrițelor monobloc, după uzura inherentă a cavităților, care apare după matrițarea unui anumit număr de piese, matriță se poate reutiliza în urma unor operații de recondiționare, dintre care se pot aminti [20], [35] :

- a). Prelucrarea gravurii pentru piese de același tip având dimensiuni mai mari;
- b). Regravare parțială (adâncirea gravurii pînă la metalul lipsit de defecte);
- c). Regravare totală (eliminarea completă a primei grave și regravarea materialului cu o cavitate pentru piese de dimensiuni mai mici).

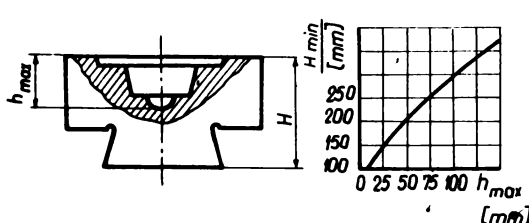


Fig. 1.1. Înălțimea minimă a matriței  $H_{min}$  în funcție de adâncimea maximă a cavității  $h_{max}$ . [20]

Aceste tipuri de recondiționări sunt posibile, dacă înălțimea  $H$  a matriței satisfac relația:  $H > H_{min}$ , în care  $H_{min}$  este înălțimea minimă necesară matriței având o cavitate de adâncime  $h_{max}$ . Dependența dintre  $H_{min}$  și  $h_{max}$  este dată în fig. 1.1 [20].

Pentru a fi posibilă regravarea matrițelor, în unele cazuri se adoptă încă de la proiectarea lor o înălțime H mai mare, care necesită însă un consum suplimentar de oțel;

d). Înlocuirea părților expuse degradării cu părți amovibile, ceea ce transformă matrița monobloc într-o matriță compusă, care de cele mai multe ori nu mai poate fi utilizată în cazul matrițării pe ciocane, ci numai pe prese;

e). Încărcarea prin sudare a zonelor uzate, sau a întregii suprafețe a gravurii, cu materiale de adaos compatibile cu metalul de bază și având proprietăți asemănătoare.

Din cele prezentate se observă că matrițele monobloc, având dimensiuni mari, necesită mult material de calitate, tratamente termice și prelucrări mecanice mai dificile, motiv pentru care prețul lor este ridicat și se răsfringe direct asupra prețului de cost al pieselor matrițate.

### 1.2. Matrițe compuse

Reducerea consumului de oțeluri speciale se poate obține prin confectionarea matrițelor compuse, care pot fi matrițe cu pastile [20], sau matrițe bimetalice cu straturi încărcate prin sudare [35], [51], [52], [143], [108] .

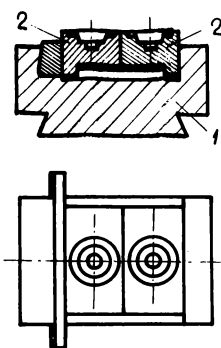


Fig.1.2. Matriță cu pastile [20].

Matrițele cu pastile (inserții), fig.1.2 [20] sunt constituite dintr-un bloc de oțel obișnuit 1, în care se fixează prin presare, cu suruburi, sau cu pene, pastila 2.

Pastila este confectionată dintr-un oțel de calitate, având o rezistență mare la temperaturi finale. Pastilele au dimensiuni cu mult mai mici decât matrițele monobloc și se pot schimba ușor după uzare.

Rezultatele practice au arătat însă că, în cazul matrițării pieselor mari pe ciocane, acest sistem nu este indicat să fie utilizat, datorită socurilor mari care intervin în procesul tehnologic.

Matrițele bimetalice se obțin prin încărcarea prin sudare cu aliaje rezistente la temperaturi înalte, a gravurilor matrițelor, în zonele de solicitare maximă, sau chiar pe întreaga suprafață activă [153] , [164] , [153] , [165]. Durabilitatea matrițelor încărcate prin sudare crește de 3-4 ori față de durabilitatea matrițelor obișnuite [20], [35].

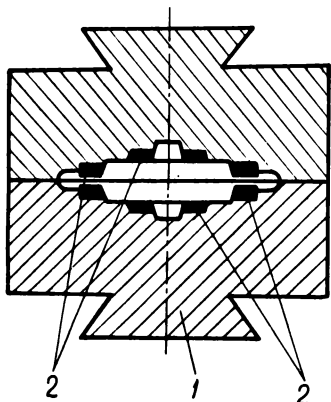


Fig.1.3. Matriță bimetalică

In fig.1.3 se observă o matriță bimetalică, la care metalul de bază 1 este încărcat parțial prin sudare, cu material rezistent la temperaturi înalte 2, în zonele de uzură maximă.

Materialul încărcat prin sudare fiind înalt aliat, asigură matriței o durabilitate ridicată, chiar dacă matrița nu este construită din oțel înalt aliat.

După uzarea matriței, aceasta se poate reconditiona, folosind același material de adăos, ca și cel depus inițial.

In acest fel matrițele pot fi utilizate chiar după 2-3 reconditionări ale zonelor de uzură maximă. Aceasta prezintă

avantaje față de reconditionarea prin regravare, deoarece înălțimea blocului de matriță, respectiv rigiditatea lui nu se modifică. In cazul alegării unei tehnologii corespunzătoare de încărcare, precum și a unor materiale adecvate, se pot elibera tratamentele termice ulterioare [27] , [20] . Se cunosc și încărcări prin sudare cu aliaje care necesită tratamente termice ulterioare [153] , dar sunt preferate aliajele autocălibibile, datorită simplificării tehnologiei de reconditionare și a obținerii unei calități corespunzătoare a matrițelor [159] , [160] , [161] .

### 1.3. Alegerea oțelurilor pentru matrițe

Există mai multe criterii pentru alegerea oțelurilor de matrițe în funcție de proprietățile oțelurilor specificate în norme, și de utilajele pe care vor funcționa [81] .

La această alegere se ține seama de numărul pieselor matrițate, precizia dimensională impusă, forma și mărimea pieselor, precum și de solicitările mecanice și termice care intervin la matrițare.

detalii în jurnalul  
de lucru

Matrițele monobloc și pastilele se execută din oțeluri mediu și finalt aliate, iar matrițele compuse se execută din blocuri de oțel slab aliate, sau chiar nealiate [14] , [37] .

### 1.3.1. Influența unor elemente de aliere asupra proprietăților oțelurilor pentru matrițe

Proprietățile oțelurilor pentru matrițe și sudabilitatea lor depinde de concentrația elementelor de aliere și de modul de reparație a acestora în cadrul microstructurii cristaline.

In tabelă 1.1 este prezentată o sistematizare a unor date cunoscute în literatura de specialitate [9] , [20] , [21] , [22] , [27] , [35] , [37] , [39] , [40] , [43] , [44] , [55] , [69] , [74] [78] , [81] , [85] , [86] , [89] , [112] , [134] , privind influența elementelor de aliere asupra proprietăților oțelurilor pentru matrițe.

Intrucit carbonul este elementul de aliere comun tuturor oțelurilor pentru matrițe, sunt necesare următoarele precizări:

Oțelurile nealiate pentru matrițele monobloc, supuse unor condiții usoare de solicitare [37] , pot conține între 0,6-1,0% C, necesar asigurării unor rezistențe ridicate și a unor deformații reduse ale matrițelor.

Oțelurile nealiate pentru matrițele compuse necesită un conținut maxim de  $0,45\text{-}0,50\%$  C, care asigură tenacitatea și permit în același timp încărcarea matriței prin sudare fără prea mari dificultăți.

Oțelurile aliate pentru matrițe se recomandă să conțină, [20] [27] , [37] , între 0,3-0,7% C, pentru formarea unor carburi fin dispersive, care măresc durabilitatea matriței.

Limita inferioară (0,3% C) este recomandată pentru asigurarea unei călărități suficiente, iar limita superioară (0,7% C) nu trebuie depășită, pentru a nu crește tendința de fisurare sub acțiunea sarcinilor dinamice.

In cazul oțelurilor de matrițe cu Wolfram, conținutul de carbon are limite și mai apropiate și anume 0,3-0,4% C. S-a constatat [81] că aceste limite favorizează rezistența la uzură și la sarcini dinamice.

Mărirea conținutului de carbon în oțeluri mărește călăritățea și influențează defavorabil asupra sudabilității. Matrițele având cote mari de gabarit și fiind prelucrate din oțeluri cu un



Tabela 1.1. Influenta elementelor de aliere asupra proprietăților oțelurilor pentru mărite

		Elemente de aliere specifice										Obs.
		Cr	Mn	Ni	Co	Si	Mo	W	V	Ti	Nb	
Temperaturi critice	$A_4$ [K]	↙	↗	↗	↗	↗	↘	↘	↘	↘	↘	↘
	$A_3$ [K]	↙	↘	↘	↗	↗	↗	↗	↗	↗	↗	↗
	$A_1$ [K]	↗	↘	↘	↗	↗	↗	→	↗	↗	↗	↗
	$M_s$ [K]	↓	↓	↘	↗	↗	↗	↗	↗	↑		↑
Proprietăți fizice	$\lambda$ [ $\frac{W}{m \cdot K}$ ]	↙	↓	↓	↗	↗	↓	↓	↓	↗	→	
	$C$ [ $\frac{J}{kg \cdot K}$ ]	↗	↗	↗	→	→	↗	↓	↓	→	→	↗
	$\rho$ [ $\frac{kg}{m^3}$ ]	↙	→	↗	↗	↗	↗	↗	↑			
	$\alpha$ dilatare [ $K^{-1}$ ]	↙	↗	↓			↗					
Acțiune metallurgică în prezența unor elemente insolubile	C	Formarea carburiilor simple $C_{Fe}C_n$ , $Mn_3C$ nu formează	$C_{Fe}C_n$ , $Mn_3C$	nu formează	$M_{Fe}C_n$ , $W_mC_n$ , $V_mC_n$	$TiC$	$H_bC$	nu formează				
		Formarea carburiilor complexe $(FeC_p)_{m,n}(FeMn)_nC$ $(FeCr)_m(CrMn)_nC$	$(FeC_p)_{m,n}(FeMn)_nC$	nu formează	$(Fe_mH_n)C_p, (Fe_CrWV)_6C$ $Fe(H_nW)_3C, (FeCr)_mW_nC$			nu formează				
		Finisarea carburiilor				↑	↑	↓	↑	↑	↑	→
		Dizolvarea azotului în oțelul lichid	↗		↗	→	→	↗	↗	↗	→	↗
Oxigen	N	Formarea nitrușilor	$CrN$ $Cr_2N$	$Mn_6N$			$MnN$ $Mn_2N$		VN	$TiN$	$NbN$	$AlN$
		Decorburare superficială			↗		la oțeluri cu $W, Mn$					↗
		Protejare suprafete împotriva oxidării la cald			↑	↑						↗
		Formare de oxida	$Cr_2O_3$ $CrO_3$	$MnO$ $Mn_2O_3$	$NiO$	$CoO$ $Co_3O_4$	$SiO_2$	$MnO_2$ $Mn_2O_3$	$WO_2$ $W_2O_3$	$V_2O_3$ $V_2O_5$	$TiO_2$	$Nb_2O_5$ $Al_2O_3$
Sulfur	S	Formarea petroșilor metallocsilicatini fragili		↓	↗	↗				↗	↗	↗
		Protoporoșul hidrogenului în oțelul lichid			↑							
		alte formare compușilor intermetalici	$CrFe, FeCr$ $MnCr$	$NiCrMo$	$CoCr$	$Fe_3Si_2$ $FeSi_2$	$MoCrNi$		FeV			$FeAl_2$
		Segregare dendritică	↑			↗						
Efecte posibile asupra structurii și proprietăților oțelului	Sensibilitate la suprareacuire		↖	↑	→	↖	↖	↓	↓	↓	↓	↓
	Stabilitate termică		↑	↓	↗	↗	↑	↑	↑	↑		
	Adâncimea de pătrundere a călirii		↑	↑	↗	↖	↗	↗	↗	↗		
	Conținutul de austenit reziduală		↑	↑	↗	↖	→					↗
Efecte posibile asupra proprietăților oțelului	Fragilitatea la revenire		↗	↗	↖	↓	↗	↓	↗	↓	↓	↓
	Duritatea		↑	↑	↗	↗	↑	↑	↑	↑	↑	↑
	Reziliența la cald		↖	↗	→	↖	↗	↑	↗	↗		
	Rezistența la uzură la cald		↑	↓	↖	↗	↗	↑	↑	↑		
Efecte posibile asupra proprietăților oțelului	Rezistența la soc		↑		↗	↗	↑	↗				
		<input checked="" type="checkbox"/> crește intens (e favorizată)	<input checked="" type="checkbox"/> crește (e favorizată)	<input type="checkbox"/>	e influențat redus	<input type="checkbox"/>	scade (e defavorizată)	<input type="checkbox"/>	scade intens (e defavorizată intens)			

Anexa 1

Anexa 2

Anexa 3

Anexa 4

conținut peste 0,3% C, pot fi sudate numai cu indicații corespunzătoare fiecărui tip de oțel.

In continuare este prezentată influența unui alt element cu utilizare mai recentă la alierea unor oțeluri pentru matrițe.

Cobaltul este utilizat în aliaje care funcționează la temperaturi ridicate, datorită precipitației din martensită a unor compuși greu solubili și fin dispersați, care măresc duritatea și termo-stabilitatea [35].

In urma extinderii utilizării cobaltului în diferite aliaje, au fost efectuate cercetări și în domeniul alierii cu cobalt a oțelurilor de matrițe [43], [44]. Efectul favorabil al cobaltului asupra oțelurilor de matrițe aliate cu nichel și molibden, se manifestă prin durificarea secundară având maximul la 823 K și prin mărirea stabilității și a rezistenței la uzură la cald.

Un efect negativ al cobaltului asupra acestor tipuri de oțeluri, este o oarecare reducere a tenacității, cauzată de schimbarea formei cementitei și a carburilor de Mo [43].

Cobaltul mărește valorile punctelor critice  $A_1$  și  $A_3$  cu 6,5 K pentru o creștere de 1% Co, precum și temperatura  $M_s$  cu 13,5 K pentru aceeași creștere a conținutului de cobalt [44].

Influența cobaltului asupra curbelor de transformare izotermă a austenitei este prezentată în fig.1.4 [44].

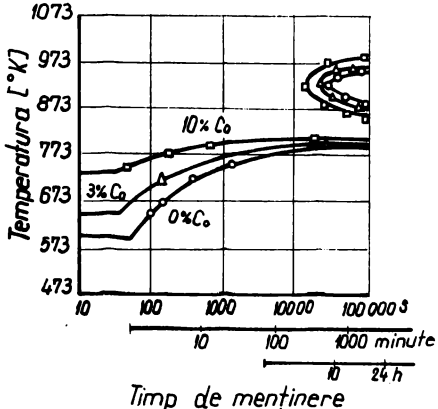


Fig.1.4. Influența cobaltului asupra transformării izoterme a austenitei [44]

Se observă din diagramă că la creșterea conținutului de cobalt, are loc o scădere a perioadei de incubație la transformarea beinitică și perlitică, fiind mai favorizată transformarea în perlită. Din această cauză călibilitatea oțelurilor cu nichel, molibden, cobalt, se micșorează odată cu creșterea conținutului de cobalt. Acest lucru se poate observa în fig.1.5 [44], în care călibilitatea este apreciată după diametrul critic al barelor de oțel, călitate

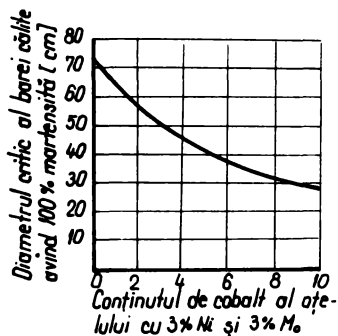


Fig. 1.5. Evaluarea călabilității în funcție de continutul de cobalt. [44].

să de precipitarea unui număr mare de carburi fine, a căror apariție este favorizată de dizolvarea cobaltului în soluția solidă, în care apar multe centre de cristalizare. Cobaltul nu participă chimic la aceste precipitate, fiind dizolvat complet în soluția solidă.

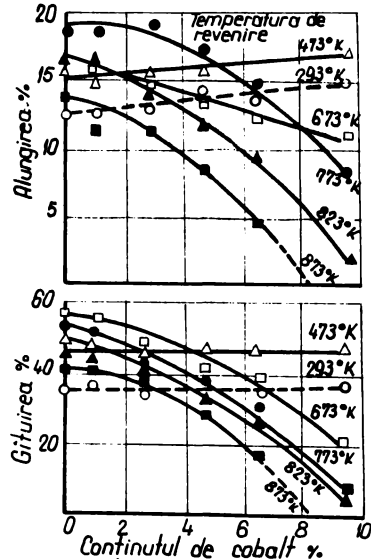


Fig. 1.6. Variatia proprietăților mecanice ale oțelurilor cu 3% Ni și 3% Mo în funcție de continutul de cobalt și de temperatura de revenire. [44]

Variatia proprietăților mecanice ale oțelurilor cu 3% Ni și

3% Mo în funcție de conținutul de cobalt se observă în fig.1.6 [44].

Cea mai favorabilă influență a cobaltului asupra oțelurilor cu 3% Ni și 3% Co este mărirea rezistenței la uzură, ceea ce se observă din fig.1.7 [44].

Astfel are loc o creștere intensă a rezistenței la uzură, odată cu creșterea conținutului de cobalt pînă la 3-4%, peste care rezistența la uzură crește în continuare, dar în mai mică măsură.

Determinările au fost efectuate prin simularea condițiilor de presiune și temperatură care apar la frecarea dintre matrice și piesă fierbinte [44].

O influență nefavorabilă a cobaltului asupra oțelurilor o constituie mărirea fragilității, care se poate aprecia cu ajutorul factorului  $K_{lc}$ .

În urma testării oțelurilor cu 3% Ni și 3% Mo s-a constatat că factorul  $K_{lc}$ , respectiv tenacitatea scade odată cu creșterea conținutului de cobalt, în cazul revenirii oțelurilor la temperaturi peste 573 K. Aceasta se observă în fig.1.8 [44].

Din diagramă se observă că tenacitatea este practic neinfluențată dacă oțelul conține sub 3% Co.

Acest lucru este confirmat și de cercetarea suprafeței fracturilor epruvetelor testate, care nu prezintă granulații caracteristice ruperilor fragile, în cazul concentrațiilor de cobalt mai mici de 3%.

Alte efecte favorabile ale cobaltului, asupra oțelurilor, sunt mărirea conductibilității termice și mărirea rezistenței la oxidare la cald, prin formarea unor pelicule superficiale protectoare, ase-

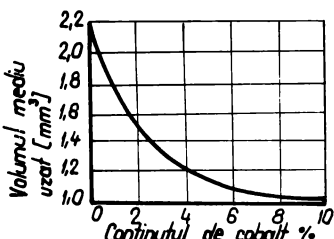


Fig. 1.7. Influența cobaltului asupra rezistenței la uzură a oțelurilor de matrice aliate cu 3% Ni și 3% Mo. [44].

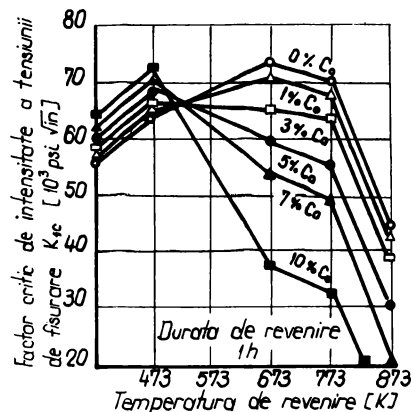


Fig. 1.8. Variatia factorului  $K_{lc}$  în funcție de conținutul de cobalt și de temperatura de revenire pentru oțelurile cu 3% Ni și 3% Mo. [44].

măriștoare celor produse de aluminiu.

Analizind efectele complexe ale cobaltului asupra proprietăților oțelurilor de matrițe aliate cu nichel și molibden, se observă că efectele sale negative asupra călăribilității și tenacității se pot diminua, prin alierea cu o cantitate mai mică de 3% Co. În acest caz, efectele favorabile ale cobaltului se manifestă încă destul de intens și anume, oțelurile au o rezistență mărită la uzură și la oxidare la cald, cu o prelucrabilitate mai bună și prezintă o durificare secundară prin precipitare, în urma revenirii la temperatura de 823 K, ceea ce le mărește rezistența în condiții grele de exploatare.

În aceste condiții, matrițele construite din oțeluri aliate cu nichel, molibden și cobalt, își măresc durabilitatea, astfel încât se reduce prețul pe unitate de piesă matrițată, cu aproximativ 33%. Se poate aminti compoziția chimică a unui astfel de oțel cu durabilitate mărită:

0,28% C; 0,7% Mn; pînă la 0,35% Si; 0,04% P; 0,04% S; 0,55% Cr; 3,3% Ni; 3,4% Mo; 3,0% Co; [44].

Din cele prezentate, se poate afirma că prezența cobaltului în oțelurile de matrițe aliate cu nichel și molibden prezintă avantaje deosebite, ceea ce impune extinderea și studierea lui și în aliajele destinate încărcării prin sudare.

### 1.3.2. Mărci indigene de oțeluri cu o largă utilizare în construcția matrițelor

În momentul de față există o diversitate mare de oțeluri pentru matrițe, care se recomandă a fi utilizate în practică [81], [35], [9], [69], [151], [156], iar durabilitatea lor nu depinde numai de calitatea oțelului, ci și de modul de exploatare.

Dintre oțelurile indigene [151], cel mai utilizat în construcția matrițelor pentru ciocane este oțelul MoCN 15, iar pentru pastilele de prese și mașini orizontale de forjat este oțelul VCW 85 [20], [27], [35]. În lucrare cercetările au fost axate pe oțeluri MoCN 15 și VCW 85 produse în țară.

Mai sunt utilizate și oțeluri VMoCN 17, cu un conținut mai mare de Ni și Cr și având în plus vanadiu, față de MoCN 15; De asemenea mai este utilizat uneori și oțelul cu siliciu, dar fără nichel, MoSC 30, care este mai ieftin.

Durabilitatea matrițelor construite din oțelurile MoCN 15 și VCW 85 este bună, iar prețul lor de cază este acceptabil față de al oțelurilor similare importate. Din acest motiv majoritatea atelierelor de matrițare utilizează des matrițe executate din aceste oțeluri.

#### 1.4. Caracteristicile oțelurilor pentru matrițe MoCN 15 și VCW 85

##### 1.4.1. Proprietăți mecanice

Oțelul MoCN 15 face parte din categoria oțelurilor cu rezistență și tenacitate ridicată, iar oțelul VCW 85 din categoria oțelurilor cu rezistență ridicată la cald [27], [35].

Rezistența la rupere și duritatea oțelului MoCN 15 îmbunătățit are valori mari, care se păstrează și în cazul încălzirilor îndelungate la temperaturi de 623-673 K asigurând o rezistență bună la uzură a matrițelor.

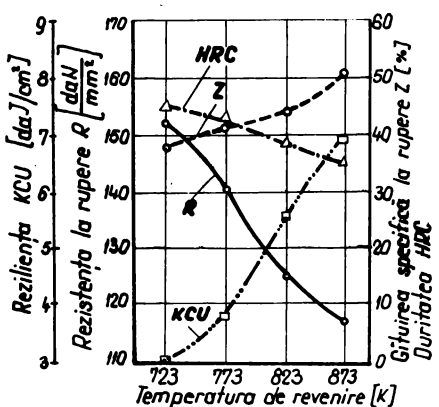


Fig. 1.9. Variatia proprietăților mecanice ale oțelului MoCN 15 călit de la 1113 K în ulei, în funcție de temperatura de revenire. [35].

Găuirea specifică la rupe re și rezistența acestui oțel, au de asemenea valori ridicate, ceea ce permite preluarea unor sarcini dinamice repetitive, fără pericolul de a fisura.

Variatia proprietăților mecanice ale oțelului MoCN 15 călit de la 1113 K în ulei și revenit la diferite temperaturi este prezentată în fig. 1.9 [35]. În urma încercărilor mecanice ale același oțel la diferite temperaturi de incercare, se obține o variație prezentată în fig. 1.10 [35]. Din această figură se observă că oțelul MoCN 15 și micorează intens

duritatea și rezistența la cald peste temperatură de 673 K, ceea ce impune ca matrițele executate din acest oțel să nu funcționeze un timp îndelungat peste această temperatură, decarece se pot produce uzuri pronunțate și deformații plastice. Astfel oțelul MoCN 15 este

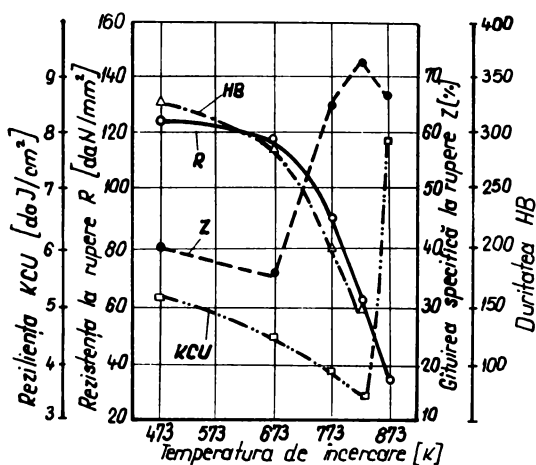


Fig. 1.10. Variatia proprietatilor mecanice ale oțelului M<sub>6</sub>Cr15 călit de la 1123 K în ulei și revenit 823 K, în funcție de temperatură de încercare. [35].

cercărilor mecanice ale aceluiași oțel revenit la 893 K, se obțin următoarele diagrame cu valorile rezistenței la rupere Z și a duratăii HB, în funcție de temperatura de încercare, prezentate în fig.1.12 [35] .

Din fig.1.11 se observă că oțelul VCW 85 cu conținutul de carbon la limita superioară ( $0,35\%$ ) se duritică prin precipitare, dacă este revenit la temperaturi de 823-878 K. Aceasta permite utilizarea lui pentru matrițe de prese, care datorită contactului mai îndelungat cu semifabricatele calde, se încălzesc mai intens și necesită o bună rezistență, pînă la temperaturi ridicate.

#### 1.4.2. Dilatarea linieră

Coefficientul de dilatare linieră a acestor oțeluri are valori relativ

recomandat pentru matrițele care lucrează pe ciocane.

Acest inconvenient nu se observă în cazul oțelului VCW 85, chiar dacă funcționează la temperaturi pînă la 873-923 K, în schimb tenacitatea oțelului VCW 85 este mai scăzută, datorită existenței carburilor de wolfram, care nu au o dispersie uniformă în cadrul microstructurii oțelului.

Variatia proprietăților mecanice ale oțelului VCW 85 călit de la 1373 K în ulei și revenit la diferite temperaturi se observă în fig.1.11 [35] . În urma în-

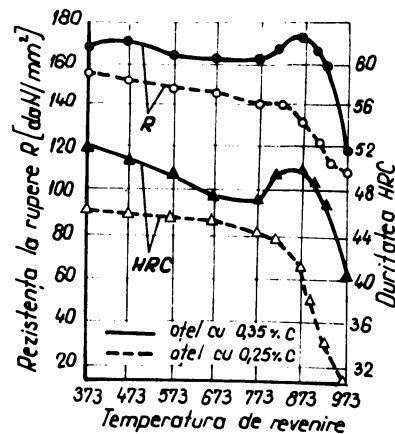


Fig. 1.11. Variatia proprietatilor mecanice ale oțelului VCW 85 călit de la 1373 K în ulei, în funcție de temperatura de revenire. [35].

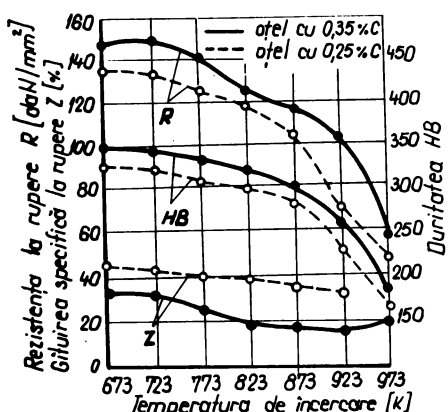


Fig. 1.12. Variatia proprietatilor mecanice ale oțelului VCW 85 călit de la 1373K în ulei și revenit la 893K în funcție de temperatura de încercare. [35]

Această valoare mică a coeficientului de dilatare termică prezintă avantaje și în ceea ce privește rezistența la soc termic, mărindu-i valoarea [27].

Tabela 1.2 Coeficientul de dilatare liniară  $\alpha \times 10^6$  [35].

Marca oțelului	Intervalul de temperatură [K]			
	370 - 523	423 - 673	623 - 873	873 - 973
MoCN 15	12,55	14,10	14,20	15,00
VCW 85	10,28	13,05	13,20	13,30

#### 1.4.3. Carbonul echivalent

Carbonul echivalent caracterizează oțelurile în ceea ce privește sudabilitatea și permite stabilirea temperaturii de preîncălzire la care oțelul încă nu fisurăază atunci când este sudat.

Există multe relații de calcul a carbonului echivalent [34], [38], [60], [63], [112], [124], [139], [147], [152], [157], [167], [168], [169] și aplicarea lor se face în funcție de grupa de aliere din care face parte oțelul cercetat. Astfel în cazul oțelurilor aliante pentru matrițe se recomandă [60], [157] următoarele relații:

mici în intervalul de temperatură de 373-1073 K [35] și aceasta mai cu seamă pentru oțelul VCW 85.

Valorile medii ale coeficientului de dilatare liniară pentru diferite intervale de temperatură sunt date în tabela 1.2.

Valoarea mică a coeficientului de dilatare liniară este avantajoasă în privința tratamentelor termice precum și a sudării, deoarece corespunzător acelorasi cimpuri termice valoările deformațiilor, respectiv a tensiunilor interne sunt mici.

- Pentru oțel W-Cr-V [60]:

$$Ce = \% C + \frac{\% Mn}{14} + \frac{\% Cr + \% W}{10} + \frac{\% Mo}{5} + \frac{\% V}{5}$$

- Pentru oțel Cr-Ni-Mo [157]:

$$Ce = \% C + \frac{Mn}{20} + \frac{\% Ni}{15} + \frac{\% Cr + \% Mo + \% V}{10}$$

Deoarece standardele oțelurilor MoCN 15 și VCW 85 prevăd limite de variație ale elementelor de aliere, vor rezulta două valori ale carbonului echivalent, calculate pentru limita inferioară, respectiv limita superioară a conținutului de elemente. Aceste valori precum și conținutul de elemente de aliere corespunzătoare, sunt prezente în tabela 1.3.

Tabela 1.3. Compoziția chimică și carbonul echivalent în cazul oțelurilor pentru matrițe MoCN 15 și VCW 85

Oțel STAS 3611-66	Compoziția chimică %										Ce min.	Ce min.
	C	Mn	Si	Cr	Ni	W	V	Mo	S	P		
MoCN 15	0,50 0,60	0,50 0,80	0,15 0,35	0,6 0,8	1,3 1,6	- -	- -	0,15 0,30	max 0030	max 0030	0,68	0,85
VCW 85	0,25 0,35	0,02 0,50	0,15 0,40	2,20 2,70	max 0,35	7,5 9,0	0,20 0,50	- -	max 0025	max 0025	1,30	1,75

Datorită valorilor relativ mari ale carbonului echivalent oțelurile MoCN15 și VCW 85 pot fi clasificate ca oțeluri cu sudabilitate redusă.

#### 1.4.4. Transformările austenitei la răcire și la menținere izotermă

In cazul încărcării prin sudare a oțelurilor de matrițe MoCN 15 și VCW 85 intervin cicluri termice variate, care produc modificări structurale, respectiv proprietăți mecanice diferite.

Pentru preîmpinarea cazurilor defavorabile, este utilă transpunerea ciclurilor termice în diagramele de transformare a austenitei și evitare ciclurilor necorespunzătoare.

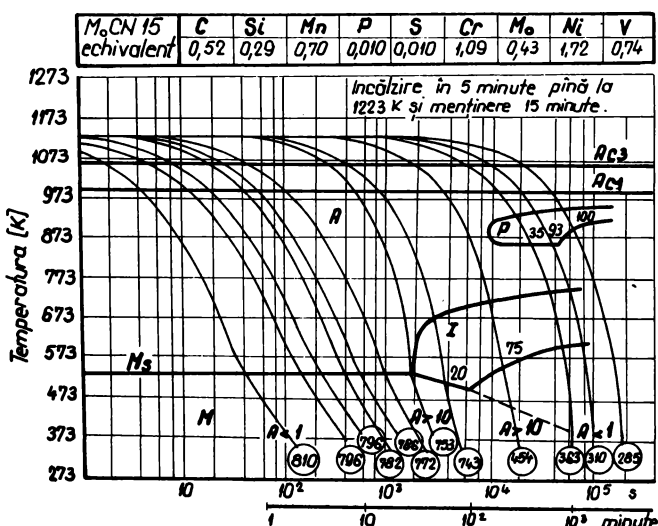


Fig. 1.13. Diagrama de transformare a austenitei la răcire continuă pentru oțelul MoCN 15. [166]

In cele ce urmează sunt reprezentate diagramele de transformare a austenitei la răcire continuă, în fig. 1.13 și fig. 1.14 [166], precum și diagramele de transformare izotermă a austenitei în fig. 1.15 și fig. 1.16 [35].

Din aceste diagrame se observă că ambele oțeluri se durifică atunci cînd sunt răcite de la temperatura de călire în aer, ceea ce impune o preincălzire obligatorie a lor, atunci cînd sunt încărcate prin sudare.

Pentru aceleasi viteze de răcire se observă din fig. 1.13 și 1.14 ca oțelul VCW 85 se durifică în mai mică măsură decît oțelul MoCN 15, ceea ce se explică prin conținutul său mic de carbon, din care numai o mică parte este dizolvat în soluția solidă, restul fiind legat sub formă de carburi.

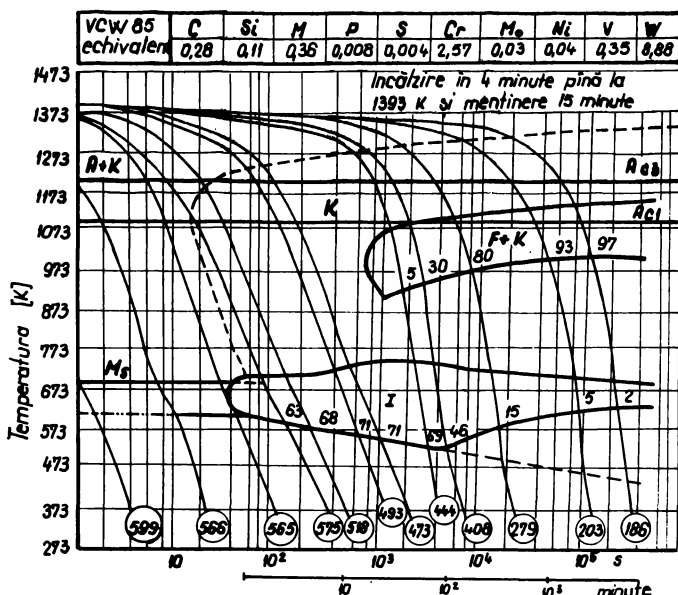


Fig. 1.14. Diagrama de transformare a austenitei la răcire continuă pentru oțelul VCW 85. [166]

cu stabilitate mare.

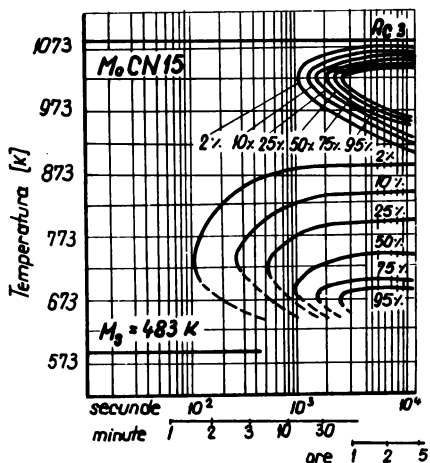


Fig. 1.15. Diagrama de transformare izotermă a austenitei pentru oțelul MoCN15 încălzit la 1143 K [35].

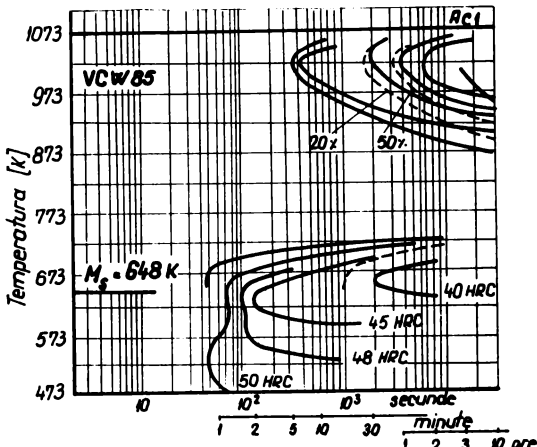


Fig. 1.16. Diagrama de transformare izotermă a austenitei pentru oțelul VCW85 încălzit la 1393 K. [35].

Tot din diagramele de transformare a austenitei pot fi determinate punctele critice  $Ac_1$ ,  $Ac_3$ , și temperatura de începere a transformării martensitice  $M_s$ , care permit evaluarea modificărilor structurale ale zonei încărcate prin sudare.

### 1.5. Tratamente termice aplicate matrișelor

Parametrii tratamentelor termice care au o influență hotărâtoare asupra durabilității matrișelor sunt: viteza de încălzire, temperatura maximă, durata de menținere la temperatura de austenizare, viteza de răcire la călărire, temperatura și durata de revenire, numărul de reveniri, precum și viteza de răcire după revenire.

Stabilirea acestor parametri variază în funcție de compoziția chimică a oțelului, precum și de gabaritul și destinația matrișei.

Există două situații distincte de aplicare a tratamentului termic al matrișelor:

- Tratament după prelucrarea mecanică a cavităților, care se aplică matrișelor de formă complexă;
- Tratament înaintea prelucrării cavităților, în cazul matrișelor cu gabarit mare, la care există pericolul de fisurare sau deformare.

### 1.5.1. Incălzirea și menținerea la temperatura de austenitizare

Incălzirea cu viteze reduse a oțelurilor având conductivitate termică redusă, se poate realiza în două trepte. Astfel la matrițele cu gabarit redus, incălzirea initială se realizează în cuptoare cu temperaturi pînă la 923 K, iar la matrițele cu gabarit mare, temperatura cuporului de preincălzire nu trebuie să depășească 673 K. Incălzirea ulterioară pînă la temperatura maximă se face cu viteze reduse, timpul de incălzire fiind indicat în tabele [35], sau se poate calcula cu relațiile existente [27]. În urma prelucrării datelor existente [35], a fost obținută o diagramă pentru stabilirea timpului de incălzire și de menținere în cupor, în funcție de cota minimă a gabaritului matriței, care este prezentată în fig.1.17.

Datele se referă la incălzire în cuptoare cu flacără, având o distanță de minim 150-200 mm între matrițe.

Protejarea suprafeței cavităților matriței împotriva oxidării se poate realiza prin acoperirea acestora cu praf de cărbune.

### 1.5.2. Călirea matrițelor

Tinînd seama de datele existente [136] referitoare la vitezele de răcire asigurate de diferite medii, a fost construită diagrama prezentată în fig.1.18.

Prin transpunerea vitezelor de răcire în diagramele de transformare continuă a austenitei (fig.1.13 și fig.1.14), se observă că oțelurile studiate se durifică și în cazul mediilor de răcire mai puțin active. Astfel călirea matrițelor din oțelurile MoCN 15 și VCW 85 nu se execută niciodată în apă, pentru a se evita tensiunile interne și pericolul de fisurare instantan-

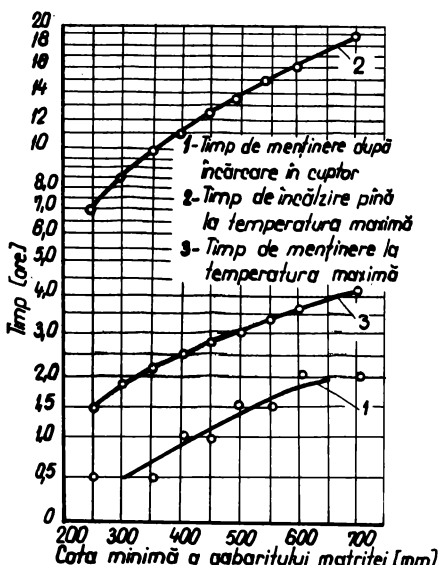


Fig. 1.17. Variația timpului de incălzire și de menținere a matrițelor în cuptoare cu flacără

zul mediilor de răcire mai puțin active. Astfel călirea matrițelor din oțelurile MoCN 15 și VCW 85 nu se execută niciodată în apă, pentru a se evita tensiunile interne și pericolul de fisurare instantan-

nee sau întirziată [27].

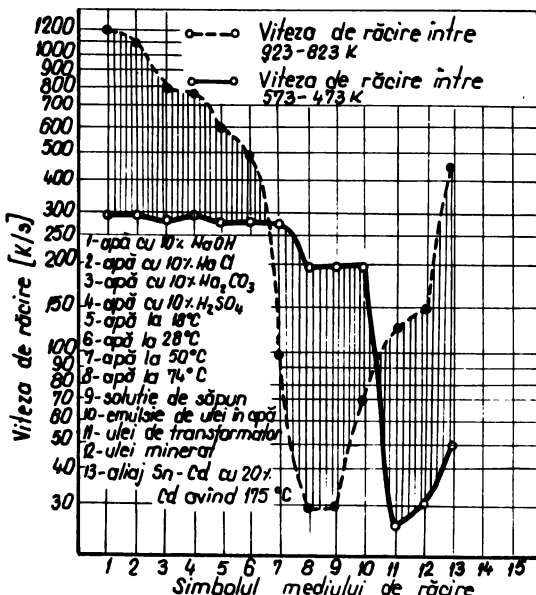


Fig. 1.18. Influenta mediului de răcire asupra vitezelor de răcire, prelucrare după [136]

le că nu dagaje fum, nu se aprinde și este mai ieftin. De asemenea viteza de răcire asigurătă de amestecul aer-apă pulverizat, poate fi reglată în funcție de presiunea aerului comprimat. Răcirea în acest mediu se efectuează pînă la închiderea culorii matriței (673-773 K), după care are loc o răcire în aer linistit pînă la 473-423 K, urmată de revenire obișnuită.

Călirea unei matrițe se realizează în mod curent în felul următor:

Cu același scop se evită răcirea continuă a matrițelor într-un singur mediu de răcire, recomandîndu-se introducerea și extragerea succesivă a matriței față de mediile lichide de răcire.

Reducerea tensiunilor interne se mai poate realiza și prin introducerea parțială a matriței în mediul lichid de răcire, sau prin utilizarea unui mediu de călire format din amestecul aer-apă pulverizat [35].

Acest mediu asigură viteze de răcire care pot fi comparabile cu cele ale uleiului, (fig.1.19) față de care prezintă avantaje-

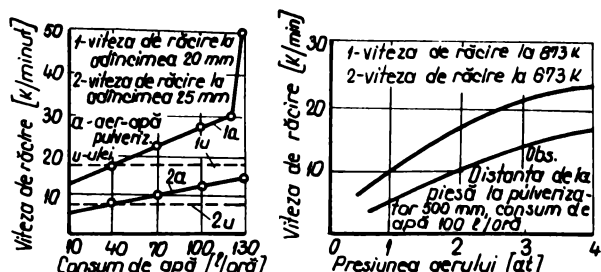


Fig. 1.19. Variația vitezelor de răcire la călirea în mediul aer-apă pulverizat. [35].

După extragerea matriței din cuptor, aceasta se menține un anumit timp în aer și apoi se introduce în ulei, unde se răcește pînă la temperatură de 473-423 K, după care se extrage din nou în aer. Timpii corespunzători menținerii în aer și apoi în ulei, pot fi stabiliți în funcție de cota minimă a gabaritului matriței, din diagrama prezentată în fig.1.20. Această diagramă a fost construită pe baza datelor existente în tabele [27] , [35] .

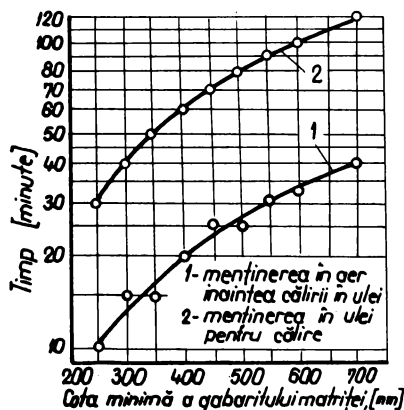


Fig. 1.20. Timpul necesar operației de călărire.

Diferențele de duritate care se recomandă să existe între suprafața cavității și partea de fixare pe ciocan a matriței, se pot realiza și printr-o călărire parțială în ulei a matriței, urmată de autorevenire [27] .

Cele mai indicate metode de călărire sunt cele izoterme, la care deformațiile, respectiv tensiunile interne sunt minime [27] , dar acestea necesită utilaje mai pretențioase.

### 1.5.3. Revenirea matrițelor

Tinind seama de plasticitatea redusă a otelurilor de matrițe în stare călită, precum și de gabaritul mare al matrițelor, revenirea lor se execută prin încărcare în cuptoare preîncălzite la 523-573 K. După o menținere pentru egalizarea temperaturii, se continuă încălzirea odată cu cuptorul, pînă la temperatura prescrisă.

Se recomandă ca revenirea să se efectueze imediat după călărire, deoarece tensiunile interne existente în matrițele călărite, pot provoca fisurări intîrziante.

Temperatura de revenire, timpul de încălzire, precum și durata de menținere la această temperatură, depind de dimensiunile, configurația și condițiile de lucru ale matrițelor. Pentru a se mări tenacitatea părții de fixare a matriței, temperatura de revenire a acesteia este mai mare, ceea ce se observă în fig.1.21. Aceasta se obține prin încălzire diferențiată sau prin autorevenire [27] .

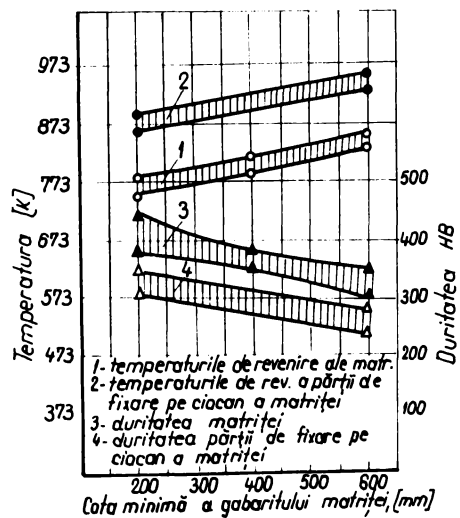


Fig. 1.21. Variatia temperaturii de revenire si a duratilor necesare matrițelor din oțel Mo-ČN15.

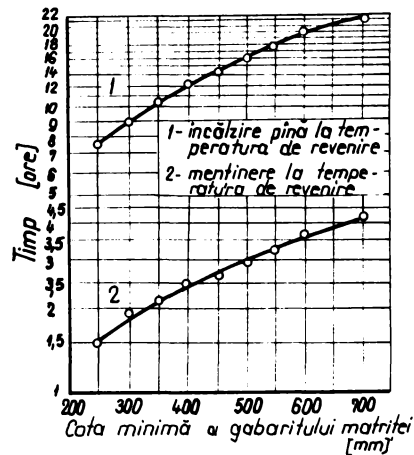


Fig. 1.22. Variatia timpului de în- călzire si de menținere la temperatură de revenire a matrițelor in cuprindere cu flacără

Timpii aferenți revenirii pot fi stabiliți din diagrama prezentată în fig.1.22, care a fost trasată în urma prelucrării datelor existente [27] , [35] .

Se observă că timpul total de revenire a matrițelor poate atinge valori de zeci de ore, chiar și pentru gabarite reduse ale matrițelor. Acest timp crește cu atit mai mult, cu cît matrița are un gabarit mai mare, iar oțelul necesită o temperatură mai mare de revenire.

Oțelul VCW 85 se remarcă prin valorile mari ale duratei de tratament termic, impusă de conductivitatea termică redusă și de temperaturile finale de tratament (temperatura de călire 1348-1388 K, iar temperatura de revenire 873-973 K). Această îngreunare a tratamentului termic la oțelurile aliate, justifică necesitatea aplicării unor tehnologii de încărcare prin sudare a matrițelor, care să nu necesite tratamente termice totale ulterioare.

### 1.6. Defecțiuni apărute la exploatarea matrițelor

In timpul exploatarii matrițelor pot apărea defecțiuni, care afectează zona activă a cavităților care în cele mai multe cazuri pot fi remediate, sau defecțiuni care compromis definitiv matrița (fisuri adânci sau ruperi complete ale blocului de oțel).

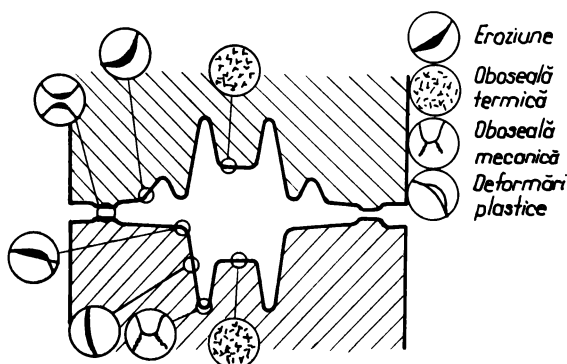


Fig. 1.23. Defecțiuni care pot apărea în zona gravată a matriței în timpul exploatarii. [59]

Cele mai frecvente defecte remediable care apar la exploataarea matrițelor pentru deformări plastice la cald sunt schematizate în fig. 1.23 [59]. Se remarcă astfel:

- eroziunea produsă de frecările care apar între matriță și semifabricatul cald, acoperit cu oxizi duri;
- oboseala termică provocată de dilatăriile și contracările succesive

produse de contactul temporar dintre matriță și semifabricatul cald;

- oboseala mecanică produsă de sarcinile dinamice repetitive, care apar în timpul exploatarii;

- deformările plastice provocate de micșorarea durității matriței și scăderea limitei de curgere în urma încălzirii. Cele mai periculoase defecte și mai greu de remediat, sunt fisurile provocate de oboseala mecanică și termică.

#### 1.6.1. Factorii care favorizează apariția defectelor la matrițele de forjă

Apariția defectelor este condiționată de mulți factori care intervin în timpul exploatarii matrițelor de forjă, iar un anumit tip de defect apărut, favorizează producerea altor defecte. Astfel deformările plastice care ecruisează local oțelul și oboseala termică, favorizează apariția fisurilor adânci, respectiv, provoacă oboseala prematură a materialului. De asemenea oboseala termică mărește coeficientul de frecare al suprafeței matriței și favorizează eroziunea. În fine oboseala mecanică se manifestă prin apariția unor fisuri, care progresează în timp spre interiorul matriței, provocând

în final ruperea unor părți, sau chiar spargerea întregii mătrițe, ceea ce nu se poate remedia.

Cauzele principale ale avariilor mătrițelor pot fi următoarele: [26], [27], [59] :

a). - grad scăzut de puritate a oțelului (oțelul conține incluziuni de oxizi, silicati, sulfuri, etc., sau prezintă segregății);

b). - deformare plastică necorespunzătoare a blocului de mătrată (încălzire necorespunzătoare și forjare cu grade mari de deformare);

c). - tratament termic necorespunzător;

d). - proiectare necorespunzătoare, sau prelucrare mecanică incorectă (gradul de prelucrare a suprafeței active insuficient);

e). - prefîncălzire insuficientă și neuniformă a mătriței înainte de utilizare;

f). - suprasolicitare termică a mătriței într-un ritm de lucru prea intens, fără a se asigura răcirea uniformă și lubrificarea corectă a părților active;

g). - utilizarea unor semifabricate încălzite insuficient, oxidate puternic, preforjate incomplet, sau debitate la cote prea mari;

h). - starea utilajului necorespunzătoare (jocuri mari în ghidaje), sau montarea incorectă a mătrițelor.

Durabilitatea mătrițelor încărcate prin sudare este influențată de cantitatea și repartizarea incluziunilor existente în straturile încărcate, de segregăția chimică, precum și de structura metalografică a zonei de trecere și a zonei influențate termic.

De asemenea nu poate fi neglijată posibilitatea apariției austenitei reziduale, în cazul încărcării oțelurilor pentru mătrițe [110], [166], care crează tensiuni interne, modificări dimensionale [140], sau chiar fisuri în zonele de trecere dintre austenita reziduală și martensită [112].

#### 1.6.2. Influenta segregățiilor și a incluziunilor din straturile încărcate prin sudare asupra producerii defectelor la exploatarea mătrițelor

Oțelurile pentru mătrițe sunt elaborate în condiții de maximă puritate și omogenitate, pentru reducerea segregățiilor și a incluziunilor, care diminuează performanțele materialului [75].

Tinindu-se seama de aceasta, se impune ca și straturile încărcate prin sudare să îndeplinească aceleasi condiții. Aceste măsuri sunt necesare deoarece, atât segregatiile, cît și incluziunile, crează tensiuni locale și grăbesc procesul de distrugere a oțelului, mai cu seamă în condițiile severe în care lucrează matrițele.

Au fost efectuate cercetări privind influența incluziunilor și segregatiilor asupra rezistenței la uzură [97] și a durabilității [61] matrițelor încărcate prin sudare, precum și asupra înclinării spre fisurare a oțelurilor pentru matrițe [6].

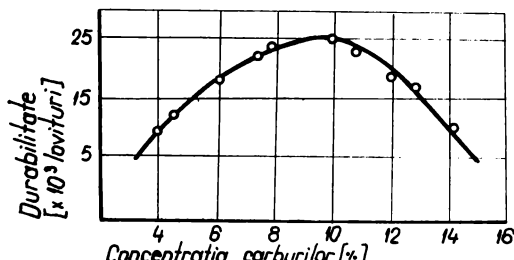


Fig. 1.24. Variatia durabilitatii matrițelor în funcție de concentrația carburilor [8].

Duritatea carburilor fiind mult mai mare în raport cu masa de bază, durabilitatea crește pe măsură ce crește cantitatea carburilor. Peste o anumită limită însă, durabilitatea începe din nou să scadă, decarece odată cu creșterea concentrației carburilor, crește și dimensiunea lor, ceea ce produce o scădere a rezilienței oțelului.

S-a stabilit o corelație între durabilitatea matrițelor de forjă și rezistența la încovoiere prin soc KC, pe epruvete fără crestătură. Pentru exemplificare se poate prezenta fig.1.25 [61], din care se observă o creștere a durabilității, odată cu creșterea valorii rezistenței la încovoie prin soc KC, în cazul oțelului 8H3GSV2F. Aceleasi cercetări au arătat că incluziunile de oxizi și nitruri existente în straturile încărcate prin sudare au o puternică influență asupra tenacității,

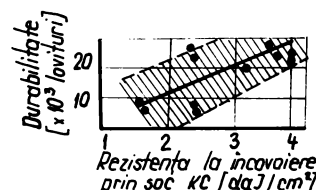


Fig. 1.25. Variatia durabilitatii matrițelor în funcție de rezistența la încovoiere prin soc KC [61].

întrucăt aceste incluziuni sunt concentratori de tensiune în masa matrizei, care e solicitată dinamic, cu sarcini repetate.

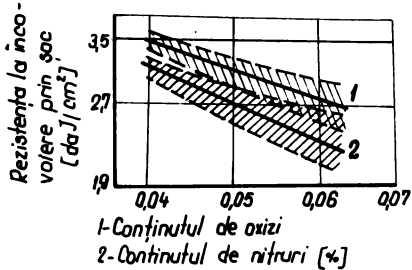


Fig. 1.26. Variația rezistenței la înco-voiere prin soc în funcție de continutul de incluziuni. [61].

electric, sau a azotului care impurifică materialele utilizate la sudare (de ex.: azotul conținut în argon, sau azotul conținut în ferocrom). Reducerea cantității de incluziuni de sulf și fosfor din straturile încărcate prin sudare, este de asemenea o problemă deosebit de importantă, care contribuie la micșorarea fragilității otelului. Reducerea eficientă a conținutului de fosfor și sulf se realizează în cazul procedeelor de sudare, la care se utilizează substanțe zgurifante bazice [97]. Aceleasi cercetări arată că utilizarea procedeelor de sudare cu electrod învelit, sau cu electrod cu miez de pulbere, prezintă un indice maxim de impurificare a metalului topit, cu oxizi și silicati, care provin din peliculele care acoperă granulele de feroaliaje [26], sau rezultă în timpul proceselor metalurgice din baie.

Incluziunile de  $\text{Al}_2\text{O}_3$  și  $\text{Cr}_2\text{O}_3$ ,  $\text{FeO}$ , dacă sunt fin dispersate în masa metalică și au o formă sferoidală, măresc rezistența la uzură, fără a cauza o scădere pronunțată a rezistenței la obosale mecanică.

Un caz deosebit îl prezintă incluziunile metalice, care pot apare în otel, dacă la elaborare, feroalialajele greu fuzibile, sunt introduse în baie fără o încălzire prealabilă și fără asigurarea timpului necesar pentru o topire completă [134].

În cazul sudării pot apărea fenomene asemănătoare, favorizate de existența în înveliș a particolelor mari de feroalialaje greu fuzibile. Acest tip de incluziuni pot apărea mai cu seamă la sudarea cu energii liniare mici, având electrozi cu învelișul gros.

Cercetările efectuate în acest domeniu [68] au demonstrat că

în cazul electrozilor care conțin feromolibden, ferovanadiu sau ferowolfram în înveliș, apare o neomogenitate chimică a metalului depus, care variază de-a lungul stratului încărcat și care depinde de granulația feroaliajelor și de grosimea învelișului. Astfel coeficientul de variație al conținutului de molibden (raportul între abaterea medie patratică și media aritmetică) de-a lungul cusăturii sudate, în funcție de dimensiunea particulelor de feromolibden din înveliș și de modul de topire al învelișului, caracterizat prin coeficientul  $\varepsilon$ , variază după curbele prezentate în fig.1.27 [68] .

Coefficientul  $\varepsilon$  este dat de raportul dintre grosimea efectivă a învelișului electrodului, care participă la alierea metalului în stadiul de picătură și grosimea totală a învelișului electrodului. Acest coefficient se poate determina experimental, prin analiza chimică a picăturilor depuse pe o placă de cupru și cu ajutorul căreia se poate calcula grosimea efectivă a învelișului electrodului [68] .

S-a observat că în cazul electrozilor la care grosimea învelișului depășește această valoare critică calculată, are loc o scurgere în baie a părților exterioare ale învelișului, care nu participă la alierea în arcul electric. Prin aceasta este favorizată neomogenitatea chimică, evidențiată prin micoroanaliza chimică sau cu ajutorul razelor X. Cazul cel mai defavorabil de neomogenitate, fiind prezintă particolele de feroaliaje greu fuzibile, care datorită acestui fenomen ajung în baia metalică, iar dizolvarea lor este cu atât mai grea, cu cât particulele sunt mai mari, iar temperatura băii este mai redusă.

Neomogenitățile de acest tip se observă la analiza microscopică și au un efect defavorabil asupra proprietăților mecanice ale materialului, fiind concentratori de tensiune și favorizând ruperile fragile.

Neomogenități asemănătoare se pot produce și în cazul încărcării prin sudare cu electrod cu miez de pulberi [92], dacă miezul

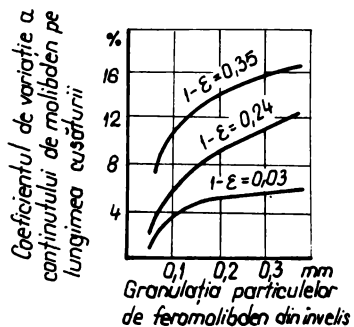


Fig. 1.27. Influența granulației particulelor de feromolibden din înveliș și a grosimii învelișului, asupra coeficientului de variație a concentrației molibdenului pe lungimea cusăturii. [68].

conține aliaje greu fuzibile (ferowolfram, ferovanadiu, feromolibden).

Cercetările efectuate asupra oțelurilor pentru matrițe, precum și asupra straturilor încărcate prin sudare, au stabilit efectul defavorabil al incluziunilor și al segregățiilor asupra durabilității matrițelor. Aceasta impune alegerea unor tehnologii de elaborare și de sudare a acestor oțeluri, în condiții de maximă puritate și homogenitate.

## 2. INCARCAREA PRIN SUDARE A MTRITELOR

Se cunosc mai multe procedee de mărire a durabilității matrițelor, dintre care încărcarea prin sudare prezintă un interes deosebit.

In urma cercetărilor efectuate [51] , [52] , [143] , au fost stabilite tehnologii de execuție a matrițelor din oțeluri carbon de calitate (OLC35 sau OLC45), încărcate prin sudare în zonele intens solicitate mecanic și termic cu electrozi aliați, sau cu vergete aliate, prin procedeul cu hidrogen atomic, sau prin procedeul WIG.

Aceste metode au dat rezultate favorabile în cazul încărcării poanoanelor și a plăcilor de tăiere a matrițelor, utilizate la debavurarea pieselor matrițate și se aplică curent pe scară industrială.

In cazul executării matrițelor pentru ciocane, prin aceste procedee, nu au fost obținute rezultate mulțumitoare, datorită deformărilor materialului de bază al matriței, care fiind nealiat, nu a prezentat o rezistență corespunzătoare.

Pentru compensarea acestei deficiențe, în întreprinderea de Autocamioane Bragov, au fost efectuate încercări de utilizare a matrițelor bimetalice, având ca material de bază oțelul aliat MoCN15, încărcat prin sudare cu electrozi din aliaje pe bază de nichel, cu durificare prin precipitare dispersă. În timpul exploatarii, acest tip de matrițe bimetalice a dat rezultate satisfăcătoare, cu excepția unor cazuri în care au apărut fisuri în zona influențată termic și exfolieri ale metalului încărcat prin sudare.

Datorită prelucrabilității bune după sudare a acestor aliaje pe bază de nichel, care se durifică prin precipitare dispersă [113] în urma încălzirii și ecruisării, sunt frecvent utilizate în cazul construcției matrițelor bimetalice, sau în cazul remanierii prin sudare a matrițelor.

In momentul de față în multe ateliere de întreținere a matrițelor, alegerea metodelor de încărcare prin sudare și stabilirea me-

talului de adaos adecvat, se face la latitudinea sudorului, iar verificarea rezultatelor obținute este dificilă, ținând seama de numărul mare a matrițelor remaniate și de diversitatea lor.

Tinând seama că zonele încărcate prin sudare ale matrițelor pentru deformări plastice la cald, au suprafete restrânse și configurații variate, aplicarea procedeelor de încărcare de mare productivitate este dificilă.

Factorii economici ai diferitelor procedee de sudare având pondere nefinsemnată în raport cu valoarea matrițelor, permit alegerea unor tehnologii de încărcare, care să asigure durabilitatea maximă, chiar dacă prin aceasta crește valoarea cheltuielilor necesare. Rezultă că în cazul încărcării prin sudare a matrițelor, alegerea tehnologiei de încărcare și a materialelor necesare se va face în funcție de considerențele calitative și în mai mică măsură de considerențele economice.

In continuare se vor pune în evidență factorii care contribuie la obținerea calității matrițelor încărcate prin sudare.

### 2.1. Procese termice la încărcarea prin sudare a matrițelor

Matrițele pentru deformări plastice la cald fiind scule din ogeluri cu înaltă rezistență și având volume mari, care depășesc în majoritatea cazurilor  $0,01 \text{ m}^3$ , necesită o cunoaștere profundă a fenomenelor termice care au loc la sudare, pentru diminuarea modificărilor structurale și a proprietăților zonelor afectate termic, precum și pentru reducerea stărilor locale de tensiune.

#### 2.1.1. Cîmpul termic la încărcarea prin sudare

Transmiterea căldurii de la stratul încărcat prin sudare către materialul de bază și răcirea zonei sudurii, se produce după legi fizice care sunt exprimate cu suficientă precizie prin relații matematice cunoscute [lo6] .

Erorile care se introduc la calcularea cîmpului termic de sudare se datorează ipotezelor simplificatoare, necesare obținerii unor relații aplicabile în practică . Printre aceste ipoteze pot fi amintite următoarele:

- Sursa de căldură este considerată punctiformă cu toate că are dimensiuni finite, iar repartitia fluxului de căldură nu este uniformă pe suprafață încălzită.
- Caracteristicile termofizice ale materialului încălzit

sint considerate, cu toate că valorile lor variază odată cu temperatura.

- Pierderile de căldură în mediul înconjurător depind la rîndul lor de mulți parametri și determinarea lor nu poate fi făcută întotdeauna cu precizie.

Cu toate acestea, relațiile deduse pentru calcularea cîmpului termic [106], au o largă utilizare la aprecierea fenomenelor termice din materialele sudate. Relațiile cunoscute pentru cazul în călzirii unui corp masiv de o sursă de căldură punctiformă, pot fi particularizate pentru două cazuri specifice încărcării prin sudare a matrițelor:

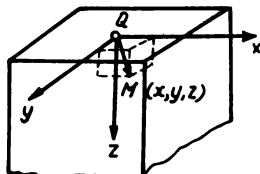


Fig. 2.1. Încărcarea prin sudare a unei suprafețe avînd dimensiuni restrînse.

A. Încărcarea unei suprafețe avînd dimensiuni restrînse

B. Încărcarea unui contur avînd o anumită lungime.

Pentru primul caz ecuația cîmpului termic într-un punct curent  $M(x, y, z)$  arătat în fig. 2.1 se obține, considerînd că sursa termică este punctiformă și instantaneă  $Q$ , și acționează pe suprafața corpului semiinfinit [106] :

$$T(x, y, z, t) = \frac{2 Q}{c \cdot \rho \cdot (4\pi \cdot a \cdot t)^{3/2}} \cdot -\frac{x^2 + y^2 + z^2}{4 \cdot a \cdot t} \quad (2.1)$$

în care:	$T$	este creșterea temperaturii punctului $M(x, y, z)$ ,	[K]
$t$	-	timpul curent	[S]
$Q$	-	energia sursei termice	[J]
$c$	-	căldura specifică a materialului	[J/kg.K]
$\rho$	-	masa specifică	[kg/m <sup>3</sup> ]
$a = \frac{\lambda}{c \cdot \rho}$	-	coeficient de difuzabilitate termică	[m <sup>2</sup> /s]
$\lambda$	-	coeficient de conductivitate termică	[W/m.K]

Pentru al doilea caz ecuația cîmpului termic într-un punct curent  $M(x, y, z)$  arătat în fig. 2.2 se obține, considerînd că sursa termică este punctiformă și permanentă, avînd o mișcare uniformă cu viteză  $v$  [m/s], pe suprafața corpului semiinfinit.

Astfel față de sistemul mobil ( $x, y, z$ ) temperatura devine staționară în timp și este dată de relația [106] .

$$T(x,y,z) = \frac{q}{2 \cdot \pi \cdot \lambda \cdot r} e^{-\frac{v}{2a}(r+x)} \quad (2.2)$$

în care:

$q$  este puterea termică a sursei [W]

$r$  - raza vectoare de poziție a punctului  $M(x,y,z)$  [m]

$v$  - viteza de deplasare a sursei termice [m/s]

De la începerea procesului de sudare și pînă la formarea cîmpului termic cvasistaționar, există o perioadă de formare, care în mod obisnuit nu are importanță pentru practică [112] , mai cu seamă în cazul sudurilor cu lungimi mari.

In cazul încărcării prin sudare a matrițelor, este bine să se țină seama și de această perioadă, deoarece majoritatea matrițelor sunt construite din oțeluri aliante, avînd conductivitate redusă, iar lungimea straturilor încărcate este limitată.

Pentru perioada de formare a cîmpului termic poate fi utilizată următoarea relație [112] , în casul încărcării prin sudare a matrițelor:

$$T(r,t) = \frac{2 \cdot q}{c \cdot \rho \cdot (4 \cdot \pi \cdot a)^{3/2}} e^{-\frac{v \cdot x}{2a}} \int_0^t \frac{dt}{t^{3/2}} \cdot e^{-\frac{1}{4a}(v^2 t + \frac{r^2}{t})} \quad (2.3)$$

Calculul curent cu această relație este mai dificil, motiv pentru care au fost calculate nomograme pentru diferite valori ale variabilelor [112] .

#### 2.1.2. Viteza de răcire a straturilor încărcate prin sudare

Prin derivarea în raport cu timpul a ecuației cîmpului termic de la încărcarea prin sudare, se obține relația prin calcul a vitezelor de răcire  $w_r$ , a căror valori influențează duritatea și structura cristalină a zonei sudate.

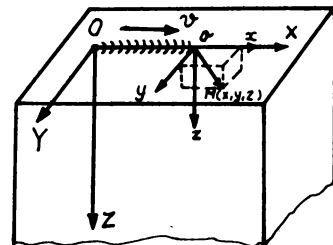


Fig. 2.2. Încărcarea prin sudare a unui contur avînd o anumită lungime.

Cunoașterea valorilor vitezelor de răcire este importantă în momentul transformării austenitei la răcire ( $T = T_m$ ), pentru punctele situate în zona influențată termic ( $x=0$ ). În aceste condiții, pentru corpul masiv încărcat prin sudare relația de calcul devine [106]

$$w_r = 2\pi \lambda \frac{(T_m - T_0)}{q/v}^2 \quad (2.4)$$

în care:  $w_r$  este viteză de răcire a unui punct situat în zona de trecere a sudurii [K/s]

$\lambda$  - coeficientul de conductivitate termică a materialului de bază la temperatura  $T_m$  [W/m.K]

$T_m$  - temperatura de stabilitate minimă a austenitei [K]

$T_0$  - temperatura inițială a metalului de bază [K]

$q$  - puterea sursei termice de sudare [W]

$v$  - viteză de sudare [m/s]

$q/v$  - energia liniară [J/m]

Din relația (2.4) se observă că în cazul unor parametri de sudare impuși, viteză de răcire poate fi modificată în funcție de temperatura inițială a materialului  $T_0$ .

In cazul încărcării dure prin sudare cu straturi suprapuse, având lungimi reduse, trebuie să se țină seama de faptul că viteză de răcire a ultimului strat este inferioară față de cea a primului strat, ceea ce poate produce o micșorare a duratăilor sub valorile dorite.

Aceasta se poate evita prin sudarea ultimului strat după un anumit timp  $t$ , calculabil cu relațiile cunoscute [106], [112], timp după care stratul sudat anterior s-a răcitat pînă la temperatura de prefîncălzire prescrisă.

### 2.1.3. Prefîncălzirea și încălzirea ulterioră a sudurilor, factori care influențează forma ciclurilor termice de la sudare

Este cunoscută influența ciclurilor termice de sudare asupra structurii cristaline și a proprietăților materialelor sudate. Aceasta a determinat elaborarea unor metode și instalații [38], [82] pentru reproducerea ciclurilor termice de la sudare pe epruvete, cu scopul stabilirii influenței diferenților parametri asupra calității

sudurilor. Pot fi astfel amintite metodele IMET-1, și IMET-4 [12], [112], prin care se poate stabili calitatea zonelor sudurii, în funcție de forma ciclului termic la care au fost supuse. Ciclul termic de sudare este caracterizat prin viteza de încălzire, temperatură maximă atinsă, timpul de menținere peste o anumită temperatură și viteza de răcire, în momentul transformării austenitei la răcire continuă.

Inregistrarea variațiilor de temperatură a ciclurilor termice, se poate efectua cu ajutorul termocuprelor conectate la oscilografie [83], sau la potențiometre electronice [121], termocuprelor fiind montate în orificii practicate în zona studiată, sau fiind sudate direct pe suprafața piesei [25].

Relațiile cîmpului termic la încărcarea prin sudare (2.1), (2.2), (2.3), și a vitezelor de răcire (2.4), precum și verificările experimentale efectuate prin metodele amintite, pun în evidență influența intensă pe care o exercită temperatura initială a materialului sudat asupra formei ciclurilor termice de la sudare. Prefîncălzirea materialelor în vederea sudării, poate avea atât efecte favorabile, cât și defavorabile, asupra calității sudurii.

Astfel prefîncălzirea produce o creștere a temperaturii maxime și a duratei de menținere peste o anumită temperatură, a punctelor situate în zona influențată termic. Ca urmare zona influențată termic devine mai extinsă, austenita formată suferă o omogenizare mai intensă, datorită temperaturii mai ridicate și a timpului mai mare de menținere, iar cristalele pot manifesta o tendință de creștere.

Prefîncălzirea produce și o scădere a vitezei de răcire a punctelor situate în zona influențată termic, motiv pentru care este recomandată mai cu seamă la sudarea oțelurilor aliate, pentru reducerea tensiunilor interne, respectiv a probabilității de apariție a fisurilor. Prefîncălzirea poate reduce însă și duritatea straturilor încărcate prin sudare, ceea ce trebuie evitat în cazul straturilor solicitate la uzură.

Stabilirea temperaturii de prefîncălzire se face după mai multe metode [124], [112], [157], în funcție de compoziția chimică a metalului de bază, respectiv de carbonul echivalent prezentat la punctul 1.4.3., precum și de grosimea materialului.

In cazul matrițelor din oțelurile aliate MoCN15 și VCW85 STAS 3611-66, dacă se ține seama de carbonul echivalent și de grosi-

mea apreciabilă a matrițelor, rezultă din calcule temperaturi de preincălzire care pot depăși temperatura de revenire și ar impune un nou tratament termic de îmbunătățire după sudare, ceea ce este neeconomic. Din acest motiv în cazul încărcării prin sudare a matrițelor, temperatura de preincălzire se recomandă să fie calculată [60] numai în funcție de carbonul echivalent total  $C_e$ .

Astfel a fost propusă următoarea relație de calcul a temperaturii de preincălzire a matrițelor, în vederea încărcării prin sudare:

$$T_o = 943 - \frac{C_e + 2}{C_e} \cdot 10^2 \quad (2.5)$$

în care:

$T_o$  este temperatura de preincălzire [K]

$C_e$  - carbonul echivalent total determinat cu relația 6c :

$$C_e = \% C + \frac{\% Mn}{14} + \frac{\% Cr + \% W}{10} + \frac{\% Mo}{5} + \frac{\% V}{3} \quad (2.6)$$

Temperatura calculată cu această relație, trebuie să fie mai mare decât temperatura de începere a transformării martensitice  $M_s$ , care de asemenea depinde de compoziția chimică a metalului sudat și se poate determina [60] cu relația:

$$M_s = 793 - 320(\% C) - 45(\% Mn) - 30(\% Cr) - 20(\% Mo) - 20(\% W) - 5(\% Si) \quad (2.7)$$

în care:

$M_s$  este temperatura de începere a transformării martensitice K

În urma acelorași cercetări, s-a constatat că temperatura de preincălzire mai poate fi stabilită în funcție de temperatura  $M_s$ , cu ajutorul relației

$$T_o = 1138 - 1,12 M_s \quad [K] \quad (2.8)$$

Pentru verificarea rezultatelor calculate cu cele două relații propuse (2.5) și (2.8) au fost efectuate încărcări [60] prin sudare pe diferite oțeluri de matrițe, la care s-a urmărit temperatura peste care dispar fisurile la sudare. Observarea fisurilor a fost posibilă prin glefierea epruvetelor sudate și fierberea lor în medii corozive (acid azotic diluat 10% sau persulfat de amoniu) și au confirmat aplicabilitatea relațiilor amintite [60]. Astfel temperaturile de preincălzire

calculate cu relațiile (2.5) sau (2.8) au corespuns cu temperaturile minime determinate experimental, la care nu au mai apărut fisuri în zona sudurii, ceea ce este în favoarea utilizării practice a relațiilor propuse.

Preîncălzirea favorizează însă supraîncălzirea și mărirea zonei influențate termic, ceea ce influențează negativ durabilitatea pieselor încărcate.

Reducerea vitezelor de răcire, fără apariția deficiențelor arătate se poate realiza cu ajutorul încălzirii după sudare. Prin încălzirea ulterioră a sudurii se obține o menținere a austenitei la temperaturi superioare punctului  $M_s$ , pentru asigurarea transformărilor izoterme.

Din practica tratamentelor termice [27] se cunosc avantajele transformărilor izoterme ale austenitei, față de transformările austenitei la răcire și anume: tensiuni și deformații minime, cantități reduse de austenit reziduală, precum și valori dorite ale duratăilor în funcție de temperatura tratamentului izoterm. Acest lucru se poate realiza și în cazul sudurilor, utilizând încălzirea inducțivă [24] după sudare, cu menținerea materialului la o temperatură constantă. Au fost efectuate încercări de încălzire ulterioară [126] pe epruvete din material 25HSNVFA având 22 mm grosime, sudate automat sub flux, sau prin procedeul semiautomat în  $\text{CO}_2$ .

Au fost încercate mai multe variante de încălzire ulterioară, după ciclurile prezentate în figura 2.3 [126]. Față de varianta 1 din figură, la care nu s-a aplicat încălzire ulterioară și la care cantitatea de austenit reziduală a fost de 6%, în toate celelalte cazuri austenita reziduală a devenit neglijabilă, iar proprietățile mecanice au crescut [126].

Cu toate avantajele pe care le prezintă încălzirea ulterioară față de preîncălzire, aceasta este utilizată în mod restrins la sudarea cu arc electric, datorită dificultăților care apar la controlul și menținerea constantă a temperaturii după trecerea arcului electric. În cazul sudării electrice prin presiune posibilitățile

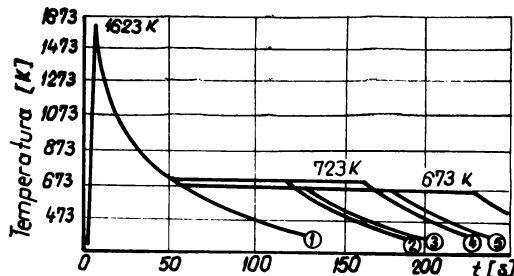


Fig. 2.3. Variante ale ciclurilor termice de sudare și încălzire ulterioară. [126]

de aplicare a incălzirii ulterioare sănt mult mai mari, datorită posibilităților de dozare riguroasă a energiei în timp.

Există și situații în care sudura este supusă unui tratament termic ulterior, pentru reducerea tensiunilor interne, sau chiar pentru modificarea structurii [48], [49], [53]. În cazul matrițelor încărcate prin sudare pot fi utilizate revenirile straturilor încărcate, pentru micșorarea fragilității și pentru reducerea tensiunilor interne.

## 2.2. Materialele de adaos utilizate la încărcarea prin sudare a matrițelor

Încărcarea prin sudare a matrițelor poate fi efectuată utilizând ca materiale de adăos electrozii înveliți, sîrme, benzi sau verzele finalt aliate, sîrmă tubulară cu miez de pulberi, sau materiale pulvuralente. Utilizarea judicioasă a acestor materiale poate avea o influență favorabilă asupra calității straturilor încărcate prin sudare.

### 2.2.1. Electrozi înveliți

Utilizarea electrozilor înveliți la încărcarea prin sudare a matrițelor este frecvent întîlnită în toate țările cu o industrie dezvoltată, ceea ce se constată în funcție de consumul și diversitatea acestor tipuri de electrozi destinați acestui scop.

#### 2.2.1.1. Electrozi indigeni

La noi în țară sănt standardizați în STAS 7241-69 mai multe sorturi de electrozi înveliți, destinați încărcării prin sudare a matrițelor pentru deformări plastice la cald, dar în mod curent se produce un sortiment redus din acești electrozi.

a). Electrozi E 2.50 STAS 7241-69 (E1Cr2Mo) care sănt în prezent cei mai utilizati electrozi indigeni pentru confectionarea matrițelor bimetalice, sau pentru încărcarea de remaniere a matrițelor, prezintă avantajul de a fi ușor de fabricat, ieftin și cu proprietăți corespunzătoare. Dezavantajul lor constă în hidroscopicitatea mare a învelișului, care poate genera pori și fisuri, precum și prelucrabilitatea redusă prin aschieri, datorită duritatei ridicate a sudurii.

b). Electrozi nealiați E 50.24.13/B.g.2.2 STAS 7240-69 care sănt utilizati la imbinări sudate, dar pot fi utilizati și la încărcarea prin sudare a oțelurilor aliate. Astfel în întreprinderea de Autocamioane Bragov acești electrozi sănt utilizati la încărcarea matrițelor

din oțel MoCN15, atunci cînd e posibilă sudarea într-un singur strat, sau în două straturi. Metalul depus are o compoziție chimică compatibilă cu a metalului de bază, datorită participării mari a metalului de bază la formarea sudurii, ca urmare a penetrării mari și a convexității reduse a băii metalice. Duritatea sudurii fiind mai redusă, sănt necesare tratamente termice de îmbunătățire aplicate întregii matrije.

c). Electrozi de Stelit, care prezintă interes pentru calitățile superioare ale straturilor încărcate prin sudare sănt fabricați din bare turnate, rectificate, pe care se presează învelisuri bazice [35] , [132] . Utilizarea lor la scară industrială este însă limitată datorită dificultăților la fabricație precum și a volumului mare de pierderi prin prelucrare, a materialelor deficitare din care se execută vergelele.

#### 2.2.1.2. Electrozi din import

Tendința actuală de a realiza electrozi pentru încărcarea matrijeelor cu straturi avînd durități reduse, se manifestă în urma observațiilor efectuate asupra oțelurilor de matrije [6] , [9] , [59] , [81] la care duritatea redusă influențează favorabil durabilitatea, prin creșterea rezistenței la sarcini dinamice și la șocuri termice. Variația durității după sudarea cu noile tipuri de electrozi [159] , [160] , [161] se observă în fig.2.4.

Duritatea redusă după sudare mai prezintă avantajul unei prelucrabilități bune, care în cazul configurațiilor variate ale cavitațiilor matrijeelor reduce cheltuielile de prelucrare. Durificarea ulterioară a straturilor încărcate prin fenomenul de precipitare dispersă prin îmbătrînire [113] , pînă la valori de 400 HB, le conferă o rezistență și o durabilitate suficientă.

Specifical compoziției chimice a sudurilor realizate cu aceste tipuri de electrozi este conținutul redus de fier. Astfel în cazul sudurilor realizate cu electrozi Inter-Alloy-IWE [159] conținutul de fier nu depășește 1,0% ceea ce se observă din fig.2.5. Pentru limitarea fierului sub limitele impuse învelișului electrodului

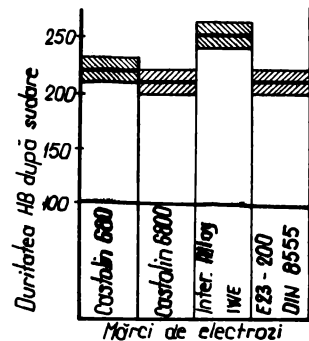


Fig.2.4. Duritatea sudurii execuțate cu diferite mărci de electrozi.[159][160][161].

nu conține feroaliale ci pulberi metalice. Aceasta mărește însă costul electrozilor.

Alte tipuri de electrozi destinați încărcării prin sudare a matrițelor, sunt electrozii care nu conțin elemente de aliere scumpe (cobalt, wolfram, nichel, etc). Proprietățile aliajelor obținute prin topirea acestor electrozi sunt asigurate de elemente de aliere cu preț de cost mai redus (crom, mangan, molibden, etc). Întrucât electrozii românești echivalenți E 2.50 - STAS 7241-69 au performanțe superioare celor străini, sunt utilizati în exclusivitate.

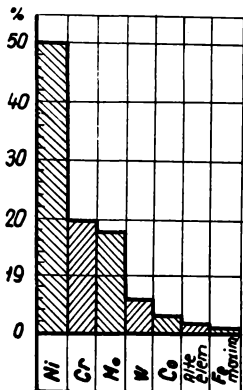


Fig.2.5. Compoziția chimică prescrisă a straturilor încărcate prin sudare cu electrozi Inter-Alloy IWE. [159].

Electrozii străini pentru încărcarea matrițelor, având cea mai extinsă utilizare, sunt cei de tipul Cr, W, V. Deoarece conținutul de fier în cazul acestor electrozi nu este limitat nici costul lor nu este prea ridicat.

Se pot astfel aminti electrozi care dă o compozitie chimică a straturilor încărcate, asemănătoare otelului VCW85 STAS 3611-66 și anume electrozii Castolin 6806, electrozii cehoslovaci E678-24 CSN05. 5176, electrozii sovietici EN30H3V8 GOST 10051-62, EN-60M, OZI-2 [165], și OLN-1 [108].

Alți electrozi care se utilizează la încărcarea prin sudare a matrițelor sunt și electrozii sovietici OZI-3 [96], EN-60M și OZS-1 [11]. Electrozii OZS-1 și OZI-3 au o rezistență bună la socuri mecanice iar electrozii EN-60M au o rezistență deosebită față de încălciri repetitive, fiind mai rezistent la soc termic, decât otelul de tip VCW85 STAS 3611-66.

La încărcarea prin sudare a matrițelor mai sunt utilizati electrozi cu conținut de cobalt, care asigură o bună rezistență la uzură abrazivă a straturilor încărcate.

Pot fi amintiți electrozii cu conținut de cobalt pînă la 10% la care stabilitatea termică și duritatea sunt influențate de celelalte elemente de aliere (Cr = 23%; Mo = 9%; Ni = 3%; Mn = 2%; Si = 1,3% C = 3-4%). Mai pot fi amintiți și electrozii pe bază de cobalt la care

fierul este considerat impuritate și care pentru a corespunde încărcării matrițelor au o compoziție chimică limitată la maximum 1,5% C, 6% W, 30% Cr. Prin aceasta se limitează și duritatea la valori sub 50 HRC, care contribuie la o mărire a tenacității straturilor încărcate prin sudare.

Se remarcă o creștere a producției de electrozi pe bază de cobalt, datorită stabilirii unor tehnologii prin care s-au îmbunătățit condițiile de trefilare a sîrmelor cu conținut de cobalt. [132]

#### 2.2.1.3. Observații privind învelisul electrozilor

Invelisul electrozilor aliați este în majoritatea cazurilor bazic, având în vedere avantajele pe care le prezintă [130], [131]. Cu toate acestea, există situații în care carbonatul de calciu conținut de învelis prezintă unele deficiențe, influențând coeficienții de trecere ai elementelor de aliere prin spațiul arcului electric [19], [66], [95], [112], [127]. Astfel odată cu creșterea conținutului de carbonat de calciu din învelis crește oxidarea elementelor de aliere care trec prin arc, iar în cazul oțelurilor cu conținut redus de carbon se poate produce o carburare a sudurii [64].

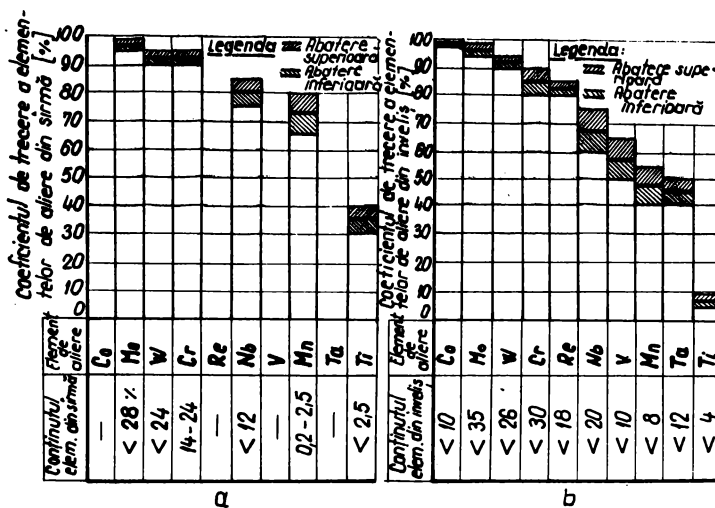


Fig. 2.6. Variația coeficienților de trecere a elementelor de aliere la sudarea cu electrozi înveliți.

a - elemente de aliere care provin din sîrma elec-

trozului.

b - elemente de aliere care provin din învelisul elec-

trozului.

Obs. Datele prezentate corespund unor învelisuri baze-

ce continind 10% CaCO<sub>3</sub>.

Coeficienții de trecere sunt specifici fiecărora elemente de aliere depinzând de concentrația elementului, cantitatea de marmură din învelis și metoda de aliere (aliere din învelis, sau aliere din sîrmă). În fig.2.6 este prezentată valoarea coeficienților de trecere

re pentru diferite elemente de aliere, pe baza unor date existente [127]. Calculul coeficienților de trecere a elementelor de aliere poate fi efectuat cu ajutorul relațiilor cunoscute [127].

$$\eta = \frac{C_{\text{inc}}(1 + k_p \cdot P)}{C_s + k_p \cdot C_{\text{inv}}} \cdot 100\% \quad (2.9)$$

In această relație simbolurile au următoarea semnificație:  
 $\eta$ : este coeficientul de trecere a elementelor de aliere [%]  
 $C_{\text{inv}}$ ;  $s$ ,  $\text{inc}$ . - conținutul de elemente de aliere din înveliș,  
 din sîrmă, respectiv din stratul încărcat [%]  
 $k_p$  - coeficientul de participare a învelișului [%]  
 $P$  - partea metalică din înveliș (pulberi) [%]

Oxidarea elementelor de aliere în arc se produce chiar și în cazul conținutului redus de carbonat de calciu din înveliș, ceea ce rezultă din fig.2.6, depinzînd de reactivitatea lor chimică și de dimensiunea granulelor pulberilor. Reducerea oxidărilor prin mărirea

granulației pulberilor este limitată, mai cu seamă în cazul particolelor greu fuzibile (feromolibden, ferowolfram), întrucît particolele mari pot crea neomogenități chimice și structurale și variații ale durității în lungul sudurii. In fig. 2.7 [68] se poate urmări variația durității medii în funcție de granulația pulberii de feromolibden conținută de învelișul electrodului.

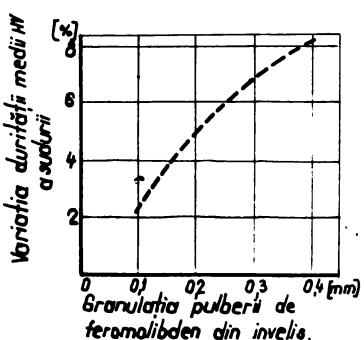


Fig.2.7. Variatia duritatii medii HV de-a lungul unui strat încărcat prin sudare [68].

de calciu. Această soluție se poate aplica în cazul fabricării fluxurilor bazice, dar în cazul electrozilor înveliți prezintă dificultăți, datorită reactivității oxidului de calciu cu silicatiile de sodiu și potasiu utilizate ca lianții.

Prin extinderea studiilor efectuate asupra pasivizării pulberilor de ferosiliciu din înveliș, cu ajutorul uleiurilor emulsionabile și a substanțelor tensioactive [114], ar fi posibilă pasivizarea oxidului de calciu și utilizarea lui în învelișul electrozilor.

### 2.2.2. Sîrme de sudură

Sîrmele de sudură în funcție de elementele de aliere pe care le conțin pot fi:

a). Sîrme de sudură aliante avînd compoziția chimică apropiată față de compoziția impusă stratului încărcat. Acestea sînt mai rar utilizate în cazul încărcării prin sudare a matrițelor, datorită dificultăților întîmpinate la trefilare. Există însă și cazuri în care se efectuează încărcarea prin sudare a matrițelor utilizînd vergele metalice, sau chiar sîrme trefilate. Spre exemplu în cazul încărcării prin procedeul de sudare cu hidrogen atomic sau prin procedeul MIG pot fi utilizate sîrme de tipul Sv - 10H5M, Sv - 18HMA, etc.

Obținerea materialelor de ados atunci cînd trefilarea prezintă dificultăți, se poate realiza prin reducerea diametrului sîrmelor laminate pe mașini rotative de forjat [20], care însă nu realizează o calibrare perfectă a sîrmei obținute. Din acest motiv o astfel de sîrmă pentru a fi utilizată la procedee semiautomate și automate de sudare, necesită o calibrare prealabilă prin filieră. Dacă nu este posibilă calibrarea, sîrma se poate utiliza sub formă de vergele la sudarea în mediu protector de gaze, unde prezintă o topire mai uniformă față de vergelele cu secțiune variabilă, obținute prin tăierea la foarfecă a tablei aliante, sau prin forjare liberă manuală a barelor laminate.

b). Sîrme de sudură nealiante utilizate numai cînd este posibilă sudarea automată sub flux, utilizîndu-se un flux ceramic corespunzător [46]. Suprafețele matrițelor care se încarcă prin sudare neavînd o extindere suficientă și fiind cu o configurație variabilă, limitează utilizarea acestui procedeu de mare productivitate.

Rezultă că utilizarea sîrmelor de sudură pentru încărcarea prin sudare a matrițelor pentru deformări plastice la cald este deocamdată destul de restrînsă, cu toate că omogenitatea și puritatea metalului depus prin topirea sîrmelor este maximă [5], [68].

### 2.2.2. Electrozi cu miez de pulberi

Productivitatea procedeelor de sudare a crescut semînțitor în urma extinderii procedeelor de sudare automate și semiautomate. Pentru aplicarea acestor procedee la sudarea sau încărcarea otelurilor aliante au fost efectuate cercetări privind utilizarea electrozilor tubulare și a benzilor cu miez de pulbere și au fost puse în evidență avantaje-

le pe care le prezintă [32] , [65] , [104] , [162] .

Electrozii tubulari cu miez de pulberi pot fi utilizati la procedeele de sudare MIG [65] , MAG [162] , sudare sub flux protector [23] , [145] , precum și la sudarea cu electrod tubular cu miez auto-fondant, la care nu este necesară o protecție suplimentară cu gaze protectoare sau flux, întrucât rolul protector al substanțelor existente în miez este suficient [2] , [132] .

Electrozii tubulari cu miez de pulberi pot fi utilizati și la încărcare prin sudare a oțelurilor aliaste pentru deformări plastice la cald, printre care pot fi amintite următoarele tipuri: P.P - 3H2V8, P.P - 25H5FMS, P.P - 5H1oV5MF, P.P25H5VMF [145] și Fluxofil 37, 51 și 54 , [162] .

Productivitatea procedeelor de sudare cu electrod bandă cu miez de pulberi este și mai ridicată [15] , însă aplicarea lor în cazul încărcării matrigeilor pentru deformare plastică la cald este restrinsă datorită configurației variate a cavităților matrigeilor, precum și a suprafețelor relativ reduse care urmează a fi încărcate prin sudare (sub 100 cm<sup>2</sup>). În afara acestor factori mai intervine și neomogenitatea chimică deosebit de accentuată în cazul încărcării oțelurilor înalt aliaste cu electrozi bandă cu miez de pulberi, neomogenitatea care produce variații de duritate pe direcția transversală și longitudinală a stratului încărcat [92] , ceea ce micșorează durabilitatea suprafețelor active a matrigei.

Au fost elaborați electrozi tubulari cu miez de pulberi de diferite forme și calități. Pot fi observate în fig.2.8 secțiuni transversale ale unor electrozi, utilizati la sudarea prin procedee automate și semiautomate [132] .



Fig.2.8. Secțiunea transversală a unor electrozi tubulari cu miez de pulberi.

Forma secțiunii transversale a electrodului tubular poate fi caracterizată [5] prin coeficientul de complexitate a formei  $K_\phi$  . Admitând că  $S_1$  este partea metalică din secțiunea transversală a electrodului, iar  $S_2$  este partea corespunzătoare miezului de pulberi, se poate defini  $K_\phi = \frac{S_1}{S_2}$  . La fabricarea electrozilor tubulari este necesară obținerea unor coeficienți  $K_\phi = ct$ , care se pot stabili cu ajutorul metodelor electroinductive [13] .

Intrucât circuitul electric se formează între partea metalică

a electrodului și piesă, miezul de pulberi se topește în urma părții metalice, ca urmare a repartizării neuniforme a temperaturii în secțiunea electrodului tubular. Această neuniformitate de topire este cu atit mai accentuată, cu cît coeficientul de complexitate  $K_\phi$  are valori mai mici, și poate produce neomogenități chimice și

structurale în straturile încărcate [117], [141]. Comparind modul de topire a electrozilor înveliți, fig. 2.9 a și a electrozilor tubulari, fig. 2.9, b, prin filmare rapidă s-au observat cazuri de trecere a miezului de pulberi în baia metalică, fără o topire integrală [104], ceea ce crează o intensă eterogenizare a compoziției chimice a stratului încărcat.

Reducerea neomogenității chimice a straturilor încărcate cu electrozi tubulari cu miez de pulbere se

poate realiza prin mărirea coeficientului de complexitate a formei electrodului  $K_\phi$  și prin mărirea intensității curentului de sudare [5].

In cazul încărcării prin sudare a matrigeelor nu este posibilă utilizarea intensităților mari de curent, deoarece produce o supraîncălzire a metalului de bază și o creștere a coeficientului de participare a metalului de bază, următoare de o mică creștere a proprietăților mecanice a zonelor încărcate prin sudare. Mărirea complexității formei electrodului este și ea limitată, atunci cînd se sudează oțeluri aliate în gaz protector, deoarece contribuie la o reducere a ponderii cantității de pulbere din miez.

Compensarea acestor deficiențe care apar la încărcarea matrigeelor cu electrozi tubulari se poate realiza prin respectarea mai multor condiții dintre care pot fi amintite următoarele:

- utilizarea unor electrozi tubulari cu diametrul cît mai redus, (sub 2 mm) pentru o topire cît mai rapidă a miezului de pulberi
- compactitatea miezului și conductivitatea lui termică să fie cît mai mare, pentru topirea cît mai uniformă a capătului electrodului;

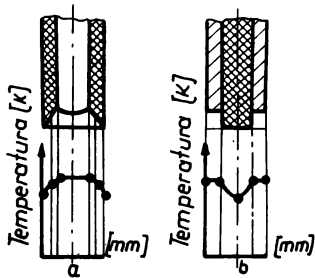


Fig. 2.9. Variatia temperaturii pe suprafața capătului electrodului învelit (a) și a electrodului tubular cu miez de pulberi (b). [104].

poate realiză prin mărirea coeficientului de complexitate a formei electrodului  $K_\phi$  și prin mărirea intensității curentului de sudare [5].

In cazul încărcării prin sudare a matrigeelor nu este posibilă utilizarea intensităților mari de curent, deoarece produce o supraîncălzire a metalului de bază și o creștere a coeficientului de participare a metalului de bază, următoare de o mică creștere a proprietăților mecanice a zonelor încărcate prin sudare. Mărirea complexității formei electrodului este și ea limitată, atunci cînd se sudează oțeluri aliate în gaz protector, deoarece contribuie la o reducere a ponderii cantității de pulbere din miez.

Compensarea acestor deficiențe care apar la încărcarea matrigeelor cu electrozi tubulari se poate realiza prin respectarea mai multor condiții dintre care pot fi amintite următoarele:

- utilizarea unor electrozi tubulari cu diametrul cît mai redus, (sub 2 mm) pentru o topire cît mai rapidă a miezului de pulberi
- compactitatea miezului și conductivitatea lui termică să fie cît mai mare, pentru topirea cît mai uniformă a capătului electrodului;

- pulberile de feroaliale greu fuzibile (feromolibden, ferowolfram, etc) să aibă o granulație cu dimensiuni minime (sub 0,1 mm) pentru obținerea unei omogenități chimice maxime a straturilor încărcate;

- utilizarea unor fondanți, care să nu genereze substanțe oxidante în timpul încălzirii fluxului sau a miezului autoprotector al electrodului tubular de tipul  $\text{CaO} + \text{CaF}_2$  sau  $\text{Al}_2\text{O}_3 + \text{CaF}_2$  [94] precum și a unor gaze protectoare inerte având puritate maximă (peste 99,98%).

#### 2.2.4. Materiale de adaos sub formă de pulbere

Utilizarea materialelor de adaos sub formă de pulbere în cazul încărcării prin sudare prezintă avantajul reducerii coeficientului de participare a metalului de bază și a diluării reduse a compozitiei chimice a stratului încărcat. Acest avantaj rezultă ca urmare a conductivității termice reduse a materialelor pulverulente față de cele monolit și a utilizării mai economice a energiei termice, care se răspindește în mod restrins în metalul de bază [3], [42], [57].

Pentru caracterizarea modului de topire a pulberii metalice s-a introdus coeficientul de participare al metalului pulverulent în sudură  $m$ , definit ca raportul [57] :

$$m = \frac{G_p}{G_{\text{cuzătură}}} \cdot 100 [\%] \quad (2.10)$$

$$G_{\text{cuzătură}} = b + G_{\text{el}} + G_p \quad (2.11)$$

în care:

$b$  este participarea metalului de bază [g]

$G_{\text{el}}$  - participarea electrodului [g]

$G_p$  - participarea pulberii [g]

In cazul sudării WIG și cu jet de plasmă,  $G_{\text{el}} = 0$  întrucât nu se utilizează firme de adaos.

In cazul procedeului MIG și MAG participă în baie o cantitate de firme pînă la 30%, deci creșterea coeficientului  $m$  se poate realiza prin reducerea diametrului firmei electrod în cazul aceleiași puteri a arcului.

Pentru micșorarea supraîncălzirii metalului de bază și pentru o utilizare mai ratională a energiei, pulberile metalice au început să fie utilizate în mod curent sub formă de adaos în învelisul electrozilor [142], în fluxuri de sudură sau ca material suplimentar adăugat în rost [163].

### 2.3. Procedee de încărcare prin sudare a matrițelor

La alegerea procedeelor și a parametrilor tehnologici de încărcare prin sudare a matrițelor este necesar să se țină seama de influența lor asupra proprietăților metalului de bază, asupra puritatei și structurii straturilor încărcate, precum și asupra aderenței care se obține.

Un factor important care poate caracteriza fenomenele care au loc la încărcarea prin sudare este coeficientul de participare a metalului de bază b, care variază între limite destul de largi în funcție de procedeul și parametrii tehnologici adoptați.

In fig.2.10 sunt sistematizate valoile coeficientului de participare a metalului de bază b, pentru diferite procedee de încărcare prin sudare [132] [137] [158].

Se observă că, în cazul sudării automate sub flux și a sudării în gaz protector cu electrod fuzibil, se obțin cele mai mari valori ale coeficientului de participare a metalului de bază b, deci cea mai mare diluare a straturilor încărcate cu metal de bază.

Avantajul principal pe care îl ofere procedeele la care coeficientul de participare b are valori mici, este încălzirea redusă a metalului de bază, ceea ce diminuează zona influență termică și reduce gradul de supraîncălzire al acesteia, astfel încât proprietățile metalului de bază să fie modificate într-o mică măsură. Având loc și o diluare redusă a băii de sudură cu metal de bază, proprietățile metalului de adaos pot fi transferate straturilor încărcate.

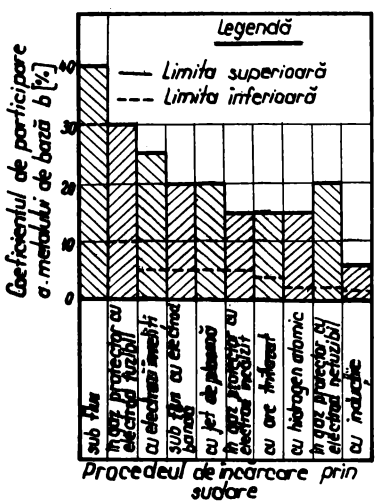


Fig.2.10. Valoile coeficientului de participare a metalului de bază pentru diferite procedee de încărcare prin sudare.

Din aceste considerente la încărcarea prin sudare a matri-  
jelor rețin atenția anumite procedee de încărcare, prezentate în ce-  
le ce urmează:

#### 2.2.1. Încărcarea prin procedeul de sudare cu hidrogen atomic

Aplicarea procedeului de sudare cu hidrogen atomic este  
încă frecvent aplicată în multe secții de forjă datorită existenței  
unor instalații robuste în funcțiune și a experienței acumulate în  
acest domeniu [158].

Limitarea aplicării acestui procedeu se datorește dezavantajelor pe care le prezintă, dintre care cele mai importante sunt:

- calitatea redusă a sudurilor datorită posibilităților de decarburiare a băii metalice, sau de apariție a porilor și a fisurilor în sudură precum și datorită cresterii mărimii zonei influențate termic sub influența fluxului dispers de căldură;

- conșumul ridicat de wolfram (0,5-1,5 g/oră) care se măreste în cazul reducerii puritatei hidrogenului;

- pericol de explozie și de electrocutare în timpul manevrării instalației.

#### 2.3.2. Încărcarea prin procedee de sudare în mediu pro- tector de argon, cu sîrme aliate

Aplicarea procedeului de sudare WIG la încărcarea matri-  
jelor este mai utilizată datorită dificultăților de obținere a ver-  
gelelor finăt aliate cu diametrul constant, fără suprapunerile de ma-  
terial, oxizi sau alte impurități pe suprafață și mai cu seamă da-  
torită productivității reduse pe care o asigură [143].

O variantă a procedeului WIG cu productivitate sporită și  
posibilități mai mari de reglare a încălzirii piesei sudate, este  
procedeul WIG cu arc trifazat [129] a cărui schemă de principiu este  
prezentată în fig.2.11.

La acest procedeu, reglarea încălzirii piesei se realizează  
prin reglarea puterii celor trei arce care se formează [98] în-  
tre fiecare electrod și piesă, respectiv între electrozi.

Utilizarea materialului de adaos sub formă de vergele din  
oțel aliat, limitează perspectivele de aplicare ale acestui procedeu  
la încărcarea matrijelor.

Cresterea intensivă a productivității la încărcarea prin

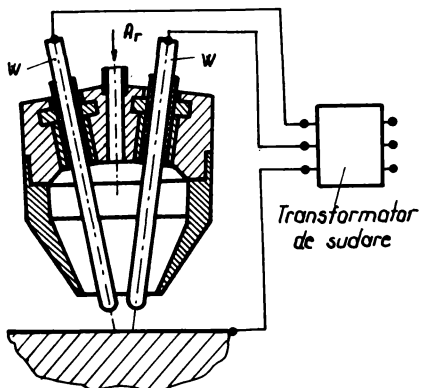


Fig. 2.11. Procedeul de sudare WIG cu arc trifazat [129].

suplimentare a sîrmelor de sudură, se obține în cazul sudării cu sîr-

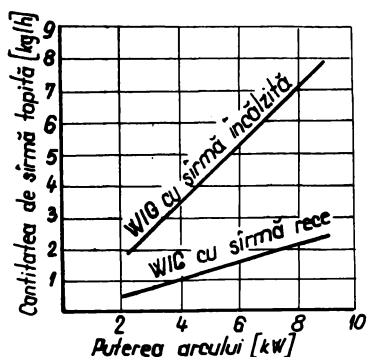


Fig. 2.12. Variatia cantității de sîrmă topită în funcție de puterea arcului electric. [125]

me inoxidabile [33] .

In cazul încărcării prin sudare a matrițelor prezintă interes și procedeul de sudare MIG cu arc dublu [100], care utilizează ca material de adaos, două sîrme propulsate paralel spre metalul de bază. Schema de principiu a pistoletului de sudură este prezentată în fig.2.14.

sudare și micșorarea participării metalului de bază în baia metalică se poate realiza prin procedeele de sudare cu sîrmă încălzită [111], [125] .

Utilizarea sîrmelor încălzite suplimentar poate fi aplicată la sudarea WIG cu sîrmă propulsată [31] la sudarea MIG, sau la sudarea cu plasmă. Orientativ în fig.2.12 și fig.2.13 sunt prezentate date referitoare la unele avantaje pe care le oferă încălzirea suplimentară a materialului de adaos sub formă de sîrmă.

Eficiența maximă a încălzirii

suplimentare a sîrmelor de sudură, se obține în cazul sudării cu sîr-

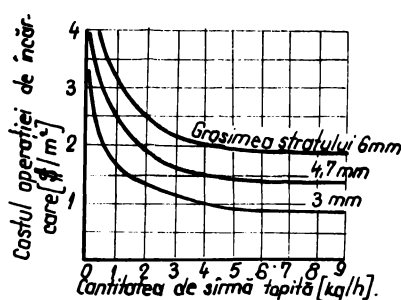


Fig. 2.13. Costul operației de încălzire în funcție de cantitatea de sîrmă topită [125].

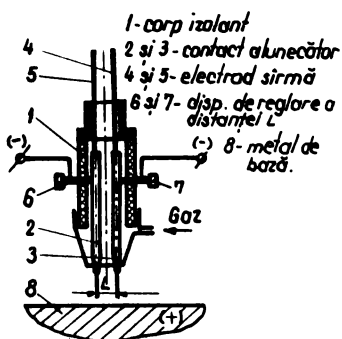


Fig. 2.14. Pistolet pentru sudarea MIG cu arc dublu [100].

Procedeul prezintă o productivitate ridicată, o bună stabilitate a arcului electric și o participare redusă a metalului de bază la sudură.

Deoarece toate procedeele care au fost prezentate necesită materiale de adaos sub formă de sîrmă finătă aliată, care se trefilează dificil, aplicabilitatea lor la încărcarea prin sudare a matrițelor este deocamdată limitată.

### 2.3.3. Încărcarea matrițelor prin sudare cu electrozi cu miez de pulberi

Utilizarea electrozilor tubulari cu miez de pulberi la încărcarea matrițelor prezintă unele dezavantaje care au fost amintite la paragraful 2.2.3, dintre care neomogenitatea chimică a straturilor încărcate și valorile mari ale coeficientului de participare a metalului de bază, sunt cele mai nefavorabile.

Deoarece în cazul încărcării prin sudare cu doi electrozi tubulari sub strat de flux [32] dezavantajele amintite nu mai apar, metoda poate prezenta interes în cazul încărcării prin sudare a matrițelor. Electrozii având între ei o distanță optimă de 9-11 mm, sunt conectați în paralel la aceeași surse de curent (polaritate inversă) și formează două arce electrice alăturate în aceeași baie de sudură. Stabilitatea acestor arce este mai mare decât a unui singur arc, cantitatea de flux topit crește, favorizând interacțiunea metalurgică dintre baia metalică și zgura topită, iar adâncimea de pătrundere a stratului încărcat se micșorează. Astfel adâncimea de pătrundere este cuprinsă între 2,0-2,5 mm, iar lățimea stratului între 23-28 mm pentru următorii parametri de lucru: Intensitatea curentului de sudare  $I_s = 680-700$  A, tensiunea arcului  $U_a = 33-35$  V, viteza de sudare  $s = 18,5$  m/h, diametrul electrodului  $d_e = 3,6$  mm. A fost utilizat fluxul AN-20 și electrozi tubulari cu miez de pulbere PP-3H2V8, care prin topire produc un oțel echivalent cu oțelul VCW85-STAS 3611-66.

Datorită adâncimii de pătrundere reduse, la încărcarea prin acest procedeu are loc o diluare redusă a băii metalice cu metal de

bază și este suficientă încărcarea a două straturi suprapuse, pentru a avea în ultimul strat compozitia echivalentă otelului VCW85 STAS 3611-66 [32].

Topirea celor doi electrozi efectuindu-se într-o baie metalică comună, interacțiunea celor două „arce gemene” [87], [98] [148] permite mărirea intensității curentului de sudare, fără să fie influențată vizibil adâncimea de pătrundere a stratului încărcat și asigură în același timp o stabilitate mai bună a arcurilor electrice. Prin aceasta, în cazul încărcării cu doi electrozi tubulari sub strat de flux se obține omogenitate chimică sporită a straturilor încărcate [32], chiar dacă miezul de pulberi a electrozilor tubulari conține granule de feroaliaje greu fuzibile (ferowolfram, ferovanadiu, feromolibden, etc).

Aplicarea acestui procedeu în condiții avantajoase se poate efectua numai la încărcarea unor suprafețe orizontale, sau ușor inclinate având arii suficient de mari, cauz întîlnit mai rar la mărițele pentru deformări plastice la cald.

#### 2.3.4. Încărcarea mărițelor prin procedee de sudare care utilizează material de adaos pulverulent

Avantajele prezentate de procedeele de încărcare cu jet de plasmă și material pulverulent [14], [28], [56], [120], nu pot fi contestate. Astfel au fost obținute rezultate favorabile la încărcarea otelurilor termorezistente solicitate la abraziune la cald (role și cilindrii de laminor, supape ale motoarelor cu ardere intensă, etc).

Dezavantajul principal al acestui procedeu este dizolvarea gazelor în stratul încărcat, care reduce compactitatea acestuia. Dizolvarea gazelor este favorizată de temperatura jetului de plasmă, presiunea parțială a gazelor de lucru, de distanța dintre generatorul de plasmă și piesă, precum și de reactivitatea și suprafața activă a materialului pulverulent.

Tinând seama de configurația complexă a cavităților mărițelor, care influențează distanța de la generatorul de plasmă la piesă, nu se poate asigura permanent o compactitate suficientă a straturilor depuse. Din acest motiv încărcarea cu jet de plasmă a mărițelor trebuie recomandată cu anumite rezerve.

O altă posibilitate de utilizare a pulberilor metalice ca

material de adaos, o prezintă sudarea MIG sau sudarea automată sub flux la care pulberile necesare alierii sînt asezate pe suprafața piesei sau în rosturi [3] , [42] , [57] , [135] .

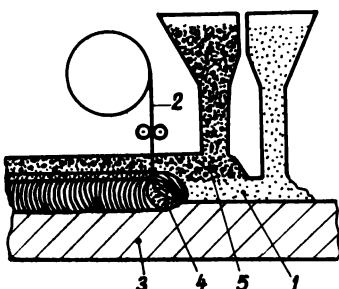


Fig. 2.15. Sudarea automată sub flux cu material de adaos pulverulent [3].

tele experimentale obținute la sudarea unui oțel St3, avînd grosimea  $g = 12 \text{ mm}$ , a pulberii metalice PJ-3S introdusă în rostul dintre table și a sîrmei de sudare SvloG2 cu diametrul  $d = 4 \text{ mm}$ . Toate sudurile au fost efectuate cu parametrii constanti ( $I_s = 800 \text{ A}$ ;  $U_s = 40 \text{ V}$ ;  $V_s = 25 \text{ m/h}$ ).

In urma cercetărilor efectuate, asupra utilizării materialelor de adaos pulverulente, la încărcarea prin sudare cu straturi rezistente la uzură, s-a dovedit superioritatea procedeelor de încărcare cu ajutorul încălzirii prin inducție [1] , [123] , [138] .

Grosimea  $\delta$  a stratului încălzit prin inducție poate fi calculat cu precizie suficientă cu ajutorul următoarei relații:

$$\delta = 503 \sqrt{\frac{s}{\mu f}} \quad [\text{m}] \quad (2.12) \quad \text{în care:}$$

$\rho$  este rezistivitatea materialului  $[\Omega \cdot \text{m}]$

$\mu$  - permeabilitatea magnetică a materialului ;

$f$  - frecvența curentului  $[\text{s}^{-1}]$

In fig.2.15 este prezentată sudarea automată sub flux cu material de ados pulverulent 3 , la care baia metalică 4 se formează prin topirea pulberii metalice 1 , a electrodului de sîrmă 2 și a metalului de bază 3. Protejarea băii metalice se realizează prin topirea fluxului de sudură 5. La acest procedeu scade participarea metalului de bază la formarea băii metalice,datorită creșterii cantității de metal de ados topit. Acest efect este vizibil în diagrame din fig.2.16 construită cu da-

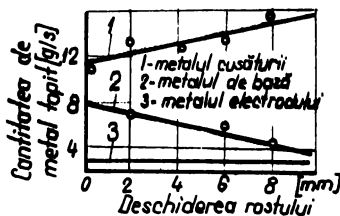


Fig.2.16. Influența cantității de pulbere metalică introdusă în rost asupra volumului de metal topit, la sudare automată sub flux [57].

Deoarece proprietățile magnetice, electrice și termice ale materialului de bază diferă de cele ale pulberii metalice, variind chiar în timpul încălzirii, apar procese termice care se pot defini în patru etape caracteristice [138]:

Etapa I-a caracterizată printr-o încălzire intensă a metalului de bază pînă la temperatura transformării magnetice  $Ac_2$ , și printr-o încălzire mai redusă a pulberii, care are conductivitatea termică și electrică redusă, motiv pentru care temperatura ei este cu cîteva sute de grade inferioară temperaturii metalului de bază. Diferența de temperatură în această etapă e cu atît mai mare cu cît este mai mare puterea sursei termice.

Etapa II-a după depășirea punctului  $Ac_2$ , datorită scăderii permeabilității magnetice și a creșterii rezistențăii metalului de bază, are loc o mărire a adîncimii de pătrundere a încălzirii, ceea ce determină în cazul unei puteri termice constante, o scădere a vitezei de încălzire a metalului de bază. În acest timp are loc o egalizare între temperatura pulberii și a metalului de bază, datorită trecerii căldurii din metalul de bază cald, spre pulberea cu temperatură mai joasă, precum și datorită încălzirii pulberii sub acțiunea curenților de inducție.

Este indicat ca temperatura de topire a pulberii să fie mai redusă decît temperatura de topire a metalului de bază, iar protecția metalului topit să fie asigurată cu ajutorul unui flux amestecat cu pulbere metalică.

Etapa III-a este caracterizată prin valori ale temperaturii materialului de adaos cuprinse între punctele solidus și lichidus. La aceste temperaturi particulele de flux se topesc și formează o peliculă protectoare de zgură, care se ridică la suprafața materialului topit. În momentul în care tot materialul de adaos s-a topit, se poate considera încheiată etapa a III-a.

Etapa IV-a favorizează supraîncălzirea băii metalice formate în etapa a III-a, motiv pentru care se recomandă ca durata ei să fie cît mai redusă. Cazul ideal este eliminarea etapei a IV-a, care ar fi posibilă, dacă temperatura solidus a metalului de bază ar fi depășită spre sfîrșitul perioadei a III-a. Acest lucru nu poate fi înșă practic realizat, deoarece temperatura zonei de fuziune a metalului de bază nu poate fi măsurată în timpul încărcării prin sudare a fiecărei piese.

Supraîncălzirea datorată etapei a IV-a nu este dezavantajoasă numai asupra granulației cristalelor zonei influențată termic, ci produce și o diluare a băii metalice cu metal de bază. Astfel la încărcarea prin sudare cu curenti de inducție având frecvența de 70 kHz, a unor epruvete din otel 65 G cu pulbere de sormait-1, cu granulația sub 0,6 mm, are loc o diluare a băii metalice odată cu creșterea perioadei de supraîncălzire din etapa a IV-a, ceea ce se observă din fig.

2.17. Perioada relativă de supraîncălzire, este raportată la timpul necesar topirii complete a stratului de pulbere de pe suprafața piesei.

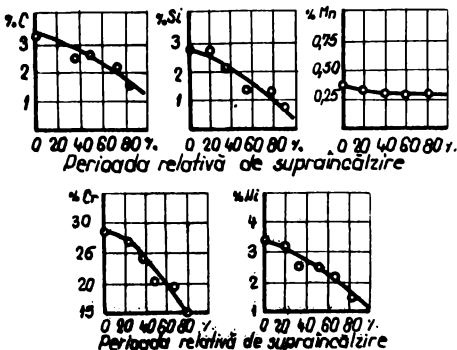


Fig. 2.17. Variatia compozitiei chimice a stratului încărcat prin sudare cu curenti de inducție ( $f = 70 \text{ kHz}$ ). [138].

straturilor încărcate, ceea ce se observă din fig. 2.18 [1].

Acest efect este provocat de diluarea metalului de adăos cu metal de bază, precum și de micșorarea cantității de carburi disperse în sudură.

Din acest motiv este deosebit de important să se calculeze timpul necesar pentru topirea materialului de adăos pe baza relațiilor empirice de calcul [1].

Tinând seama de influența redusă a acestui procedeu asupra structurii și a proprietăților metalului de bază, precum și a aderenței bune a stratului încărcat [123], metoda ar putea fi extinsă și în cazul încărcării matrițelor.

Dezavantajele procedeului de încărcare prin inducție a matrițelor, constă în neomogenitatea chimică a straturilor încărcate, și în posibilitatea obținerii inclusiunilor nemetalice provenite din fluxul cu care este amestecat materialul de adăos pulverulent, tînind seama de durata redusă a procesului, care nu depășește 30-40 s [1].

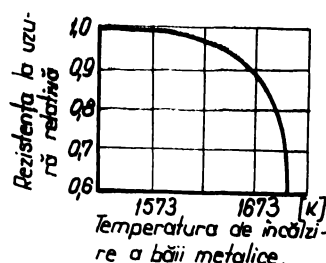


Fig. 2.18. Variatia rezistenței la uzură a straturilor încărcate. [1].

#### 2.4. Influenta parametrilor de sudare asupra formei și calității straturilor încărcate prin sudare

Au fost efectuate numeroase cercetări privind influența parametrilor de sudare în cazul diferitelor procedee, asupra formei și calității straturilor încărcate [24], [32], [62], [70], [101], [115], [144].

Astfel forma secțiunii stratului încărcat poate fi apreciată pe baza unor relații de calcul [144], sau diagrame [70] verificate practic, care țin seama de principalii parametri ai proceselor de sudare. O succintă sistematizare a acestor date se poate observa în tabelul 2.1 [144].

*Tabelul 2.1. Principalele forme ale secțiunilor straturilor încărcate prin sudare și relații pentru calcularea secțiunii transversale a sudurii [144].*

Nr. crt.	Forma caracteristică a secțiunii stratului încărcat prin sudare $\psi_i = \frac{B}{h_i}$	Coeficienți de formă și parametri			Relații pentru calcularea secțiunii transversale	
		$\psi_2 = \frac{B}{h_P}$	$I_s [A]$	$v_3 [\text{cm}^2/\text{s}]$	$A_1$	$A_2$
1		9-12	1,0-1,5	800-1000 ≤ 0,95	$\frac{2}{3} \psi_i \cdot h_i^2$	$\frac{1}{2} \psi_2 \cdot h_P^2$
2		4-6	≤ 1,0 ≥ 1000 ≤ 0,55		$\frac{\sqrt{I}}{4} \psi_i \cdot h_i^2$	$\frac{\sqrt{I}}{4} \psi_2 \cdot h_P^2$
3		6-8	2,0-2,1 400-800 0,55 0,85		$\frac{2}{3} \psi_i \cdot h_i^2$	$\frac{\sqrt{I}}{2} h_P^2$
4		6-8	2,1-3,0 < 800 ≥ 0,35	$\frac{h_i}{15} \left[ 6\psi_i \cdot h_i + 8 \sqrt{\frac{4+\psi_i^2}{4} \cdot h_i^2} \right]$	$\frac{B}{15\psi_2} \left[ 6B + 8 \sqrt{\frac{4+\psi_2^2}{4} \cdot B^2} \right]$	
5		6-8	1,2-5,0 < 400 ≥ 0,55		$\frac{2}{3} \psi_i \cdot h_i^2$	$\frac{\sqrt{I}}{4} \psi_2 \cdot h_P^2$
6		10-11	3,0-5,0 < 400 ≥ 0,85	$\frac{h_i}{15} \left[ 6\psi_i \cdot h_i + 8 \sqrt{\frac{4+\psi_i^2}{4} \cdot h_i^2} \right]$	$\frac{B}{15\psi_2} \left[ 6B + 8 \sqrt{\frac{4+\psi_2^2}{4} \cdot B^2} \right]$	

Cunoscîndu-se forma și dimensiunile straturilor încărcate se.

poate aprecia concentrația elementelor de aliere din strat, în funcție de conținutul de elemente al metalului de bază și al materialului de adaos, precum și în funcție de coeficienții de trecere ai elementelor de aliere [19], [66], [95], [112], [127], în cazul diferitelor procedee de sudare. Prin aceasta se poate calcula numărul necesar de straturi încărcate astfel ca ultimul strat să aibă o compoziție chimică dată [107], [112]. Acest calcul este mai puțin important în majoritatea cazurilor de încărcare prin sudare a matrițelor, întrucât atât metalul de bază cât și materialul de adaos au compozitii chimice asemănătoare.

Parametrii de sudare și compoziția chimică a băii metalice influențează procesul de cristalizare a metalului lichid, favorizând apariția unei anumite structuri primare. În urma unor cercetări aprofundate în acest domeniu [101] au fost observate cinci tipuri de structuri primare caracteristice, obținute în urma solidificării băii metalice

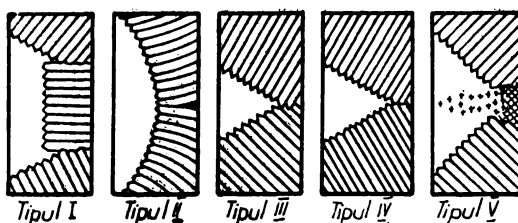


Fig. 2.19. Structuri primare obținute în urma solidificării băii metalice de sudură [101].

de sudură, care sunt schematizate în fig. 2.19. Studiul a fost efectuat pe fier tehnic pur, aliaje binare de fier, având un conținut variabil de C, P, Si, Mo, Ni, Mn, V, W, Cr, precum și pe oțeluri crom, crom-nichel, crom-nichel-titan, crom-wolfram-vanadiu, crom-mangan-siliciu, crom-nichel-molibden, etc.

Încercările au fost efectuate pe epruvete de tablă având grosimea  $g = 2$  mm, sudate prin procedeul WIG cu diferite viteze de sudare ( $v_s = 0,14; 0,55; 1,00; 1,67$  cm/s) și cu intensități adecvate realizării unei pătrunderi pe întreaga grosime.

Datele experimentale prezentate în lucrare [101], sub formă tabelară, nu sunt suficient de intuitive, motiv pentru care în urma prelucrării lor, poate fi prezentată diagrama din fig. 2.20. Se observă că tipurile de structuri primare obținute în urma solidificării băii metalice conținând 13% Cr și 0,2-0,4% C depind de viteză de sudare [101].

Studii asemănătoare au fost efectuate și asupra oțelurilor turnate [134], în care a fost pusă în evidență dependența structurii

primare de viteza de răcire a metalului topit. Structura primară influențează distribuția incluziunilor nemetalice și a defectelor rețelei cristaline determinând proprietățile mecanice și sensibilitatea la fisurare a sudurii.

In urma încercărilor mecanice efectuate asupra diferitelor tipuri de suduri s-a constatat că cele mai defavorabile sunt cele de tipul IV, după care urmează cele de tipul I și II, la care s-a observat și o sensibilitate mai mare la fisurare în timpul sudării.

Impiedicarea creșterii cristalelor columnare și finisarea structurii primare a sudurii se poate realiza prin agitarea băii cu ajutorul undelor ultrasonore [300] , [47] , [105] , [112] , sau sonore (pînă la 10kHz) [109] , precum și cu ajutorul cîmpurilor magnetice [18] , [36] , [58] , [146]

Un alt efect al agitației băii metalice este eliminarea gazelor dizolvate în sudură, precum și o uniformizare sau chiar o reducere a cantității de incluziuni conținute de sudură [109] , ceea ce mărește compactitatea respectiv calitatea sudurii.

Proprietățile sudurii depind în mare măsură de parametrii tehnologici specifici ai proceseului de sudare utilizat, printre care intensitatea curentului și viteză de sudare au un rol determinant. Astfel poate fi amintit efectul de scădere a durității sudurii, datorită reducerii vitezei de răcire a sudurii, odată cu creșterea energiei liniare și a temperaturii de preîncălzire a metalului de bază.

In cazul sudării otelurilor aliata, datorită complexității fenomenelor care au loc, se pot obține efecte contrare, de care trebuie să se țină seama. Spre exemplu în cazul încărcării prin sudare a unui otel avînd 0,45% C, cu electrozi aliati HR-7o [62] , avînd 0,30% C și alte elemente de aliere (Cr, Mn, Mo,), la creșterea intensității curentului de sudare (fig.2.21,a) și la scăderea tensiunii arcului (fig.2.21,b), are loc o creștere a durității constatăndu-se și o creștere a conținutului de carbon a băii metalice pe seama carbonului provenit din metalul de bază.

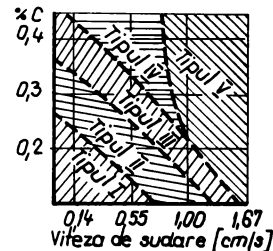


Fig. 2.20. Tipuri specifice de structuri primare ale sudurii, obținute în diferite condiții de sudare a otelului cu 13% Cr și cu un conținut variabil de C.

In figurile 2.21,a și 2.21,b sunt reprezentate grafic datele întâlnite în literatura de specialitate [62]. Acest exemplu

vine să întărească ideea, că încărcarea prin sudare cu壮uri aliante este recomandabil să se efectueze având energii liniare cît mai reduse.

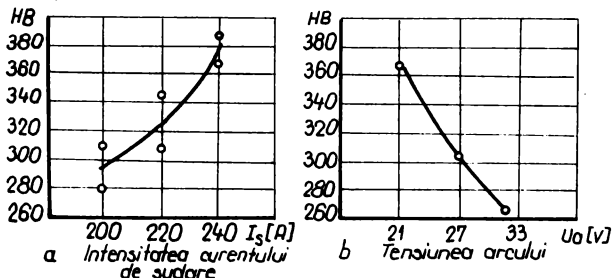


Fig. 2.21. Variatia duratii medii a stratului incarcat cu electrodi HR-70 [62] in functie de unii parametrii de sudare.

a metalului de bază, sau printr-o încălzire ulterioară [126].

Pericolul de fisurare care crește în acest caz, poate fi compensat printr-o preîncălzire adecvată

## 2.5. Posibilități de apreciere a calității matritelor

### încărcate prin sudare

Aprecierea calității matritelor se poate face prin observarea comportării lor în timpul exploatarii, determinindu-se numărul de piese executate, pînă la care nu au apărut modificări dimensionale, sau deteriorări ale suprafețelor active.

În cazul matritelor încărcate prin sudare, stabilirea variantei optime de încărcare se poate face pe baza încercărilor simulative pe epruvete, care prezintă avantaje economice față de încercările efectuate direct pe matrige, urmînd ca în final să se efectueze și verificarea în exploatare, care este cel mai concluzionant test.

Există numeroase posibilități de apreciere a calității pieselor încărcate prin sudare, dintre care unele au fost aplicate și în cazul matritelor [6], [7], [67], [72], [76], [77], [84], [90], [91], [96], [103].

Avînd în vedere că obținerea de matrige în stare tratată au rezistență la rupere deosebit de mare, a căror valori pot atinge  $180\text{--}200 \text{ daN/mm}^2$  [35], la prelucrarea epruvetelor vor fi evitate încălzirile care pot provoca modificarea proprietăților și a structurii.

Simularea condițiilor de temperatură și de eforturi dinamice la care este supusă matrige, nu poate fi reprobusă riguros pe epruvete, astfel încît au fost introduse teste care să permită apre-

ciererea comportării diferitelor materiale în timpul exploatarii, pe baza prelucrării statistice a rezultatelor experimentale [102] , [148]

Pot fi astfel amintite metodele de determinare a rezistenței la soc termic [97] , [7] , [72] , [91] , [103] , a rezistenței la propagare a fisurilor [6] , [43] , [156] , a rezistenței la uzură [44] , [72] , [97] , și a duratăii și rezistenței la cald, care pot furniza date utile pentru aprecierea durabilității, în timpul funcționării matrițelor.

Pentru o mai bună cunoaștere a comportării materialului încărcat prin sudare în timpul multiplelor solicitări care apar în exploatare, mai poate fi determinat coeficientul de aderență la soc [4] [79] , coeficientul de dilatare termică la diferite temperaturi [155] pentru metalul de bază și pentru metalul depus prin sudare, precum și duritatea în zona de trecere și în zona influențată termic.

O importanță deosebită o prezintă cercetarea macroscopică și microscopică și încercările de duritate cu sarcini mici, pentru punerea în evidență a neomogenităților structurii cristaline, sau a microdefectelor.

Microanaliza chimică cu sonda electronică pentru determinări cantitative și calitative [16] , [17] , [80] , [88] , [90] , poate fi aplicată pentru determinarea neomogenităților din aliaje și pentru stabilirea compoziției chimice a zonelor având suprafețe de ordinul  $\mu\text{m}^2$ . Astfel cu ajutorul unui fascicol de electroni focalizat la diametrul de 1  $\mu\text{m}$  și accelerat de un câmp electric având 5 - 50 kV, este bombardată suprafața lustruită a probei, și se produce o interacțiune a electronilor cu atomii, specific fiecărui element chimic. Pot fi identificate prin această metodă cantități pînă la  $10^{-16}$  g, ceea ce reprezintă o performanță față de metodele spectroscopice, care erau considerate metode sensibile și prin care se identificau cantități pînă la  $10^{-13}$  g [10] .

Prin baleajul fascicoului electronic pe suprafața probei, poate fi înregistrată distribuția unui element de aliere de-a lungul unei linii, evidențiindu-se neomogenitățile chimice care apar între diferenții constituenți strucurali, sau între diferențele zone ale pieselor cercetate.

Datorită faptului că în țară există asemenea instalații, pot fi extinse cercetările prin microanaliză chimică cu sonda electronică și asupra sudurilor, mai cu seamă în cazul oțelurilor aliate, la care apar carburi sau compuși intermetalici dependenți de

neomogenitățile chimice care apar între diferenții constituenți struc-turali, sau între diferențele zone ale piesei cercetate.

Datorită faptului că în țară există asemenea instalații, pot fi extinse cercetările prin microanaliză chimică cu sonda elec-tronică și asupra sudurilor, mai cu seamă în cazul oțelurilor alia-te, la care apar carburii sau compuși intermetalici, dependenti de ciclurile termice la care au fost supuse piesele. În lucrare au fost studiate cu ajutorul acestor instalații neomogenitățile de ferowol-fram existente în unele suduri.

Prin îmbinarea adecvată a metodelor de cercetare a cali-tății matrițelor încărcate prin sudare, poate fi stabilită tehnolo-gia și parametrii optimi de sudare, precum și metalul de adaos cores-punzător, pentru care durabilitatea în funcționare a matrițelor să fie maximă.

P A R T E A a II-a

**3. CERCETARI PRIVIND INFLUENTA CICLURILOR TERMICE ASUPRA PROPRIETATILOR OTELURILOR ALIATE MoCN15 și VCW85 LA INCARCAREA PRIN SUDARE**

Otelurile aliante pentru matrice MoCN15 și VCW85 STAS 3611-66 sunt oțeluri aliante de înaltă rezistență și tenacitate, datorită elementelor de aliere pe care le conțin. Sub acțiunea ciclurilor termice care apar la sudare, zona influențată termic suferă transformări structurale complexe, respectiv modificări ale proprietăților, care pot afecta durabilitatea în exploatare a matrigeilor.

Studierea acestor transformări pe epruvete din materialele amintite, în funcție de diferenți parametrii, dău posibilitatea stabilirii variantelor optime de sudare pentru care proprietățile zonei influențate termic să fie cît mai apropiate de proprietățile metalului de bază, astfel încât să nu mai fie necesar tratamentul termic de îmbunătățire după sudare.

**3.1. Instalații și aparatură folosită în cercetare**

**3.1.1. Aparat pentru înregistrarea ciclurilor termice la sudare**

Variatia temperaturii în diferite puncte ale zonei influențate termic a fost înregistrată cu ajutorul potențiometrelor automate electronice de tip EPD-12 GOST 7164-58, la care a fost adoptată turăția înregistratorului de la 1 rot/24 h, la 1 rot/38 s, prin modificarea corespunzătoare a raportului de transmisie a roților dințate. Termocouplele utilizate au fost de tipul Pt-Pt-Rh, având diametrul sîrmei de 0,3 și 0,5 mm. Capetele sudate ale celor două sîrme din compoziția termocoplului nu trebuie împălitite, pentru evitarea fenomenului de autoinducție, care poate apărea la variațiile rapide de temperatură și pot influența rezultatele măsurătorilor.

Domeniul de înregistrare este impus de temperaturile între care apar la răcirea oțelului transformări structurale, care determină modificări ale proprietăților. Limitele domeniului de înregistrare a temperaturilor sunt date în cazul oțelurilor, de valorile

temperaturii de topire și ale temperaturii de începere a transformării martensitice  $M_s$ . Din diagramele prezentate la punctul 1.4.4 fig.1.13 și fig.1.15 rezultă că pentru oțelul MoCN15 temperatura  $M_s = 523$  K, iar pentru oțelul VCW85 temperatura  $M_s = 695$  K. Rezultă că extinderea domeniului de temperaturi care necesită înregistrări, are limitele 1700 K și 500 K pentru care pot fi utilizate termocouplele de Pt-Pt.Rh.

Viteza de variație a temperaturii materialului în timpul sudării are limite largi. Astfel încălzirea unui punct pînă la temperaturi apropiate de temperatura de topire durează un timp, care poate varia între valori de ordinul zecimilor de secundă și valori de ordinul secundelor.

Răcirea unui punct situat în zona influențată termic a materialului încărcat prin sudare, pînă la temperaturi inferioare punctului de începere a transformării martensitice  $M_s$ , poate dura un timp a cărui valori variază între cîteva secunde și cîteva minute.

Datorită acestor limite largi de variație a timpului în care se desfășoară procesele termice și metalurgice la sudare, apărătele pentru înregistrarea temperaturilor din zona influențată termic trebuie să prezinte posibilități de reglare a vitezei de deplasare a înregistratorului.

In cazul potențiometrului automat electronic EPD-12 GOST 7164-58, acest lucru este posibil prin modificarea raportului de transmisie a roților dințate de antrenare. De asemenea este important ca inerția sistemului de măsurare a temperaturii să fie cît mai mică. Aceasta se poate realiza prin utilizarea unor termocouple cît mai subțiri (0,3-0,5 mm) și a unor aparate de măsură cît mai sensibile.

Printre apărătele care îndeplinește aceste condiții pot fi amintite galvanometrele și oscilografele cu spot luminos, la care înregistrarea se efectuează pe hîrtie foto-sensibilă [83].

### 3.1.2. Aparat pentru sudarea termocouplelor pe piese

Inregistrarea temperaturilor în diferite puncte ale unei piese, poate fi efectuată cu ajutorul termocouplelor introduse în orificii corespunzătoare, practicate în materialul cercetat.

Intrucit aderență dintre termocuplu și peretele orificiului în care este introdus termocuplul, nu este asigurată decât în anumite zone având aria restrinsă, transmiterea căldurii prin conductivitate termică, de la piesa caldă spre termocuplul rece, necesită un anumit timp, care mărește inertie sistemului de măsurare.

Prin realizarea unui contact sudat între termocuplu și piesă, transmiterea căldurii spre termocuplu se realizează în condiții mai favorabile și reduce inertie sistemului de înregistrare a temperaturii.

Sudarea termocouplelor, pentru înregistrarea ciclurilor termice la care este supus un material sudat, a fost efectuată cu ajutorul unei instalații de sudare cu energie înmagazinată în condensatoare [25]. Instalația este realizată la Universitatea din Brașov.

Schema de principiu a instalației pentru sudarea termocouplelor este prezentată în fig. 3.1, în care T este transformatorul care asigură tensiunea anodică a tubului electronic L.

Tensiunea se aplică bateriei de condensatoare C, prin intermediul rezistenței R, atunci cînd butonul de comandă B este în poziția corespunzătoare contactului 1-2.

Prin apăsarea butonului B, se întrerupe contactul 1-2 și se stabilește contactul 1-3, astfel încît bateria de condensatoare C se descarcă în primarul transformatorului de sudare TS și produce un impuls de curent, care sudează termocupplul pe piesa cercetată.

Instalația permite sudarea termocouplelor, a căror diametru la vîrf nu depășește 1 mm. Au fost efectuate încercări de sudare

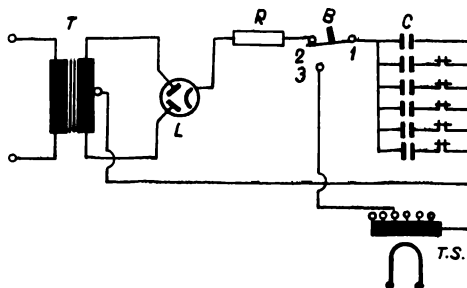


Fig. 3.1. Schéma de principiu a instalației pentru sudarea termocouplelor pe piese [25].

a termocouplelor mai mari de 1 mm diametru, însă aderența lor pe suprafața piesei nu a fost satisfăcătoare.

Compararea modului de funcționare a termocouplelor sudate pe piesă, față de termocouplele introduse în orificii practicate pe suprafața pieselor s-a efectuat pe o epruvetă cilindrică de oțel, având diametrul de 30 mm și înălțimea de 20 mm.

Termocouplele au fost aplicate pe suprafață frontală superioară a epruvetei, la distanțe egale, situate pe circumferința unui cerc concentric cu perimetrul secțiunii, având raza de 5 mm.

In fig.3.2 se observă modul de încălzire a epruvetei 1, din oțel MoCN15, a cărei parte inferioară având lungimea  $L = 5$  mm a fost introdusă în baia de săruri topite 2, având temperatură  $T_0 = 1173$  K.

Variatia temperaturii măsurată cu termocouplele 3, a fost înregistrată cu ajutorul potențiometrelor electrice 4.

Ecuatia cimpului termic într-o bară semiinfinită, încălzită într-un capăt pe o porțiune  $L$  la temperatura  $T_0$ , este dată de relația [106] :

$$T(x,t) = \frac{T_0}{2} \left[ \varnothing \left( \frac{x+L}{\sqrt{4 \cdot at}} \right) - \varnothing \left( \frac{x-L}{\sqrt{4 \cdot at}} \right) \right]; \quad (3.1)$$

în care  $\varnothing(u) = \frac{2}{\sqrt{\pi t}} \int_0^u e^{-u^2} du;$  (3.2)

Din ecuație se observă că la un anumit moment  $t$ , toate punctele situate la distanță  $x = ct$  față de zona încălzită cu aceeași temperatură, deci suprafața transversală a barei situată la distanță  $x = ct$  față de zona încălzită, poate fi considerată ca suprafață izotermă. Dacă suprafață frontală a epruvetei din fig.3.2, pe care au fost aplicate termocouplele, poate fi considerată un plan izoterm, toate termocouplele ar trebui să indice aceeași variație a temperaturii în funcție de timp.

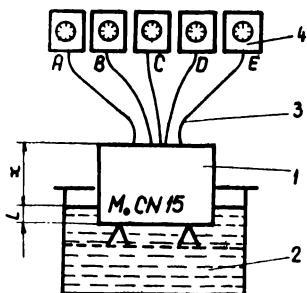
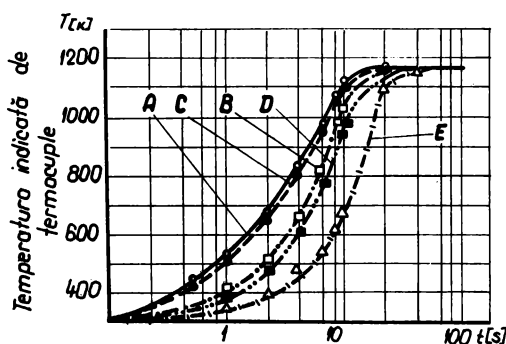


Fig. 3.2. Instalație pentru compararea modului de funcționare a termocouplelor

Datorită modulului de montare diferit și a dimensiunilor diferite a celor cinci termocouple aplicate pe piesă, curbele înregistrate nu se suprapun, ci prezintă anumite decalaje care se observă în fig.3.3.



Simbol	A	B	C	D	E
Termocuplu	Pt-PtRh	Pt-PtRh	Pt-PtRh	Pt-PtRh	Cromel / Alumel
Diametrul sîrmei [mm]	0,3	0,3	0,5	0,5	1,0
Diametrul în copătă [mm]	0,6	0,6	1,0	1,0	2,0
Aplicarea pe piesă	prin sudare	în orificiu	prin sudare	în orificiu	în orificiu

Fig. 3.3. Influența modului de aplicare a termocouplelor pe piese, asupra rezultatelor măsurătorilor.

de temperatură în intervale reduse de timp, nu este indicată utilizarea termocouplelor introduse în orificii practicate în diferite puncte ale piesei [83] , [99] , [126] .

O înregistrare corectă a ciclurilor termice dinamice se poate realiza prin utilizarea unor termocouple cît mai subțiri, aplicate pe piesă prin sudare.

Pentru înregistrarea ciclurilor termice la care este susținută piesa în cazul diferitelor procedee de sudare, au fost suitate pe epruvete cu ajutorul instalației amintite, termocouple de Pt-Pt.Rh, având diametrul sîrmei 0,3 mm.

Astfel cu cît sfera formată în capătul celor două sîrme ale termocuplului este mai mare, cu atât încălzirea ei este întîrziată, mai cu seamă în cazul contactului imperfect cu piesa.

Din diagramă se observă că acest efect este diminuat dacă termocuplul este sudat pe piesă (curba A și C), caz în care transferul de căldură spre masa termocuplului este mai intens.

Trebuie remarcat faptul că după stabilirea unui regim termic staționar, toate termocouplele au indicat aceeași temperatură.

Rezultă că pentru înregistrarea unor cicluri termice care prezintă variații mari

### 3.1.3. Instalație pentru simularea ciclurilor termice

Studierea modificărilor structurale și a proprietăților mecanice, sub acțiunea ciclurilor termice de sudare, se poate realiza pe epruvete încălzite și apoi răcite în condiții cît mai asemănătoare celor din zona influențată termic.

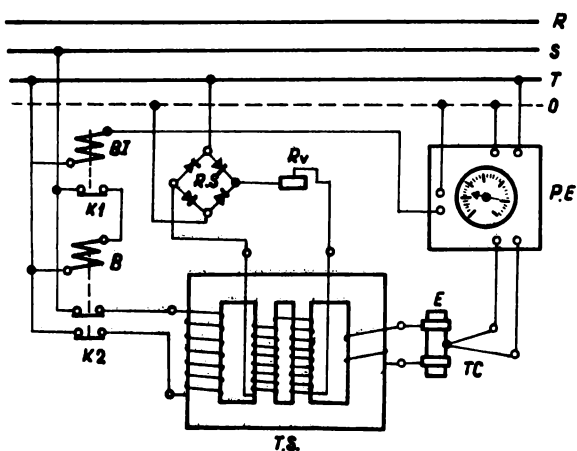


Fig. 3.4. Schema de principiu a instalației electrice pentru simularea ciclurilor termice.

Pentru simularea și înregistrarea ciclurilor termice complexe la care este supus un material în timpul încărcării prin sudare, s-a realizat o instalație a cărei schemă de principiu este prezentată în fig. 3.4.

Încălzirea epruvetei E, fixată în dispozitivul de prindere al instalației, este asigurată prin efectul Joule, produs de curentul secundar al transformatorului TS, reglat

în curent continuu [54]. Înăsurarea de comandă a transformatorului este alimentată cu curent continuu de la redresorul cu seleniu RS, prin intermediul rezistenței variabile  $R_v$ . Tensiunea la bornele redresorului variază între 55-60 V, iar intensitatea curentului între 0-20 A, cu ajutorul căreia se poate regla viteza de încălzire a epruvetelor între 10-50 K/s.

Sistemul automat pentru limitarea temperaturii maxime a ciclului termic și pentru menținerea epruvetei la o anumită temperatură, se bazează pe conectările și deconectările succesive ale contactorului K2 montat în circuitul primar a transformatorului. Pentru aceasta în momentul în care tensiunea termocuplului TC depășește tensiunea corespunzătoare temperaturii limită, potențiometrul electronic PE comandă cuplarea releului intermedier BI, a cărui contact normal închis K1 se deschide și întrerupe curentul

din bobina B a contactorului normal închis K2, pe care îl deschide la scăderea temperaturii sub valoarea reglată la potențiometrul electronic PE, comenzile sunt inverse, iar înășurarea primară a transformatorului se couplează din nou pînă la atingerea temperaturii limită.

Potențiometrul electronic utilizat a fost de tipul EPD-12 GOST 7164-58 și prin modificarea turației înregistratorului de la 1 rot/24 ore, la 1 rot/38 s a fost posibilă înregistrarea grafică a ciclurilor simulate.

Abaterea valorilor temperaturii față de valoarea limită reglată la potențiometrul electronic este de ±lo K și este determinată de inerția sistemului de reglare.

Valorile maxime ale temperaturii la care pot fi încălzite epruvetele cu ajutorul acestei instalații, nu poate depăși valoarea de 1373 K, în cazul utilizării termocouplelor Cromel-Alumel și 1673 K, în cazul utilizării termocouplelor Pt-Pt.Rh.

După ce epruveta atinge temperatura maximă, aceasta poate fi menținută un anumit timp la temperatură, sau se poate realiza o răcire cu diferite viteze în funcție de mediul de răcire utilizat. La punctul 1.5.2. este prezentată fig.1.18 obținută prin prelucrarea datelor existente [136] și care permite evaluarea vitezelor de răcire asigurate de diferențele medii de răcire. Pentru realizarea unor viteze de răcire inferioare celor asigurate de mediile prezente, au mai fost utilizate și alte medii și anume aer comprimat, având diferite debite, sau aer liniștit. Etalonarea vitezelor de răcire în funcție de debitul aerului comprimat a fost posibilă, prin utilizarea unui ajutaj cu secțiunea constantă de  $1,77 \text{ cm}^2$ , situat la distanța de 5 cm față de epruvetă.

In interiorul ajutajului a fost montat un tub Pitot pentru stabilirea debitului de aer.

Pentru evitarea regimului tranzitoriu, care are loc la deschiderea robinetului de aer comprimat, pornirea aerului se face în prealabil, intercalindu-se între ajutaj și epruvetă un panou de tablă care se îndepărtează în momentul în care se întrerupe curentul electric din instalația de încălzire și începe răcirea epruvei.

Instalația realizată după schema descrisă este prezentată în fig.3.5.

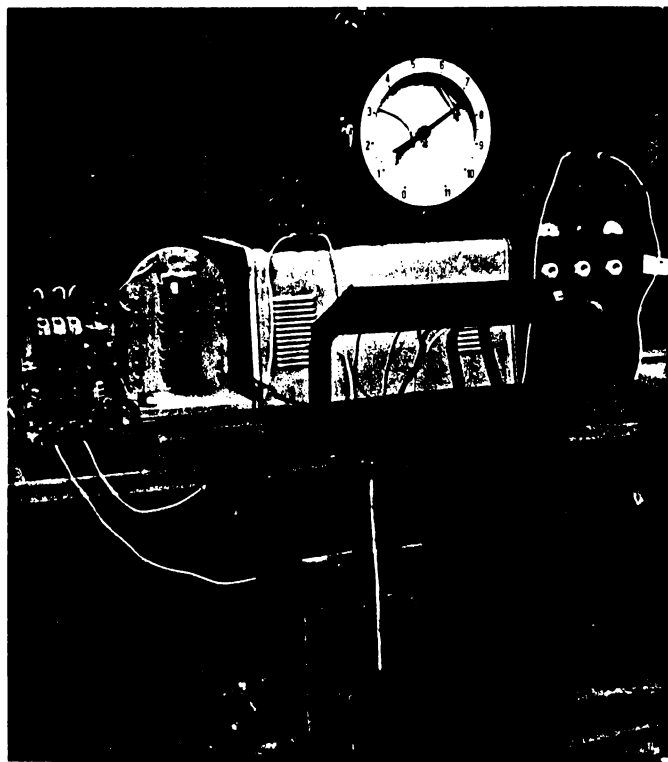


Fig.3.5. Instalație pentru simularea ciclurilor termice

Cu ajutorul acestei instalații pot fi simulate ciclurile termice care apar în zona influențată termic a oțelurilor, atunci cind sunt încărcate prin sudare cu diferiți parametri tehnologici.

### 3.2. Cîmpul termic specific încărcării prin sudare a matritelor

#### 3.2.1. Cîmpul termic la încărcarea prin sudare a matritelor avînd temperatûra initială constantă

Relația 2.2 prezentată la punctul 2.1.1, este aplicabilă în cazul încărcării prin sudare a matritelor, pentru perioada cîmpului termic cvasistacionar, față de sistemul mobil de refe-

rință. În multe situații însă, lungimea straturilor încărcate prin sudare poate avea valori reduse (sub 10-15 mm, astfel încât în timpul sudării nu se formează încă un regim termic cvasistacionar.

Pentru această perioadă inițială, este utilă exprimarea matematică a cîmpului termic tranzistoriu și utilizînd aceleasi notătii ca și la punctul 2.1.1, se poate scrie în raport cu sistemul fix de coordonate (0, X, Y, Z) următoarea relație [106] :

$$T(X, Y, Z, t) = \int_0^t \frac{2 \cdot q \cdot dt}{c \cdot \rho \cdot (4\pi a t)^{3/2}} \cdot e^{-\frac{(X-vt)^2 + Y^2 + Z^2}{4 \cdot a \cdot t}} ; \quad (3.1)$$

Prin translația față de sistemul mobil de coordonate (o, x, y, z)

$$x = (X - vt); \quad y = Y; \quad z = Z, \text{ în care se notează } x^2 + y^2 + z^2 = r^2$$

se obține relația:

$$T(x, y, z; t) = \int_0^t \frac{2 \cdot q}{c \cdot \rho \cdot (4 \cdot a \cdot t)^{3/2}} \cdot e^{-\frac{r^2}{4 \cdot a \cdot t}} = \frac{2 \cdot q}{c \cdot \rho \cdot (4 \cdot a)^{3/2}} \cdot I; \quad (3.2)$$

în care:

$$I = \int_0^t \frac{dt}{t^{3/2}} \cdot e^{-\frac{r^2}{4 \cdot a \cdot t}}$$

$$\text{Se notează } u^2 = \frac{r^2}{4 \cdot a \cdot t} \text{ deci } t = \frac{r^2}{4 \cdot a \cdot u^2}, \text{ iar } dt = -\frac{r^2}{2 \cdot a \cdot u^3} du$$

$$I = - \int_{\infty}^{\sqrt{\frac{r^2}{4at}}} e^{-u^2} \cdot \frac{(4 \cdot a)^{3/2} \cdot u^3}{r^3} \cdot \frac{r^2}{2 \cdot a u^3} du = + \int_0^{\infty} \frac{4 \sqrt{a}}{r} e^{-u^2} \cdot du$$

$$I = \frac{4 \sqrt{a}}{r} \left( \int_0^{\infty} e^{-u^2} \cdot du - \int_0^{\sqrt{\frac{r^2}{4at}}} e^{-u^2} \cdot du \right)$$

$$I = \frac{4\sqrt{a}}{r} \left[ \frac{\sqrt{\pi}}{2} - \frac{\sqrt{\pi}}{2} \Phi\left(\frac{r}{\sqrt{4at}}\right) \right] = \frac{\sqrt{4\pi a}}{r} \left[ 1 - \Phi\left(\frac{r}{\sqrt{4at}}\right) \right] \text{ în care func-}$$

ția  $\Phi(u) = \frac{2}{\sqrt{\pi}} \int_0^u e^{-t^2} dt$ , este calculată în tabele pentru diferite valori ale variabilei  $u = \frac{r}{\sqrt{4at}}$ .

Prin înlocuirea integralei I în relația (3.2), se obține ecuația cîmpului termic tranzitoriu din perioada inițială de sudare:

$$T(x; y; z; t) = \frac{q}{2\pi\lambda r} \left[ 1 - \Phi\left(\frac{r}{\sqrt{4at}}\right) \right]; \quad (3.3)$$

Determinarea temperaturilor cu această relație se poate efectua în perioada inițială de sudare, iar în perioada următoare, în care cîmpul termic devine cvasistacionar față de sistemul mobil de referință, poate fi aplicată relația 2.2.

Rezultă că pentru calculul duratei perioadei de formare a cîmpului termic cvasistacionar este necesar ca:

$$T(x; y; z; t) = \frac{q}{2\pi\lambda r} \left[ 1 - \Phi\left(\frac{r}{\sqrt{4at}}\right) \right] = \frac{q}{2\pi\lambda r} \cdot e^{-\frac{V}{2a}(x+r)}$$

adică  $1 - \Phi\left(\frac{r}{\sqrt{4at}}\right) = e^{-\frac{V}{2a}(x+r)}$ ; (3.4)

relație din care poate fi determinată valoarea t.

Intrucît relația (3.4) este implicită, cu ajutorul nomogramelor existente [10], [11], se poate determina valoarea timpului t.

Punctele pentru care prezintă interes cunoașterea temperaturii în perioada inițială de tranzitie premergătoare formării cîmpului termic cvasistacionar, sunt situate în zona influențată ter-

mic. În cazul matrițelor încărcate prin sudare s-a constatat experimental că zona influențată termic nu depășește 15 mm, iar coeficientii de difuzabilitate termică a materialului de bază variază între limitele  $a = (4 \div 9) \cdot 10^{-6} \text{ m}^2/\text{s}$ . Tinând seama de aceste particularizări, pe bază valorilor funcției  $\phi(u)$  date în tabele [106], a fost construită nomograma prezentată în fig. 3.6.

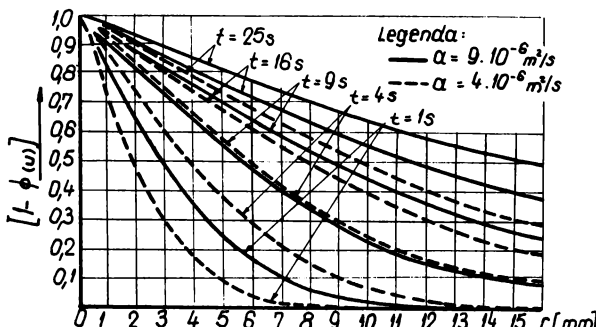


Fig. 3.6. Valorile funcției  $[1 - \phi(u)]$  necesare calculării cimpului termic în perioada inițială, la încărcarea prin sudare a matrițelor.

mică punctiformă și pentru un anumit timp  $t$ , considerat de la amorsarea sursei termice. Prin aceasta, determinarea temperaturilor cu ajutorul relației (3.3) este rapidă.

Temperaturile maxime atinse în punctele situate în zona influențată termic au valori inferioare temperaturii de topire, care în cazul oțelului cu 0,4% C este situată în apropierea valoarii de 1800 K.

Aplicând relația (2.2) recomandată [106] pentru calcularea cimpului termic la sudare, se observă că pentru puncte situate în apropierea zonei de trecere și pentru surse intense de căldură se obțin temperaturi care depășesc temperatura de topire a metalului de bază, ceea ce nu corespunde realității. Aceasta se datorează faptului că în calcule, sursa termică este considerată a fi concentrată într-un punct matematic, pe cind în realitate sursa este finită, având dimensiuni cu atât mai mari cu cât puterea ei este mai mare.

Erorile de calcul care se produc prin această aproximare sunt cu atât mai mici cu cât punctul în care se calculează temperatura este mai îndepărtat de sursa termică.

Cu ajutorul acestei nomograme poate fi determinată valoarea funcției  $1 - \phi(u)$  pentru puncte situate la anumite distanțe  $r$ , față de sursa termică.

1 -  $\phi(u)$  pentru puncte situate la anumite distanțe  $r$ ,

Rezultă că un calcul corect al temperaturii este posibil numai în cazul surselor termice a căror putere este situată sub valoarea limită, dependentă de poziția punctului considerat, de timpul minim începând cu care e necesară cunoașterea temperaturii și de proprietățile termofizice ale materialului sudat.

Considerind temperatura de topire a oțelului 1800 K, se pot particulariza relațiile 3.3 și 2.2 pentru condițiile limită a punctelor din zona de trecere ( $r \rightarrow 0$ ) și se obține:

a). În cazul regimului termic tranzitoriu

$$\lim_{r \rightarrow 0} \frac{q}{2\pi\lambda r} \left[ 1 - \phi \left( \frac{r}{\sqrt{4at}} \right) \right] \leq 1800; \quad (3.5)$$

b). În cazul regimului termic cvasistacionar care nu mai depinde de timp

$$\lim_{r \rightarrow 0} \frac{q}{2\pi\lambda r} = \frac{v}{2a} (x+r) \leq 1800; \quad (3.6)$$

În cazul regimului termic tranzitoriu relația (3.3) poate fi aplicată punctelor situate în vecinătatea zonei de trecere, cu condiția ca sursa termică să fie cît mai concentrată, respectiv valoarea puterii ei să nu depășească anumite valori limite. Aceste valori au fost determinate înăind seama de condiția impusă prin relația (3.5) cu ajutorul căreia au fost trase curbele din fig.3.7, domeniile admise fiind situate sub curbele corespunzătoare. În abscisă este indicată distanța  $r$  [mm] de la punctul în care se calculează temperatura, pînă la zona de trecere a sudurii, iar în ordinată este indicată valoarea puterii sursei termice  $q$  [W]. Curbele au fost trase pentru oțeluri avînd diferite conductivități termice  $\lambda$  [W/m.K]. Se observă că valoarea limită a puterii sursei termice depinde în mai mică măsură de timpul  $t$  la care se calculează temperatura, fiind dependentă de poziția punctului considerat, precum și de conductivitatea termică  $\lambda$  a materialului sudat.

În cazul în care este necesară determinarea cîmpului termic pentru surse termice care depășesc valorile limite date de fig. 3.7, este necesară determinarea unei noi relații de calcul la care sursa termică să fie considerată planară avînd o suprafață finită.

Intrucit incărcarea matrițelor necesită energii de sudare cît mai mici, determinarea acestor relații pentru cîmpul termic la sudare nu prezintă interes.

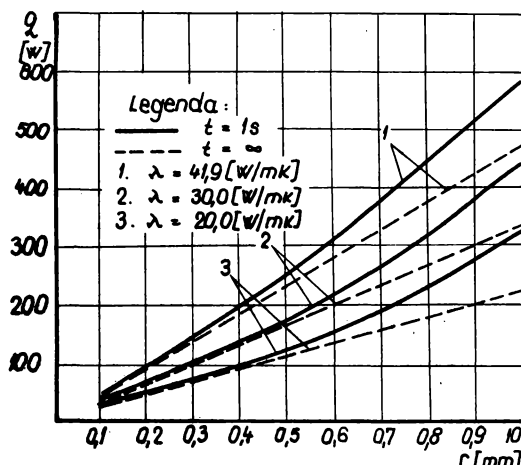


Fig. 3.7. Valori limită ale puterii sursei termice.

poate diminua efectele nedorite ale preincălzirii prezentate la punctul 2.1.3. Exprimarea cantitativă a căldurii care au loc în această situație, se poate face pe baza relațiilor cunoscute [106] adaptate cazului particular, al distribuției inițiale neuniforme a temperaturii pe înălțimea matriței, care se poate observa în fig.3.8. Considerind matrița un corp semiinfinit, pentru punctul curent  $M(r)$  poate fi aplicată relația cunoscută [106] a cîmpului termic:

### 3.2.2. Cîmpul termic la incărcarea prin sudare a matrițelor preincălzite parțial

Din practica tratamentelor termice a matrițelor sunt cunoscute [27] cazurile de incălzire neuniformă la revenire a acestora, în urma căreia se obțin diferențe de duritate recomandate. Pornind de la această idee, au fost efectuate încercări pentru preincălzirea parțială a matrițelor în vederea încărcării prin sudare [12], a cărei utilizare

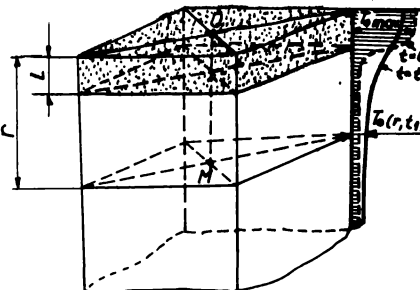


Fig.3.8. Matriță preincălzită parțial

$$T_0(r; t) = \frac{T_{0 \max}}{2} \left[ \phi\left(\frac{r + L}{\sqrt{4 \cdot \alpha \cdot t}}\right) - \phi\left(\frac{r - L}{\sqrt{4 \cdot \alpha \cdot t}}\right) \right]; \quad (3.7)$$

în care funcția  $\phi(u)$  este dată de relația:

$\phi(u) = \frac{2}{\sqrt{\pi}} \int_0^u e^{-u^2} du$ , și este calculată în tabele [106] pentru diferite valori ale variabilei u.

Teoretic relația (3.7) poate fi aplicată tuturor punctelor situate în volumul de material, întrucât sunt neglijate pierderile prin convecție în mediul înconjurător. Practic însă aceste pierderi nu pot fi neglijate, deci relația nu este aplicabilă punctelor aflate pe suprafața laterală a piesei. Reducerea pierderilor prin convecție se poate realiza dacă suprafețele piesei sunt acoperite cu straturi termoizolante. În cazul în care nu este posibilă acoperirea suprafețelor cu materiale termoizolante este necesar să fie introduse în calcule pierderile de căldură prin convecție, care în cazul preîncălzirilor parțiale au o valoare maximă la suprafața superioară a piesei:

În această situație relația (3.7) devine:

$$T_o(r; t) = \frac{T_{o \max}}{2} e^{-bt} \left[ \phi\left(\frac{r + L}{\sqrt{4 \cdot at}}\right) - \phi\left(\frac{r - L}{\sqrt{4 \cdot at}}\right) \right]; \quad (3.8)$$

în care:

$$b = \frac{\alpha \cdot P}{c \cdot \rho \cdot F} \quad [s^{-1}]$$

P este perimetrul suprafeței care se răcește [ $m$ ]

F - mărimea suprafeței care se răcește [ $m^2$ ]

c - căldură specifică [ $J/kg \cdot K$ ]

$\rho$  - masa specifică [ $kg/m^3$ ]

$\alpha$  - coeficient de convecție termică [ $W/m^2 \cdot K$ ]

Prin particularizarea relației (3.7) pentru punctele situate pe suprafața superioară a piesei, unde  $r = 0$ , se obține:

$$T_o(0; t) = T_{o \ max} \cdot \phi\left(\frac{L}{\sqrt{4 \cdot at}}\right); \quad (3.9)$$

Relația (3.9) este dependentă de timp, deci reprezintă un cimp termic nestaționar. Se observă însă că dacă este îndeplinită condiția:

$$\phi\left(\frac{L}{\sqrt{4 \cdot at}}\right) = 1; \quad (3.10)$$

rezultă  $T_o(o; t) = T_{o \max}$ , care se poate menține atât timp cât este satisfăcută relația (3.10).

Din tabele [106] se observă că funcția  $\phi(2,8) = 0,9999 \approx 1,0$  de unde:

$$\frac{L}{\sqrt{4 \cdot a \cdot t}} \geq 2,8$$

iar  $L \geq 5,6 \sqrt{at} ; \quad (3.11)$

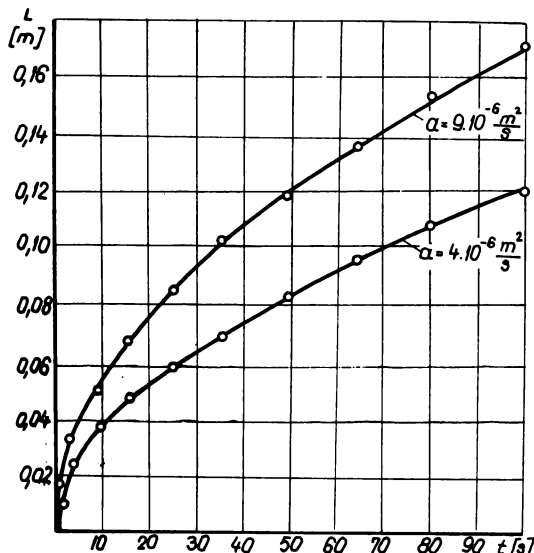


Fig. 3.9. Variatia adâncimii de preincalzire parțială  $L$  pentru menținerea unei temperaturi  $T_{o \max}$ , în zona care va fi încărcată prin sudare.

Rezultă că pentru a menține suprafața piesei la o temperatură  $T_{o \max}$ , un anumit timp  $t [s]$ , nu este necesară încălzirea întregii piese la această temperatură, ci este suficientă încălzirea parțială a piesei pe o adâncime  $L [m]$ , astfel încât să fie îndeplinită condiția (3.11). Valoarea limită a lungimii minime necesare  $L$  dată de relația (3.11), presupune că restul piesei este rece. În realitate datorită conductivității termice a materialului și a faptului că încălzirea portiunii  $L$  nu se face instantaneu, ci

într-un timp finit, gradientul de temperatură pe direcția longitudinală a matriței scade. De aceea zona preîncălzită, își menține temperatura la valoarea dorită un timp mai mare decât timpul calculat cu relația (3.11), ceea ce constituie un avantaj. Reducerea gradientului de temperatură dintre zona preîncălzită și restul matriței, datorită transmiterii căldurii, reduce tensiunile macroscopice

din matriță, ceea ce este de asemenea avantajos.

Determinarea valorilor adâncimii de preîncălzire  $L$ , în funcție de timpul necesar menținerii unei temperaturi de preîncălzire  $T_o \text{ max}$ , se poate efectua cu ajutorul diagramei din fig.3.9.

Avantajele preîncălzirii parțiale față de preîncălzirea totală constau în economie de energie, reducerea timpului necesar pentru încălzire, precum și în posibilitățile de dirijare a ciclurilor termice în timpul sudării.

### 3.2.3. Influenta preîncălzirii parțiale asupra vitezelor de răcire a sudurii

Calculul vitezelor de răcire cu ajutorul relației (2.4) presupune o temperatură inițială constantă a metalului de bază.

In cazul preîncălzirii parțiale a pieselor semiinfinite, temperatura inițială a metalului de bază variază după relațiile (3.7) sau (3.8), astfel încât este necesară obținerea relațiilor corespunzătoare pentru vitezele de răcire în aceste situații. Pentru aceasta se procedează la fel ca și pentru aflarea relației (2.4) și anume se particularizează relațiile cunoscute [106] ale cimpului termic din corpul semiinfit, preîncălzit la temperatura  $T_o$  și supus acțiunii unei surse termice liniare,

$$\Delta T = \frac{q}{2\pi\lambda v t} \cdot e^{-\frac{r^2}{4at}} ; \quad (3.12)$$

pentru punctele  $r = 0$

$$\Delta T = \frac{q}{2\pi\lambda v t} ; \quad (3.13)$$

sau

$$T(0; t) - T_o = \frac{q}{2\pi\lambda v t} ; \quad (3.14)$$

Temperatura  $T_o$  fiind variabilă în cazul preîncălzirii parțiale, iar pentru cazul particular  $r = 0$ , fiind dată de relația (3.9), se obține o nouă formă a relației (3.14).

Derivînd în raport cu timpul relația (3.15), se obține viteza de răcire  $w_r$  [K/s] a punctelor  $r = 0$ , din zona influențată termic, a matriței preîncălzite parțial

$$w_r = \frac{d}{dt} T(0,t) = \frac{d}{dt} \left[ \frac{q}{2\pi\lambda v t} + T_0 \max \cdot \phi \left( \frac{1}{\sqrt{4at}} \right) \right] \text{ sau}$$

$$w_r = - \frac{q}{2\pi\lambda v t^2} - \frac{L \cdot T_0 \max}{t \cdot \sqrt{4at}} \cdot e^{-\frac{L^2}{4at}} ; \quad (3.16)$$

Dacă se notează  $w_1 = - \frac{q}{2\pi\lambda v t^2}$  și  $w_2 = - \frac{L \cdot T_0 \max}{t \cdot \sqrt{4at}} \cdot e^{-\frac{L^2}{4at}}$

se obține

$w_r = w_1 + w_2$ , adică viteza de răcire are două componente dintre care  $w_1$  corespunde schimbului de căldură între sudură și zonele învecinate, iar  $w_2$  corespunde schimbului de căldură între zona preîncălzită și restul piesei.

La punctul 3.2.2. s-a arătat că dacă matrița este preîncălzită parțial pe o adâncime  $L$ , poate fi stabilit timpul pentru care suprafața piesei poate fi considerată că are temperatură constantă, după care are loc răcirea ei cu o viteză de răcire  $w_2$ .

Avînd în vedere că la încărcarea prin sudare a matrițelor  $T$  preîncălzire nu depășește  $T_0 \max = 700$  K [60], iar valorile coeficientului de difuzabilitate termică a oțelurilor aliate, poate fi admis între limitele  $a = (4-9) \cdot 10^{-6}$  [m<sup>2</sup>/s], pentru lungimi de preîncălzire  $L \geq 0,1$  m, vitezele de răcire  $w_2$  sunt situate sub valoarea de 1 K/s.

Rezultă că preîncălzirea parțială în comparație cu preîncălzirea totală a matrițelor nu produce modificări esențiale ale vitezei de răcire a sudurii, respectiv nu înrăutățește calitatea straturilor încărcate prin sudare. Verificările experimentale [121] au confirmat aceste observații. Viteza de răcire a sudurii în cazul matrițelor preîncălzite parțial poate fi deci apreciată cu ajutorul relației:

$$w_r = w_1 = - \frac{q}{2\pi\lambda v t^2} ; \quad (3.17)$$

Determinarea vitezei de răcire în momentul transformării austenitei la răcire se poate efectua prin înlocuirea timpului din relația (3.17), cu timpul critic corespunzător dat [lo6] :

$$t = \frac{q}{2\pi \cdot \lambda \cdot v(T_m - T_o)} ; \quad (3.18)$$

astfel încât se obține relația cunoscută (2.4)

$$w_r = 2\pi \cdot \lambda \cdot \frac{(T_m - T_o)^2}{q/v} ; \quad [K/s]$$

Răzultă că și în cazul preîncălzirii parțiale, viteză de răcire a sudurii poate fi apreciată tot cu ajutorul relației (2.4).

#### 3.2.4. Nomograma de calcul a vitezei de răcire a sudurii

Determinarea rapidă a vitezei de răcire a sudurii se poate efectua cu ajutorul nomogramei prezentată în fig.3.10 construită cu ajutorul relației (2.4), particularizată pentru parametrii de lucru și caracteristicile metalului de bază, specifice încărcării prin sudare a matrigeelor.

Determinarea vitezei de răcire cu ajutorul nomogramei din fig.3.10 se efectuează astfel: considerind că matrigea este preîncălzită la o temperatură figurată prin punctul A din nomogramă, se duce o paralelă la abscisa pînă la intersecția liniei oblice corespunzătoare temperaturii la care este necesară determinarea vitezei de răcire și astfel se obține punctul B. Din acest punct se duce o paralelă la ordonată, pînă la intersecția curbei corespunzătoare energiei liniare utilizate la sudare și conductivități termice a metalului de bază, obținindu-se punctul C. Acestui punct îi corespunde viteză de răcire figurată prin punctul D din nomogramă.

Se observă că nomograma prezentată în fig.3.10 poate fi utilizată și în sens invers, adică dacă se impune o viteză de răcire  $w_r$ , poate fi determinată temperatura de preîncălzire necesară  $T_o$  a metalului de bază.

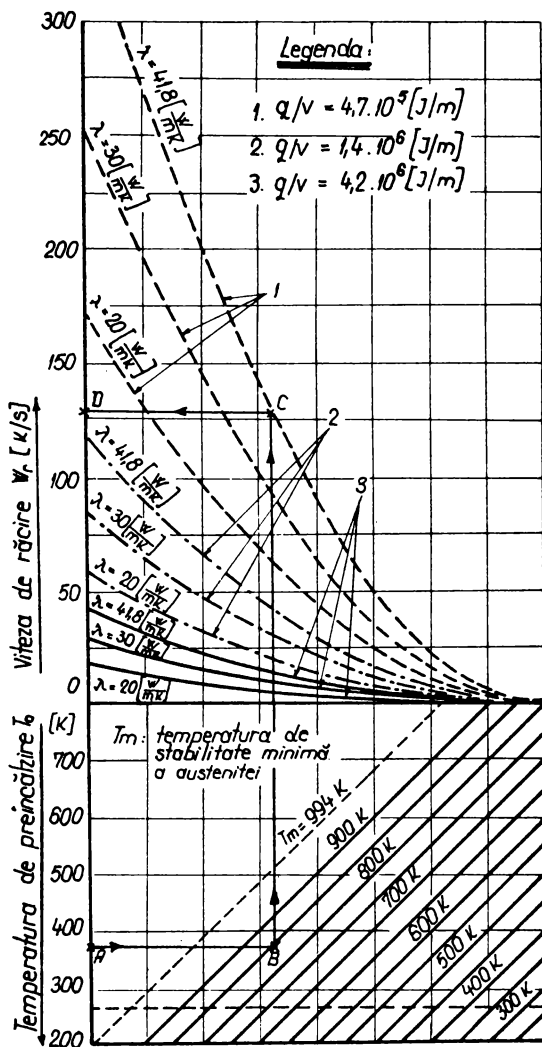


Fig. 3.10. Variatia vitezei de răcire a sudurii în funcție de temperatura de preîncălzire a matritei.

MoCN15 sunt prezentate în fig. 3.11. Se observă că forma ciclurilor termice este influențată de procedeul de sudare aplicat. Diferențele care apar se datorează temperaturilor și schimbările termice diferite, specifice fiecărui procedeu de sudare, care depind de proprietățile

### 3.2.5. Cicluri termice produse în zona influență termică de diferite procedee de încărcare prin sudare

Relațiile prezentate la punctul 2.1 și 3.2 au fost demonstreate pornind de la ipoteza că sursele termice sunt punctiforme, fără a se ține seama de natura surselor termice specifice diferitelor procedee de sudare. Este utilă cunoașterea influenței procedeului, a supra formei ciclurilor termice produse în punctele zonei influență termică atunci cînd în toate cazurile sunt utilizate aceleasi energii liniare. Cu ajutorul aparatului descris la punctul 3.1.1, au fost efectuate măsurători ale temperaturilor în cazul încărcării unui corp semiinfinit prin diferite procedee de sudare, utilizând energie liniară situată în apropierea valorii  $q/v = 5 \cdot 10^5 [\text{J}/\text{m}]$ . Ciclurile termice obținute în cazul oțelului

electrozilor între care se formează arcul electric (W, Fe, electrod invelit, etc) și de proprietățile și cantitatea vaporilor și gazelor existente în spațiul arcului, precum și de peliculele de oxizi sau zgură care acoperă baia metalică. Ciclurile termice au fost trase pentru puncte situate la distanța  $r = 2$  mm de baia metalică, în urma prelucrării datelor experimentale obținute prin înregistrarea temperaturilor din cîmpul termic al sudurii.

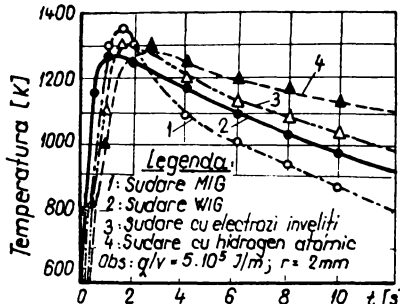


Fig. 3.11. Forma ciclurilor termice pentru diferite procedee de încărcare în punctele situate la distanța  $r = 2$  mm față de sudură.

tă variații, astfel încît este imposibilă amplasarea termocouplelor la o distanță riguros constantă față de baia metalică.

Prin amplasarea a 4 termocouple de Pt-Pt.Rh la distanțe variabile față de limita presupusă a băii metalice, s-au înregistrat concomitent 4 cicluri termice. Punctele în care au fost aplicate termocouplele pentru înregistrarea ciclurilor termice, au fost situate la distanțe care s-au măsurat după solidificarea stratului încărcat. Aceste distanțe au variat între 1 și 11 mm, astfel încât forma ciclurilor termice, pentru punctele situate la 2 mm de baia metalică, a fost trasată prin prelucrarea datelor experimentale obținute și poate fi observată în fig.3.11.

Rezultă că și în cazul încărcării prin sudare a matrlor, la alegerea procedeelor de încărcare este necesară studierea influenței fiecărui procedeu, asupra transformărilor structurale din zona influențată termic, și a influenței asupra formei stratului încărcat și a aderenței acestuia la metalul de bază.

### 3.2.6. Ciclurile termice aplicate otelurilor MoCN15 și VCW85 și proprietățile mecanice corespunzătoare transformărilor structurale la aceste oteluri

Efectele ciclurilor termice asupra otelurilor studiate au fost puse în evidență prin încercări mecanice și prin studiul microstructurii obținute.

Pentru aceasta au fost prelevate probe din oțelul MoCN15 și din oțelul VCW85, având forma și dimensiunile prezentate în fig.

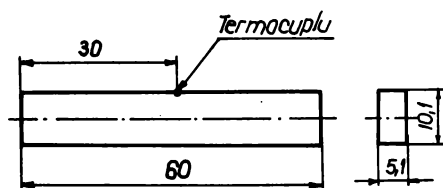


Fig.3.12. Forma și dimensiunile probelor pentru studiul influenței ciclurilor termice.

belor cu ajutorul instalației prezentate la punctul 3.1.3. După răcire, probele au fost prelucrate prin agchiere, pentru obținerea epruvetelor de tracțiune indicate în STAS 200-67 și a epruvetelor pentru încercarea la încovoiere prin soc, indicate în STAS 1400-69.

Microstructura a fost studiată pe suprafața ruptă a epruvetelor, după șlefuire, lustruire și aciacare metalografică cu nital (4%  $HNO_3$  în alcool etilic).

In fig.3.13 sunt reprezentate ciclurile termice la care au fost supuse epruvetele din cele două materiale studiate. Diagramele au fost construite pe baza datelor înregistrate în coordonate polare, pe cadrul potențiometrului electronic descris la punctul 3.1.3.

Dintre toate ciclurile termice studiate, sunt prezentate în figură numai cele care sunt semnificative și care au produs variații ale proprietăților mecanice și ale structu-

rii. In aceeași figură este marcat și locul în care a fost sudat termocuplul cu ajutorul aparatului prezentat la punctul 3.1.2, pentru a înregistra ciclul termic la care a fost supusă fiecare probă. Mai trebuie menționat că acest loc a fost astfel ales, în cît prin prelucrările mecanice ulterioare să fie eliminat. Ciclurile termice au fost aplicate pro-

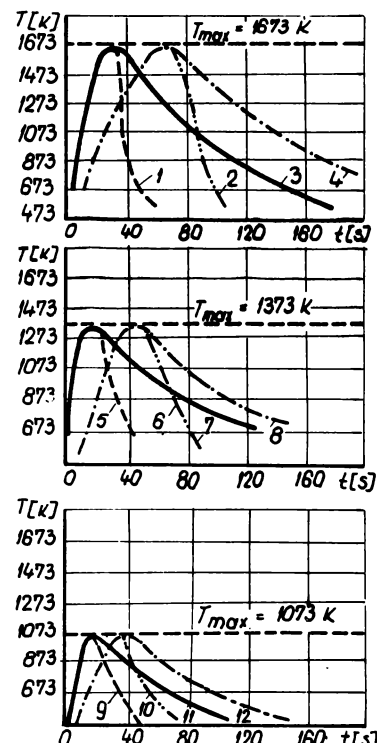


Fig. 3.13. Cicluri termice la care au fost supuse oțelurile studiate.

rii cristaline a epruvetelor cercetate.

Ciclurile termice prezentate pot fi caracterizate prin temperatura maximă atinsă, care a variat de la valorile de 1673 K, la 1373 K și 873 K.

De asemenea unele cicluri cum ar fi ciclurile 1, 3, 5, 7, 9, 11, pot fi caracterizate prin viteza mare de încălzire care se observă că atinge o valoare medie de 45-50 K/s. Ciclurile 2, 4, 6, 8, 10 au viteză de încălzire mai mici a căror valoare medie sunt situate între 25-30 K/s.

Un factor esențial care caracterizează ciclul termic la care este supus un material, este viteza de răcire. Din acest motiv epruvetele au fost răcite de la diferite temperaturi în unele medii de răcire prezentate la punctul 1.5.2. Cele mai semnificative rezultate au fost obținute în cazul răcirii în ulei (curbele 1, 2, 5, 6, 9, 10) și răcirii în aer linistit (curbele 3, 4, 7, 8, 11, 12).

Numărul epruvetelor supuse către unui ciclu dintre cele 12 prezentate în fig.3.13 au fost de 6 și anume, 3 epruvete pentru încercarea de tracțiune și 3 epruvete pentru încercarea de încovoiere prin goc.

In urma ruperii epruvetelor, rezultatele încercărilor au fost sistematizate sub forma de diagrame, pentru a se stabili ciclul termic cel mai defavorabil precum și ciclul termic optim.

In fig.3.14 și fig.3.15 sunt prezentate valorile medii obținute în urma încercărilor mecanice pe epruvete din oțelul MoCN15 respectiv VCW85, care au fost supuse ciclurilor termice, având temperatură maximă, viteza de încălzire și viteza de răcire diferită. Din aceste figuri se observă că în cazul ambelor oțeluri și indiferent de temperatură maximă a ciclului, scade rezistența la rupere și reziliență, atunci când materialele au fost încălzite rapid și au fost răcite lent (ciclurile 3, 7, 11). De asemenea se mai observă că valorile cele mai favorabile ale rezilienței și ale rezistenței mecanice au fost obținute în cazul materialelor încălzite lent și apoi răcite rapid (ciclurile 2, 6, 10).

Microstructura oțelurilor MoCN15 și VCW85 supuse la diferite cicluri termice a fost cercetată în cazul tuturor epruvetelor rupte și cele mai semnificative au fost obținute în cazul temperaturilor maxime de încălzire ( $T = 1673$  K).

Dintre acestea sunt prezentate microstructurile oțelului MoCN15 în fig.3.16-3.19 și ale oțelului VCW85 în fig.3.20-3.23.

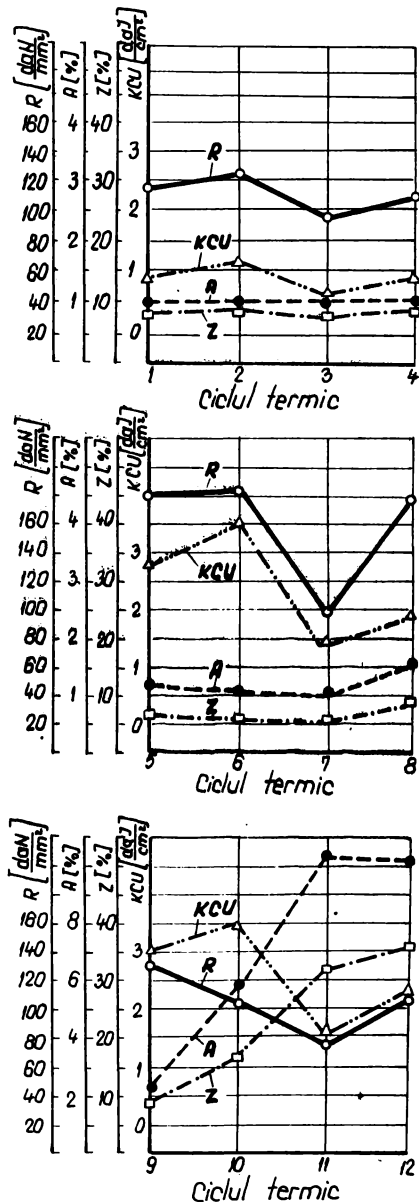
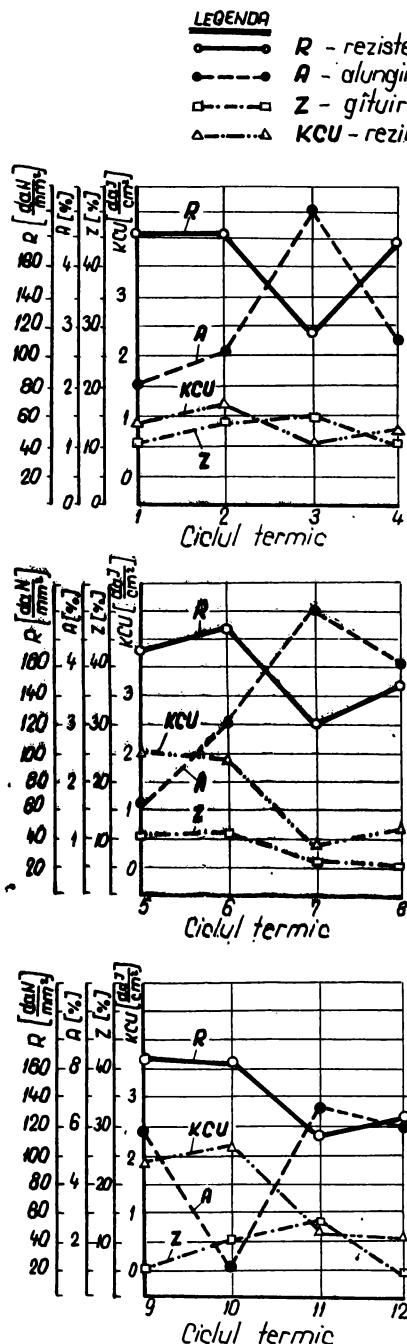
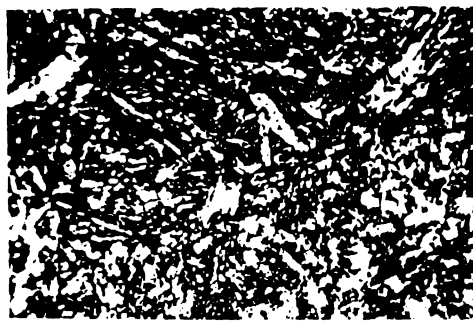


Fig. 3.14. Variatia proprietăților mecanice ale oțelului  $M_6CH15$  în funcție de ciclul termic la care a fost supus.

Fig. 3.15. Variatia proprietăților mecanice ale oțelului  $VEW65$  în funcție de ciclul termic la care a fost supus.

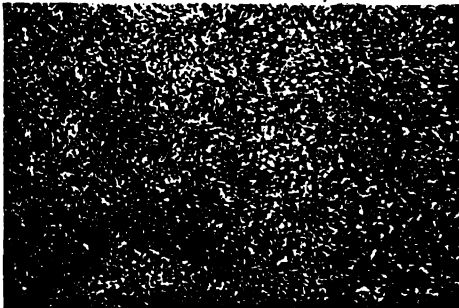


a - 250 : 1 Atac:Nital



b - 1000 : 1 Atac:Nital

Fig. 3.16. Microstructura oțelului MoCN15 supus ciclului termic 1 (încălzire rapidă la temperatură de 1673 K, urmată de răcire rapidă)

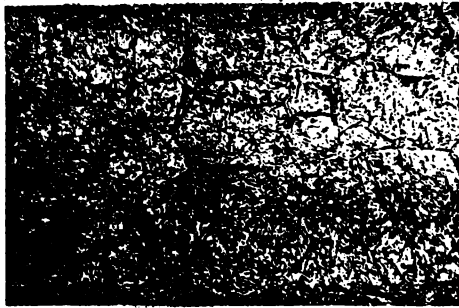


a - 250 : 1 Atac:Nital

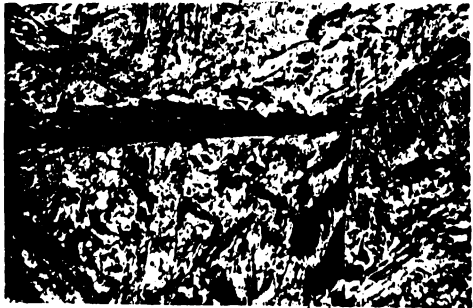


b - 1000 : 1 Atac:Nital

Fig. 3.17. Microstructura oțelului MoCN15 supus ciclului termic 2 (încălzire lentă la temperatură de 1673 K, urmată de răcire rapidă)

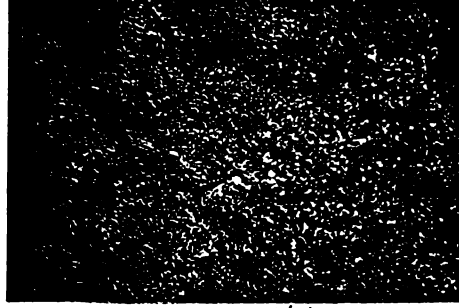


a - 250 : 1 Atac:Nital

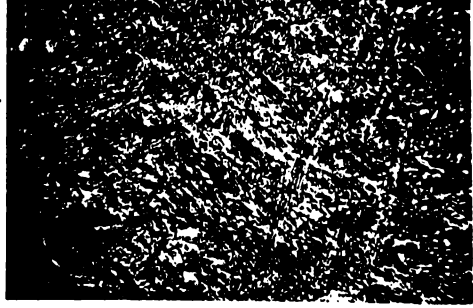


b - 1000 : 1 Atac:Nital

Fig. 3.18. Microstructura oțelului MoCN15 supus ciclului termic 3 (încălzire rapidă la temperatură de 1673 K, urmată de răcire lentă)

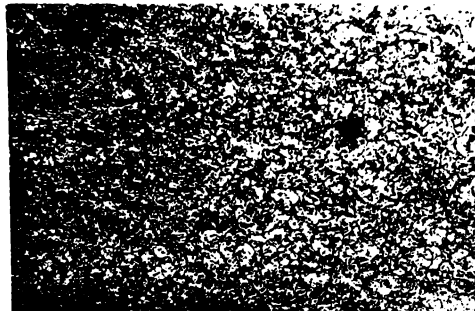


a - 250 : 1 Atac:Nital



b - 1000 : 1 Atac:Nital

Fig. 3.19. Microstructura oțelului MoCN15 supus ciclului termic 4 (încălzire lentă la temperatură de 1673 K, urmată de răcire lentă)

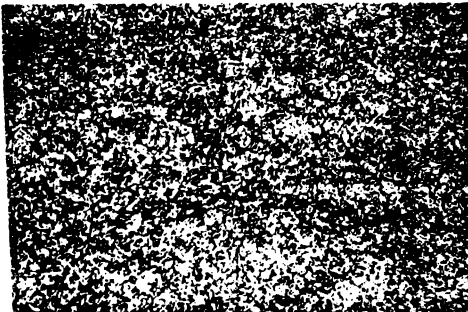


a - 250:1 Atac: Nital



b - 1000:1 Atac: Nital

Fig. 3.20. Microstrucutra oțelului VCW85 supus ciclului termic 1 (încălzire rapidă la temperatură de 1673 K, urmată de răcire rapidă).



a - 250:1 Atac: Nital



b - 1000:1 Atac: Nital

Fig. 3.21. Microstrucutra oțelului VCW85 supus ciclului termic 2 (încălzire lentă la temperatură de 1673 K, urmată de răcire rapidă).

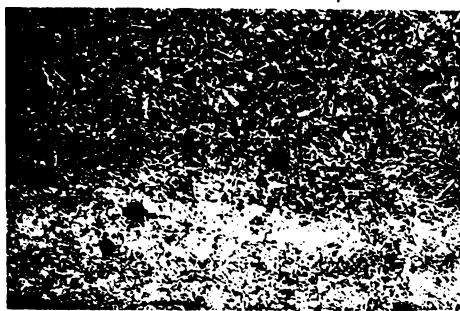


a - 250:1 Atac: Nital



b - 1000:1 Atac: Nital

Fig. 3.22. Microstrucutra oțelului VCW85 supus ciclului termic 3 (încălzire rapidă la temperatură 1673 K, urmată de răcire lentă).



a - 250 Atac: Nital



b - 1000:1 Atac: Nital

Fig. 3.23. Microstrucutra oțelului VCW85 supus ciclului termic 4 (încălzire lentă la temperatură 1673 K, urmată de răcire lentă)

Astfel în fig.3.16 se observă microstructura oțelului MoCN15 încălzit rapid la temperatura 1673 K și răcît rapid după ciclul 1 din fig.3.13. Structura este martensitică și conține cantități destul de însemnate de austenită reziduală (aproximativ 15%), ceea ce este destul de periculos datorită transformărilor ulterioare pe care le suferă austenita reziduală.

In cazul oțelului MoCN15 încălzit lent pînă la temperatura de 1673 K și răcît rapid după ciclul 2 din fig.3.13 se obține structura prezentată în fig.3.17. Masa de bază este martensitică ( $HV = 657$ ) avind și austenită reziduală. Se observă o distribuție uniformă a austenitei în masa de bază a martensitei care este deosebit de fină.

Oțelul MoCN15 poate prezenta o structură fragilă aciculară (fig.3.18) atunci cînd este încălzit rapid, iar răcirea se produce cu viteză redusă (după ciclul 3 din fig.3.13). Aceste structuri trebuie evitate, întrucât neomogenitățile care apar pot fi centre de amorsare a fisurilor în timpul funcționării cu gocuri a matrițelor.

Acest lucru a fost observat și în practică în cazul matrițelor încărcate cu viteză mare de sudare și avînd temperaturi ridicate de preîncălzire, cînd sub acțiunea eforturilor dinamice se produce exfolierea stratului încărcat, datorită fisurării zonei influențate termic. Structurile acestor zone au fost asemănătoare celei prezентate în fig.3.18.

Oarecare omogenizare a structurii oțelului MoCN15 se poate observa din fig.3.19 care a fost obținută în urma încălzirii și a răcirii oțelului cu viteză reduse (curba 4 din fig.3.13). Structura este tot martensitică ( $HV = 619$ ), cu conținut de austenită reziduală (aproximativ 10%).

Si în cazul ciclurilor termice avînd punctele maxime de temperatură cu valori sub 1673 K (ciclurile 5-12 din fig.3.13) transformările structurale sunt influențate în același fel de forma ciclului termic, dar sunt mai puțin semnificative.

Aceleasi cicluri termice aplicate oțelului VCW85, au produs modificări structurale caracteristice.

Astfel în fig.3.20 se observă microstructura oțelului VCW85 încălzit rapid la temperatura 1673 K și răcît rapid după ciclul 1 din fig.3.13.

Structura este de asemenea martensitică ( $HV = 523$ ) avînd

austenită reziduală și carburi fin dispersate. Aspectul poligonal al cristalelor care apare în cazul grosimentului 1000:1, indică o tendință de fragilitate, datorită neomogenității care apare între marginea și mijlocul cristalelor.

In cazul oțelului VCW85 încălzit lent pînă la temperatura 1675 K și răcît rapid după curba 2 din fig.3.13, se obține structura prezentată în fig.3.21. Masa de bază este martensitică (HV = 539) conținând carburi fin dispersate și austenită reziduală. Structura este mult mai omogenă decît în cazul precedent, ceea ce se manifestă favorabil și asupra rezistenței la rupere și a rezilienței, care scad în mai mică măsură (fig.3.15).

Cea mai pronunțată neomogenitate a structurii apare în cazul încălzirii rapide a oțelului VCW85 la temperatura de 1675 K, urmată de o răcire cu viteză redusă (ciclul 3 din fig.3.13).

Astfel în fig.3.22 apare o cantitate însemnată de austenită reziduală (peste 10%), în masa de martensită, în care mai există și carburi nedizolvate. Repartiția și forma carburilor se observă mai bine la grosimentul 1000:1.

Această structură trebuie evitată, deoarece îi corespund și proprietăți mecanice cu valori reduse (fig.3.15).

Prin încălzire și răcire cu viteză redusă a oțelului VCW85 la temperatura de 1673 K (ciclul 4 din fig.3.13) se obține o oarecare omogenizare a structurii cristaline (fig.3.23) față de cazul încălzirii rapide.

Aceasta ameliorare se datorează încălzirii care durează o perioadă mai mare de timp, în care se poate produce o oarecare omogenizare a compozitiei chimice, prin difuzie termică. Structura astfel obținută nu prezintă fisuri, întrucât viteza de răcire este redusă și se obțin cristale poliedrice destul de omogene, care se observă în fig.3.23 la grosimentul 1000:1. Fondul este martensitic și conține zone de austenită reziduală și carburi greu fuzibile, având o repartitie relativ uniformă. Proprietățile mecanice corespunzătoare acestei structuri a oțelului VCW85 au valori medii, ceea ce s-a observat și în cazul oțelurilor supuse celorlalte cicluri termice de același tip, la care temperatura maximă a avut valori sub 1673 K (ciclurile 7 și 11 fig.3.15).

**3.3. Concluzii asupra ciclurilor termice aplicate oțelurilor MoCN15 și VCW85**

Proprietățile mecanice și structura oțelurilor MoCN15 și VCW85 sunt influențate în mod asemănător de forma ciclurilor termice la care au fost supuse.

Astfel ciclurile termice care provoacă o modificare pronunțată a microstructurii și o scădere maximă a proprietăților mecanice, sunt acele cicluri la care viteza de încălzire are valori ridicate (peste 150 K/s), iar viteza de răcire are valori reduse (sub 10 K/s).

Ciclurile termice care prezintă cea mai redusă influență asupra microstructurii și asupra proprietăților mecanice ale oțelurilor încercate, sunt acele cicluri la care viteza de încălzire are valori mai reduse (sub 40 K/s), iar viteza de răcire are valori mai ridicate (peste 50 K/s). Vitezele mari de răcire nu sunt însă indicate în cazul acestor oțeluri, datorită tensiunilor interne pe care le produc, chiar dacă prezintă avantaje în ceea ce privește finisarea granulației.

Viteza de încălzire a unui punct situat pe suprafața care va fi încărcată prin sudare, este cu atât mai mică cu cît arcul electric se apropie mai mult de punctul considerat și cu cît conductivitatea termică a materialului este mai redusă.

Deci reducerea vitezei de încălzire pentru un anumit oțel se poate realiza prin reducerea vitezei de sudare la valori minime. În acest caz crește energia liniară respectiv posibilitatea de supraîncălzire a metalului de bază.

Pentru preîmpinarea supraîncălzirilor care pot avea loc în cazul sudării cu viteze reduse de sudare, este indicată reducerea energiei liniare, prin reducerea intensității de curent respectiv a micșorării diametrului electrodului de sudare.

Pericolul de fisurare, care crește în acest caz, poate fi micșorat utilizând preîncălzirea, sau încălzirea ulterioră a metalului de bază, prin care, viteza de răcire poate fi dirijată între limitele dorite.

Rezultă că în cazul încărcării prin sudare a matrițelor din oțeluri MoCN15 sau VCW85, nu este indicată sudarea prin procedee de mare productivitate, ci sudarea electrică manuală, sudarea wolfram Inert-Gaz, sau sudarea prin inducție.

#### 4. CERCETARI PRIVIND TEHNOLOGIA INCARCARII PRIN SUDARE A OTELURILOR MoCN15 si VCW85

Tinând seamă de sudabilitatea redusă a oțelurilor MoCN15 și VCW85, au fost efectuate cercetări pentru stabilirea condițiilor optime de încărcare prin sudare a matrițelor construite din aceste oțeluri, cu scopul obținerii unor scule cu durabilitate cît mai mare. Au fost studiate posibilitățile de preîncălzire a matrițelor în vederea sudării, și au fost comparate efectele diferitelor procese de sudare, având parametrii variabili, asupra formei și calității straturilor încărcate.

##### 4.1. Adaptarea și realizarea unor utilaje în vederea încărcării prin sudare a matrițelor din oțel MoCN15 și VCW85

###### 4.1.1. Dispozitiv pentru poziționarea sudurii

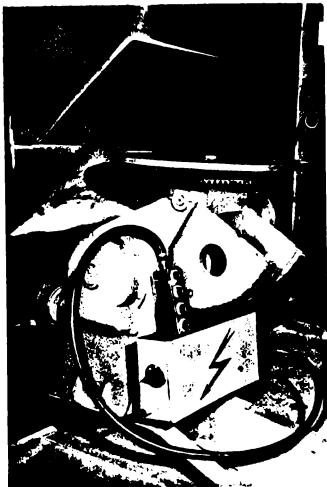


Fig. 4.1. Dispozitiv pentru poziționarea sudurii

Având în vedere dimensiunile relativ mari ale matrițelor pentru deformări plastice la cald și configurația variată a cavităților, a fost proiectat și executat un dispozitiv pentru poziționarea sudurii, astfel încât să fie evitată sudarea de poziție.

Dispozitivul prezentat în fig.4.1 a fost proiectat pentru o greutate a sarcinii de 500 kg, având posibilități de rotire cu un unghi de  $\pm 360^\circ$  în jurul axului vertical.

Concomitent cu rotirea sau în mod independent, dispozitivul permite înclinarea mesei de lucru cu un unghi de

$+30^\circ$  pînă la  $-120^\circ$ , astfel încît este accesibilă orice parte a matriței, cu excepția suprafeței de sprijin.

#### 4.1.2. Dispozitive pentru preîncălzirea matrițelor în vede- rea încărcării prin sudare

Tinind seamă de avantajele preîncălzirii parțiale prezente la punctul 3.2.2 și 3.2.3, precum și de gabaritul blocurilor de matrițe, au fost utilizate dispozitive de încălzire prin rezistență electrică, dispozitive de încălzire prin inducție, și dispozitive de încălzire cu flacără gaz metan-aer.

Temperaturile maxime pe care trebuie să le atingă matrițele încălzite cu aceste dispozitive, determinate prin calcul cu relațiile prezentate la punctul 2.1.3, ajung la valoarea de 580 K în cazul oțelului MoCN15 și 710 K în cazul oțelului VCW85. Dispozitivele de încălzire experimentate au fost adaptate unor game de dimensiuni ale matrițelor având laturile cuprinse între 0,1-0,4 m.

#### 4.2.1. Dispozitiv de încălzire prin rezistență electrică

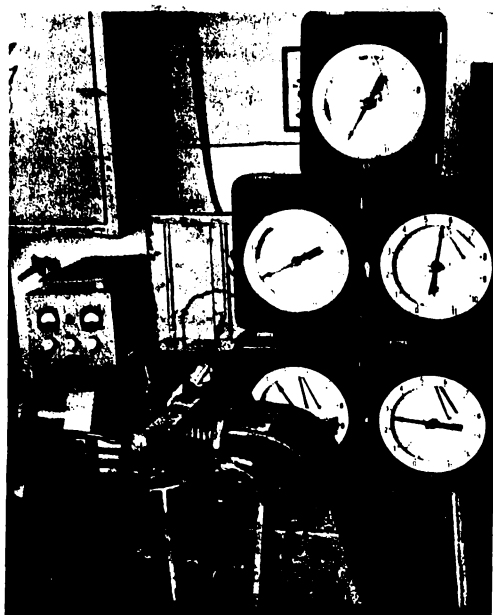


Fig. 4.2. Instalație pentru preîncălzirea parțială a matrițelor prin rezistență electrică.

Cu ajutorul dispozitivului de încălzire prin rezistență de contact, matrița ajunge la temperatură necesară pe baza efectului Joule produs de trecerea curentului prin piesă.

Curentul electric necesar încălzirii și automatizarea operației de încălzire și de menținere la temperatură constantă, s-a obținut cu ajutorul instalației prezentate în fig. 3.4, la care dispozitivul de prindere a epruvetelor a fost înlocuit cu electrozi de contact din cupru răciți cu apă (debitul apei fiind de 20 l/min).

Încercările de preîncălzire au fost efectuate cu electrozi de cupru, având suprafața de contact de  $0,015 \times 0,100 \text{ m}^2$  și  $0,015 \times 0,400 \text{ m}^2$ .

Strângerea matriței între electrozii de cupru s-a realizat cu ajutorul unui dispozitiv pneumatic. Pentru valorile medii ale presiunilor de contact peste  $4 \text{ daN/cm}^2$ , diferențele de temperatură dintre diferitele puncte de contact pot fi neglijate.

In fig.4.2 se observă instalația de încălzire prin rezistență electrică, și potențiometrele electronice EPD-12 GOST 7161-58, utilizate pentru înregistrarea temperaturii în diferitele zone ale matriței.

Pentru studierea modului de încălzire și a variației cîmpului termic al matrițelor preîncălzite electric, au fost alese două modele, cu și fără gravură. Lățimea electrodului de contact s-a adoptat egală cu adâncimea gravurii.

Curentul continuu pentru comanda puterii transformatorului de încălzire, a fost reglat la valoarea de 5 A, fără de valoarea maximă de 25 A, pentru reducerea puterii instalăției, respectiv a vitezei de încălzire a matriței.

Considerind că

timpul  $t = 0$ , în momentul în care s-a inceput încălzirea prin cuplarea instalației, cîmpul termic la încălzire a variat așa cum se observă în fig.4.3.

Analizînd cele două diagrame se observă că pentru parametrii experimentați, încălzirea electrică este neuniformă, datorită rezistenței de contact, care este mai mare decît rezistența materialului.

In timpul încălzirii au apărut pe suprafața matriței, culorile de revenire specifice oțelurilor încălzite.

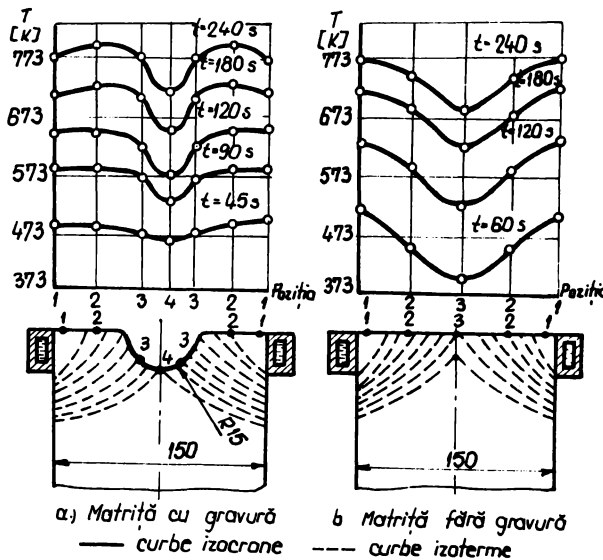


Fig. 4.3. Cîmpul termic al matrițelor preîncălzite electric, determinat experimental.

Prin aceasta cîmpul termic a fost pus în evidență, iar izotermele sunt curbele cu raza de curbură îndreptată spre suprafața electrodului. Configurația izotermelor, în timpul încălzirii electrice prin rezistență, este schematizată pe suprafața matriței în fig. 4.3.

Prin micșorarea presiunii de contact sub valoarea cu care s-au efectuat încercările, sau prin mărirea puterii transformatorului de încălzire, apar diferențieri și mai pronunțate între marginea și mijlocul matriței.

Este deci necesară fie o mărire a presiunii de contact peste valoarea de  $4 \text{ daN/mm}^2$ , care ar conduce în cazul matrițelor mari, la dimensiuni și greutăți proprii mari a dispozitivelor, fie o încălzire intermitentă, caz mult mai ușor de realizat practic.

Astfel utilizând aceeași parametri ca și în cazul determinărilor precedente, dar alternând perioadele de încălzire de 60 s

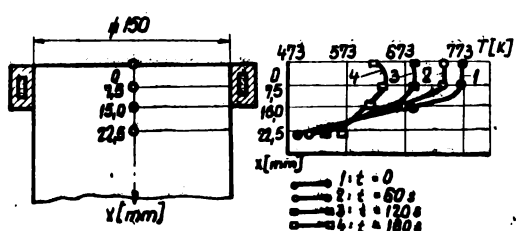


Fig. 4.4. Cîmpul termic la răcire a unei matrițe preîncăzite parțial prin rezistență electrică.

de-a lungul axului vertical, după întreruperea completă a curentului de încălzire, obținindu-se cîmpul termic la răcire prezentat în fig.4.4.

Se observă că temperatura suprafeței matriței prefîncăzite prin rezistență electrică, cu ajutorul electrozilor de cupru, având lățimea de  $0,015 \text{ m}$ , scade în primul minut după oprirea curentului cu aproximativ  $30 \text{ K}$ .

Dacă operația de sudare este mai îndelungată, pot fi trimise la intervale regulate de timp, impulsuri de curent, care să compenseze pierderile de căldură și să mențină temperatura între limitele impuse tehnologic.

Gradientul de temperatură de-a lungul axului vertical,

cu pauze de  $30 \text{ s}$ , a fost atinsă temperatură medie de  $773 \text{ K}$  după  $480 \text{ s}$ . Diferența de temperatură dintre punctele marginale și punctele centrale ale suprafeței matriței au scăzut la valoarea de  $10-15 \text{ K}$ , în acest caz.

Au fost determinate și temperaturile matriței

care apare în cazul preîncălzirii parțiale a matrițelor este maxim în perioada de încălzire (după atingerea temperaturii maxime) și are valoarea medie de  $20 \text{ K/mm}$ , care este însă inferioară valorilor gradientilor care apar în timpul explotării matrițelor pentru prelucrări la cald. Rezultă că tensiunile macroscopice care se datoresc încălzirii neuniforme a matrițelor preîncălzite parțial, nu sunt periculoase.

#### **4.1.2.2. Dispozitiv de încălzire prin inducție**

Stabilirea frecvenței curentului în cazul încălzirii inductive a matrițelor a fost efectuată în funcție de particularitățile dimensionale ale acestora și de posibilitățile de realizare a unor instalații ieftine și eficiente. Frecvența curentului de  $50 \text{ Hz}$  satisface aceste cerințe, ea fiind utilizată și în alte situații de încălzire a unor piese masive [170].

Curentul de încălzire a fost produs cu ajutorul transformatorului de sudare reglat în curent continuu [54], a cărui schemă de principiu este prezentată în fig. 3.4.

Pentru realizarea încălzirii în regim inductiv, în circuitul secundar al transformatorului a fost cuplat dispozitivul de încălzire, care este prezentat în fig. 4.5.

Dispozitivul de încălzire de tip inductor, este format din mai mulți conductori flexibili paraleli 1, introdusi în tuburi de cauciuc 2, având asigurată răcirea cu apă.

Pentru reducerea pierderilor de căldură și pentru protejarea tuburilor de cauciuc, matrița a fost acoperită cu plăcile de azbest având grosimea  $g = 5 \text{ mm}$ .

Toate piesele componente ale inductorului au fost execuțate din cupru, sau alamă, pentru evitarea încălzirilor suplimentare.

Secțiunea minimă totală a conductorilor paraleli de cupru

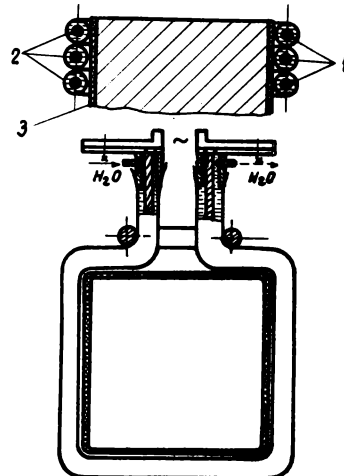


Fig. 4.5. Dispozitiv de încălzire prin inducție

s-a ales egală cu secțiunea înfășurării secundare, a cărei mărime are valoarea  $1,2 \cdot 10^{-3} \text{ m}^2$ .

Inductorul executat din conductori flexibili de cupru prezintă avantajul adaptării sale la diferite dimensiuni și forme de matrițe, precum și la dispunerea lui pe porțiuni de lungimi variabile, în vederea încălzirii parțiale a matrițelor. Dezavantajul principal pe care îl prezintă inductorul multifilar, este deteriorarea ușoară a furtunului de cauciuc prin care trece apa de răcire, dacă piesa nu este bine protejată cu plăcile izolatoare de azbest. Repartiția temperaturii la suprafața matriței, după 15 minute de încălzire inductivă, este prezentată în fig. 4.6.

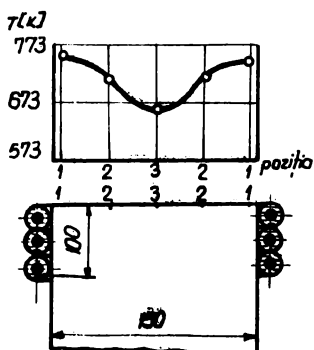


Fig. 4.6. Repartiția temperaturii în punctele de pe suprafața matriței după 10 min. de încălzire inductivă

Se observă și în acest caz neuniformitatea încălzirii, care poate fi diminuată prin cuplări și decuplări succesive ale transformatorului de încălzire, la fel ca și în cazul încălzirii prin rezistență electrică. Currentul de premagnetizare din înfășurarea de comandă a transformatorului a fost reglat la valoarea de 20 A.

Cu toate acestea, timpul de încălzire a crescut în cazul încălzirii inductive față de încălzirea prin rezistență, cu aproximativ 100%, datorită pierderilor mai mari de energie.

#### 4.1.2.3. Dispozitiv de încălzire cu flacără

Preîncălzirea matrițelor în vederea încărcării prin sudare poate fi realizată și cu ajutorul dispozitivelor de încălzire cu flacără gaz metan-aer. Asemenea dispozitive sunt răspândite în secțiile de deformări plastice la cald, unde sunt utilizate pentru încălzirea matrițelor înainte de exploatare.

Dispozitivele destinate prefîncălzirii matrițelor în vederea încărcării prin sudare trebuie să asigure o temperatură cît mai uniformă a suprafeței încălzite, ceea ce impune un număr cît mai mare de orificii de ardere ale arzătorului și un diametru cît mai redus al acestora. Având în vedere că presiunea gazului metan din rețeaua de alimentare este insuficientă pentru învingerea rezistențelor de scurgere,

prin orificiile de ardere, a fost proiectat un arzător cu injector, care a înlăturat acest inconvenient. Arzătorul este format dintr-o rețea de țevi de oțel, dintre care unele pot fi obturate cu robinete, astfel încât suprafața incălzită sau energia specifică să poată fi variate în funcție de necesități. Distanța dintre arzător și piesă poate fi reglată cu ajutorul unor suporturi cu înălțime variabilă.

De asemenei s-au realizat seturi de diuze interschimbabile, cu orificii de diametre diferite.

Avantajul principal al dispozitivului de încălzire cu flacără gaz metan-aer este simplitatea și ușurința de manevrare.

Utilizarea dispozitivelor de încălzire cu flacără prezintă însă dezavantaje, printre care pot fi amintite următoarele:

- Neuniformitatea temperaturii pe suprafața matriței și încălzirea excesivă a proeminențelor datorită devierii gazelor fierbinți, în jurul acestora, prin efect Coandă.

- Posibilități reduse de control a temperaturii pe suprafața piesei în timpul încălzirii, datorită supraîncălzirii termocouplelor, a căror protecție împotriva gazelor se realizează dificil.

- Nu este posibilă încălzirea suprafeței matriței concomitant cu efectuarea operațiilor de încărcare prin sudare.

Nici unul dintre acestea dezavantaje nu este întărit în cazul preîncălzirii prin procedeele electrice.

Având în vedere observațiile amintite, în toate cazurile studiate au fost efectuate preîncălziri prin procedeele de încălzire electrică.

#### 4.2. Influenta energiei liniare și a procedeului utilizat la încărcarea prin sudare a matrițelor asupra geometriei straturilor încărcate

Energia liniară este un factor important care influențează forma și calitatea straturilor încărcate prin sudare.

Numerosele cercetări din acest domeniu se referă în majoritatea cazurilor la energiile liniare specifice unui singur procedeu de sudare [24], [32], [70], [10], [14].

Fiecare procedeu de sudare este caracterizat prin parametrii de lucru, dintre care unii sunt comuni tuturor procedeelor (De ex: Intensitatea curentului de sudare, tensiunea arcului și viteza de

sudare, care pot fi reunite în energia liniară), iar alții sunt specifici fiecărui procedeu (De ex: debitul de gaz protector, viteza de înaintare a sărmei electrod).

Energia liniară, ca parametru comun tuturor procedeelor de sudare cu arc electric, are domenii de variație cu limite largi, specifice fiecărui procedeu. Prin intersecția acestor mulțimi se obține un domeniu de variație comun, în care energia liniară poate să aparțină mai multor procedee de sudare. Utilizând următoarele notătii pentru mulțimile corespunzătoare domeniilor de variație a energiei liniare

A: pentru sudarea cu electrozi înveliți

B: pentru sudarea wolfram Inert Gaz

C: pentru sudarea Metal Inert Gaz

și considerind ca limite uzuale următoarele valori:

$$A = (5-15) \cdot 10^5 \text{ J/m}; \quad B = (10-20) \cdot 10^5 \text{ J/m}; \quad C = (5-25) \cdot 10^5 \text{ J/m}$$

se obține

$A \cap B \cap C = (10-15) \cdot 10^5 \text{ J/m}$ , care poate fi admis ca interval comun pentru valorile energiei liniare, în cazul procedeelor de încărcare amintite.

Au fost efectuate încărcări prin sudare prin aceste procedee, cu energii liniare având valori cît mai apropiate de intervalul stabilit, sudurile fiind executate într-un singur strat.

Epruvetele utilizate au avut formă prismatică cu suprafață de  $200 \times 100 \text{ mm}^2$  și grosimea de 15 mm, atât pentru oțelul MoCN15 cît și pentru oțelul VCW85.

După secționarea transversală a epruvetelor încărcate, au fost stabilite dimensiunile caracteristice ale straturilor încărcate și mărimea zonelor influențate termic. Prin prelucrarea datelor experimentale, obținute în urma măsurătorilor a trei secțiuni corespunzătoare aceluiași strat încărcat, au fost trase diagramele prezentate în fig.4.7-4.10.

Analizând fig.4.7 și fig.4.8, se observă că adâncimea de pătrundere  $h_p$ , respectiv lățimea B a straturilor încărcate prin sudare, depind atât de energia liniară, cît și de procedeul de sudare aplicat. Cele mai reduse valori ale adâncimii de pătrundere au

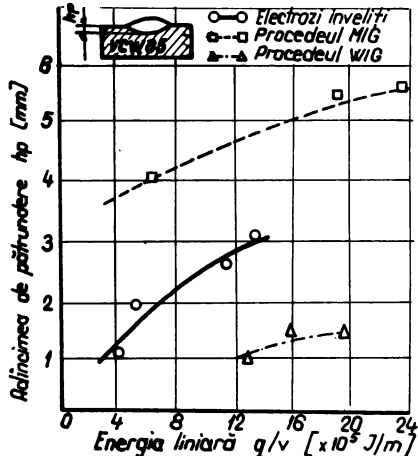


Fig. 4.7. Variatia adîncimii de pătrundere  $hp$  a straturilor încărcate prin sudare pe oțel VEW 85, în funcție de energia liniară.

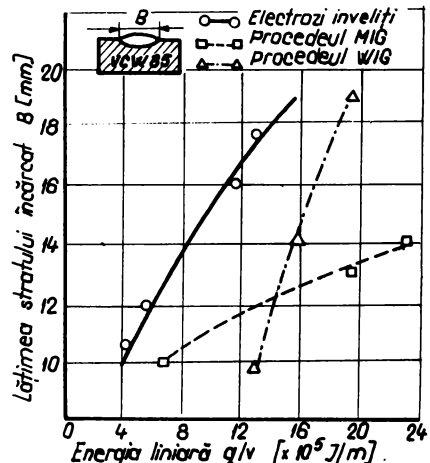


Fig. 4.8. Variatia lățimii  $B$  a straturilor încărcate prin sudare pe oțel VEW 85, în funcție de energia liniară.

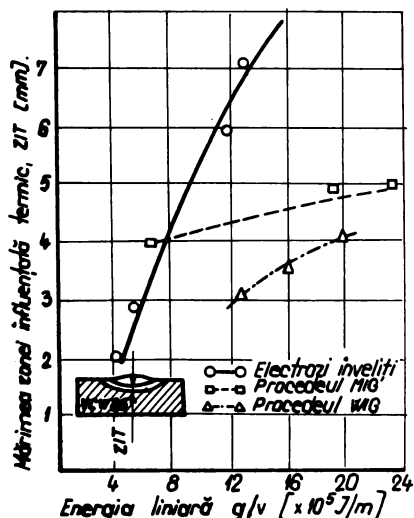


Fig. 4.9. Variatia mărimei zonei influență termică ZIT în cazul încărcării prin sudare a oțelului VEW 85

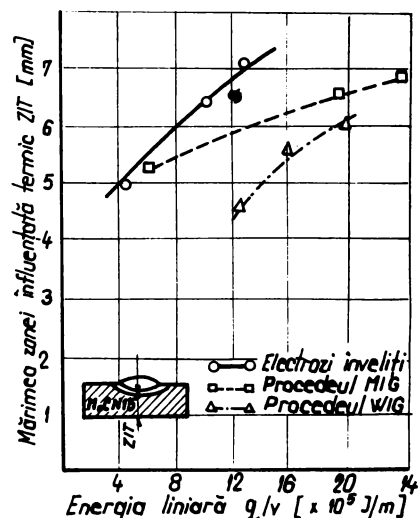


Fig. 4.10. Variatia mărimei zonei influență termică ZIT în cazul încărcării prin sudare a oțelului MoCN15.

fost obținute în cazul procedeului WIG, iar valorile cele mai mari ale lățimii B au fost obținute în cazul procedeului cu electrozi înveliți. Aceleasi măsurători au fost efectuate și pe epruvete din oțel MoCN15, dar întrucât rezultatele privind lățimea B și adâncimea de pătrundere  $h_p$  sunt asemănătoare, nu este necesară prezenta lor.

Calitatea metalului de bază influențează însă mărimea zonei influențate termic. Astfel din fig.4.9 și fig.4.10 se observă că zona influențată termic este mai redusă în cazul oțelului VCW85 față de oțelul MoCN15, pentru aceleasi valori ale energiei liniare, corespunzătoare unui anumit procedeu de sudare. Aceasta poate fi explicată prin scăderea conductivității termice și prin creșterea stabilității termice a oțelului, odată cu creșterea conținutului de wolfram, despre care s-a mai amintit la punctul 1.3.1.

Din fig.4.7, 4.8, 4.9, 4.10, se observă că parametrii geometrici ai straturilor încărcate prin sudare, corespunzători unei anumite energii liniare constante, depind de procedeul de sudare aplicat. Rezultă că stabilirea condițiilor limită admise în capitolul 3.2, pentru determinarea cîmpului termic, în zonele din apropierea arcului electric este justificată, întrucât relațiile teoretice ale cîmpului termic nu țin seamă de procedeul de sudare, ci numai de energia liniară.

Determinările experimentale prezentate arată că, zona influențată termic, care poate fi considerată ca o materializare a imaginii cîmpului termic, depinde nu numai de energia liniară ci și de procedeul de sudare adoptat. Aceasta prezintă o importanță teoretică, pentru aplicarea corectă a relațiilor cîmpului termic în punctele situate în zona de trecere și în zona influențată termic, dar mai prezintă și o importanță practică, la alegerea procedeului optim de încărcare prin sudare, care să bine să afecteze în cît mai mică măsură metalul de bază [117].

Rezultă că este necesară studierea modificării proprietăților metalului de bază, în funcție de procedeul de sudare aplicat, ceea ce va fi prezentat la punctul 4.3.

#### **4.3. Cercetări privind influența procedeului de sudare asupra proprietăților metalului de bază**

Pornind de la observația că mărimea zonei influențate termic variază în funcție de procedeul de sudare aplicat, chiar dacă

energiile liniare sunt menținute la o valoare constantă, este util să se studieze în ce măsură se produce o modificare a proprietăților materialului, sudat prin diferite procedee.

#### 4.3.1. Metodica experimentărilor

Reducerea acțiunii unor factori accidentali, care pot influența rezultatele cercetărilor, s-a efectuat prin utilizarea materialelor cît mai omogene și având aceeași proveniență.

Astfel toate încercările au fost efectuate pe epruvete prelevate pe aceeași direcție din semifabricatele provenind din aceeași garjă de oțel, la care au fost eliminate zonele cu neomogenități. Spre exemplu, în cazul oțelului MoCN15, a cărui secțiune patrată cu latura de 400 mm prezinta oxidări superficiale, au fost eliminate zonele marginale pe o adâncime de 5 mm. Această operație nu a fost necesară în cazul oțelului VCW85, a cărui secțiune circulară, având diametrul de 250 mm nu a prezentat oxidări superficiale.

Pentru depistarea și eliminarea eventualelor grupări de incluziuni de sulfuri, au fost efectuate probe Baumann [134] pe diverse secțiuni.

In fig.4.11 și fig.4.12 sunt prezentate amprente Baumann la scara 1:1, obținute pentru oțelul MoCN15 respectiv VCW85.



Fig.4.11. Amprentă Baumann pentru determinarea raportării sulfurilor în secțiunea oțelului MoCN15 Scara: 1:1

Fig.4.12. Amprentă Baumann pentru determinarea raportării sulfurilor în secțiunea oțelului VCW85 Scara: 1:1

Din fig.4.11 și fig.4.12 se observă o repartiție relativ uniformă a sulfurilor în oțelurile MoCN15 și VCW85 de proveniență indigenă, ceea ce permite utilizarea întregului material pentru încercări.

Intrucât standardele în vigoare prevăd pentru verificarea proprietăților acestor materiale, încercări mecanice de duritate, aprecierea proprietăților oțelurilor MoCN15 și VCW85, înainte și după sudarea prin diferite procedee, a fost efectuată prin încercări de duritate Vickers HV 30 [149]. Pentru o apreciere mai complexă a proprietăților, au mai fost efectuate și încercări de încovoiere prin soc, pe epruvete cu creștătură U, [150]. Pe lîngă determinarea rezilienței KCU, au mai fost determinate contracția laterală  $Z_{KCU}$  și raportul de tenacitate  $R_{KCU}$ , pentru secțiunile e-pruvetelor rupte [118].

Având în vedere că matricele din oțelurile MoCN15 și VCW85 au un regim de funcționare la cald, au fost efectuate și încercări de încovoiere prin soc la cald [154], la temperaturi cuprinse între 293 și 973 K.

Față de condițiile de încercare standardizate mai sunt necesare unele precizări. Astfel standardul prevede ca temperatura la care se suprimează epruveta, pentru compensarea pierderilor de căldură din timpul manevrării, să se adopte în funcție de temperatură de încercare și de timpul de manipulare al epruvetei.

Experimental s-a constatat fără că răcirea epruvetelor mai depinde și de calitatea oțelului, de dimensiunile epruvetelor și de temperatura mediului ambient. Din acest motiv pentru reducerea erorilor, la aprecierea temperaturii de încercare, au fost trasate curbele de răcire a epruvetelor din oțel MoCN15 și VCW85, în condiții identice celor din timpul încercării. Diagrama prezentată în fig.4.13 a fost trasată pe baza rezultatelor obținute prin înregistrarea temperaturii epruvetelor încălzite la temperatura de 900 K și răcite pe suportul aparatului Charpy. Temperatura mediului ambient a avut valoarea de 291 K.

Pentru reducerea pierderilor de căldură, între epruvetă și suport a fost fixată o placă termoizolantă de azbociment avind grosimea de 2 mm, care a fost menținută pe aparat în timpul tuturor încercărilor. Ruperea epruvetelor s-a efectuat în toate cazurile

după timpul de 7 s, de la extragerea lor din cuptorul de încălzire.

Cu ajutorul diagramei prezentate în fig.4.13 se poate stabili supraîncălzirea epruvetei, necesară pentru ca ruperea să fie efectuată la temperatură de încercare prescrisă.

In diagramă, ordonata punctului x corespunde temperaturii de încercare, segmentul xo corespunde timpului de manevrare, iar segmentul oy corespunde supraîncălzirii necesare.

In cazul unor manevrări defectuoase a epruvetelor, care necesită tempi diferenți față de cei prevăzuți în standarde, temperatura

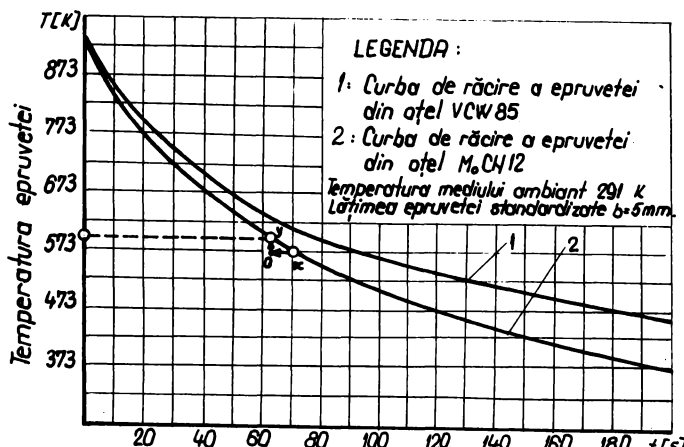


Fig. 4.13. Variatia temperaturii epruvetei de încovoiere prin şoc, în timpul răcirii pe suportul aparatului Charpy.

la care a avut loc ruperea epruvetei, poate fi determinată aplicindu-se sensul y, o, x, și luând segmentul ox, corespunzător mărimii timpului de manevrare.

Aprecierea temperaturii la care s-a produs ruperea epruvetei se mai poate efectua și cu ajutorul culorilor de revenire, care apar pe suprafetele fracturate, în urma oxidării lor la temperatură.

#### Inlăturarea influenței

compoziției chimice a materialului de adaos asupra rezultatelor cercetării, s-a realizat printr-o prelevare adecvată a epruvetelor, astfel ca zona de trecere să fie eliminată din secțiunea solicitată, ceea ce se observă în fig.4.14.



Fig. 4.14. Modul de prelevare a epruvetelor pentru încercarea la încovoiere prin soc STAS 1400-66.

Pentru ca variația distanței d dintre partea cea mai a dinca a crestăturii și zona de trecere a sudurii, să fie cît mai redusă, au fost adoptate epruvete STAS 1400-66 având lățimea 5 mm.

După rupere, epruvetele au fost șlefuite și atacate cu Nital 4% pe suprafața ruptă, pentru stabilirea preciziei de prelevare.

Au fost luate în considerație numai rezultatele determinate pe epruvete, la care distanța d a fost situată între valoriile 0,1 - 0,5 mm.

Epruvetele au fost prelevate după cum este indicat în fig.4.14 din materialele MoCN15 și VCW85, având grosimea 15 mm și încărcate prin sudare prin procedeul cu arc electric desoperit, W.I.G, M.I.G, și cu hidrogen atomic.

Menținerea temperaturilor de preîncălzire în jurul valorii de 580 K, în cazul materialului MoCN15 și 710 K, în cazul materialului VCW85, s-a realizat prin așezarea epruvetelor pe o placă orizontală de aluminiu, având grosimea de 5 mm și fiind încălzită în partea inferioară cu ajutorul unui arzător cu flacără gaz metan-aer. Încălzirea epruvetelor s-a efectuat prin intermediul placii de aluminiu, pentru evitarea încălzirilor neuniforme.

Tabelul 4.1. Parametrii de sudare utilizati la încărcarea otelurilor MoCN15 și VCW85

Procedeu de încălzire	Sudare cu elec- trazi înveliți	Sudare WIG	Sudare MIG	Sudare cu hi- drogen atomic
Parametrii de sudare	Intensitatea curentului de sudare $I_s$ [A]	150 - 160	110 - 120	290 - 310
	Tensiunea circuitului electric $U_a$ [V]	24 - 26	18-20	26 - 28
	Viteza de sudare $v_s$ [m/minut]	0,18	0,12	0,45
	Energia liniară $[J/m]$	$1,05 \cdot 10^6$	$0,96 \cdot 10^6$	$0,97 \cdot 10^6$
	Material de ados	Electrod Castalin 6806	Verghea din otel VCW85	Verghea din otel VCW85
	Diametrul materialului de ados [mm]	5	4	3
	Debitul gazului protector [ $\ell/minut$ ]	-	9	15
				Hu s-a determinat

Controlul temperaturii s-a efectuat cu ajutorul termocuplului de contact tip 4421 ULTRAKUST la care a fost montată sonda 3.

Parametrii de lucru utilizati la incarcarea materialelor MoCN15 si VCW, prin diferite procedee de sudare, avind energia liniară situată în jurul valorii de  $10^6$  [J/m], sunt date în tabela 4.1.

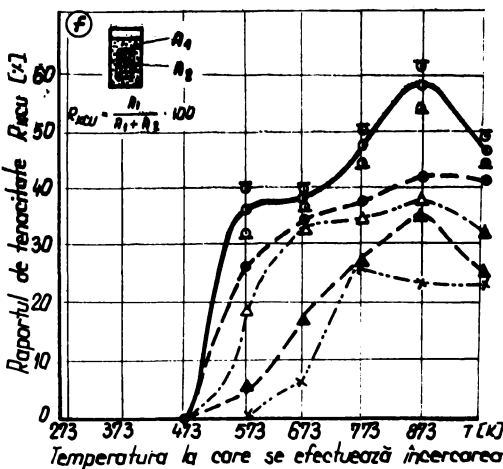
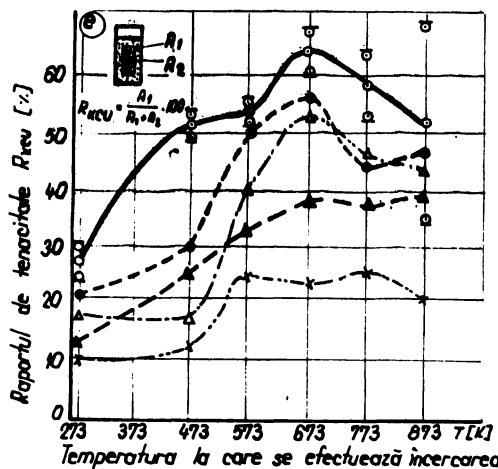
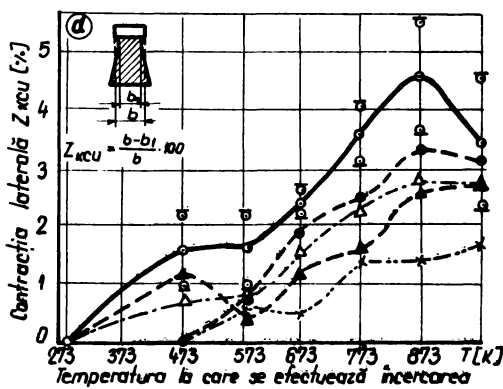
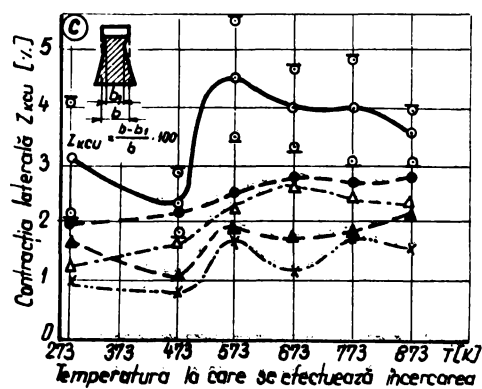
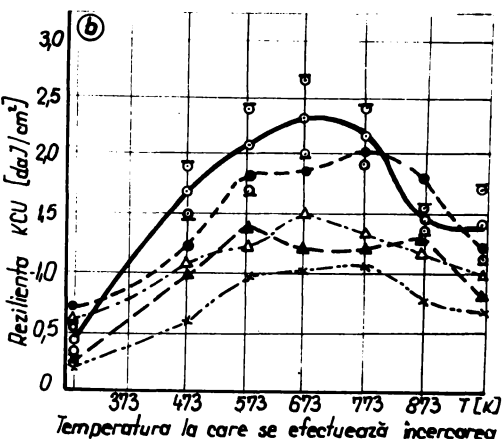
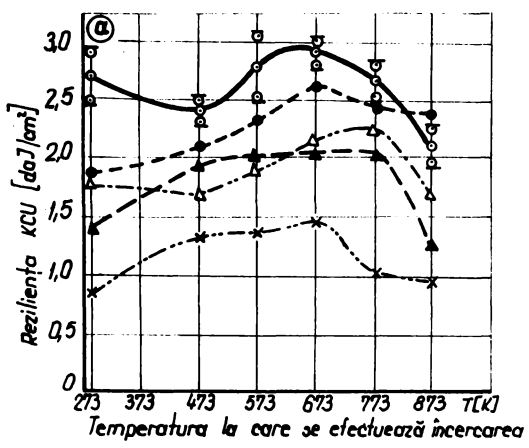
#### 4.3.2. Rezultate experimentale

In urma incercărilor de duritate HV<sub>30</sub>, efectuate asupra epruvetelor din oțelurile MoCN15 și VCW85, încărcate prin diferite procedee de sudare, cu parametrii amintiți, au fost obținute valorile prezentate în tabela 4.2.

Tabelul 4.2. Duritățile HV<sub>30</sub> ale oțelurilor MoCN15 și VCW85 încărcate prin sudare

Calitatea oțelului	Locul de determinării	Procedeul de încărcare			
		Sudare cu electrozi învechi	Sudare WIG	Sudare MIG	Sudare cu hidrogen atomic
MoCN15	în metalul de bază	410	416	427	408
	sub cordon	573	599	610	584
VCW85	în metalul de bază	402	415	417	402
	sub cordon	546	572	591	568

Rezultatele obținute în urma incercării de încovoiere prin soc a epruvetelor din oțel MoCN15 și VCW85, avind crestătura în zona influențată termic, sunt prezentate în diagramele din fig.4.15.



Legenda:

- epruve din metalul de bază în stare inițială nesudată
- ; □ - limitele inferioare respectiv superioare ale intervalelor de confidență
- △—△ - epruve incărcate prin sudare cu sudare cu electrozi înveliți ( $q/v = 1.05 \cdot 10^6 \text{ J/m}$ )
- - epruve incărcate prin sudare prin procedeul WIG ( $q/v = 0.96 \cdot 10^6 \text{ J/m}$ )
- ▲—▲ - epruve incărcate prin sudare prin procedeul cu hidrogen atomic ( $q/v = 103 \cdot 10^6 \text{ J/m}$ )
- \*—\* - epruve incărcate prin sudare prin procedeul MIG ( $q/v = 0.97 \cdot 10^6 \text{ J/m}$ )

Fig. 4.15. Variația proprietăților mecanice ale oțelurilor MoCN15 și VCW 85 obținute prin încercarea de încovoiere prin soc la diferite temperaturi

a - resiliența oțelului MoCN15; b - resiliența oțelului VCW 85; c - contracția laterală a oțelului MoCN15; d - contracția laterală a oțelului VCW 85; e - raportul de tenacitate al oțelului MoCN15; f - raportul de tenacitate al oțelului VCW 85.

#### 4.3.3. Interpretarea rezultatelor privind influența procedeeelor de sudare, asupra proprietăților metalului de bază

La încărcarea prin sudare prin diferite procedee, cu toate că au fost utilizate energii liniare apropriate, situate în jurul valorii de  $10^6$  [J/m], au fost obținute proprietăți mecanice cu valori variabile în funcție de procedeu.

Astfel cea mai pronunțată durificare a zonei influențate termic a fost obținută în cazul încărcării prin sudare prin procedeul M.I.G., atât pentru oțelul MoCN15 ( $HV_{30} = 610$ ) cît și pentru oțelul VCW85 ( $HV_{30} = 591$ ).

Ahalizînd rezultatele obținute la încercarea de încovoiere prin soc, (fig.4.15), se constată o creștere a fragilității oțelului MoCN15 nesudat sau sudat, în cazul temperaturii de încercare de 473 K. Si oțelul VCW85 prezintă o fragilitate accentuată în toate situațiile, pentru temperatura de 293 K, care se diminuează însă odată cu creșterea temperaturii de încercare.

Considerînd că temperatura regimului de funcționare a matrițelor este situată între 573 K și 773 K, din rezultatele încercărilor de încovoiere prin soc obținute pe epruvete încălzite,

se observă că sudarea W.I.G și sudarea cu electrozi înveliți, influențează în cea mai mică măsură proprietățile metalului de bază, pentru intervalul de temperatură considerat.

#### 4.4. Cercetări privind calitatea și structura staturilor încărcate prin sudare prin diferite procedee

Procesele metalurgice care intervin în timpul încărcării matrițelor prin diferite procedee de sudare, influențează compoziția chimică și modul de cristalizare a băii metalice, precum și omogenitatea metalului încărcat prin sudare. Aceasta poate contribui la modificarea durabilității funcționale a matrițelor încărcate, după cum s-a arătat la punctul 1.6.2, ceea ce justifică necesitatea cercetărilor prezentate în acest capitol.

##### 4.4.1. Metodica experimentărilor

Încercările au fost efectuate pe epruvete din oțel MoCN15 și VCW85, avînd formă prismatică, cu suprafață de  $200 \times 100 \text{ mm}^2$  și

cu grosimea de 15 mm, care au fost debitate în același condiții pre-văzute la punctul 4.3.1.

Având în vedere că în majoritatea cazurilor straturile încărcate au avut compozitie chimică asemănătoare metalului de bază, a fost suficientă încărcarea prin sudare într-un singur strat, sau în două straturi suprapuse.

Preîncălzirea oțelului MoCn15 la temperatură de 580 K și a oțelului VCW85 la temperatură de 710 K a fost realizată în condițiile prezentate la punctul 4.3.1.

*Tabelul 4.3. Parametrii de sudare utilizati la încărcarea oțelurilor MoCn15 și VCW85 cu electrozi înveliți*

Marca electrodului	Diametrul electrodului [mm]	Nr. de straturi încărcate	Stratul Nr.	Intensitatea curentului de sudare $I_s$ [A]	Tensiunea arcului $U_a$ [V]	Viteza medie de sudare $V_s$ [m/min.]
E 2.50 STAS 7241-69	3,25	1	1	125 - 130	22 - 24	0,260
		2	1	125 - 130	22 - 24	0,224
	4	2	2	125 - 130	22 - 24	0,208
		1	1	150 - 160	23 - 25	0,172
		2	1	150 - 160	23 - 25	0,253
		2	2	150 - 160	23 - 25	0,230
Castolin 6808	5	1	1	150 - 160	24 - 26	0,155
		2	1	150 - 160	24 - 26	0,166
		2	2	150 - 160	24 - 26	0,166
Hastelloy	4	1	1	140 - 150	23 - 25	0,196
		2	1	140 - 150	23 - 25	0,172
		2	2	140 - 150	23 - 25	0,194
Inter-Alloy RWE	3,25	1	1	110 - 120	20 - 21	0,170
		2	1	110 - 120	19 - 20	0,172
		2	2	110 - 120	19 - 20	0,221
	4	1	1	150 - 160	21 - 23	0,184
		2	1	150 - 160	21 - 23	0,147
		2	2	150 - 160	21 - 23	0,168

Parametrii utilizati în cazul încărcării oțelurilor MoCn15 și VCW85 prin diferite procedee de sudare sunt prezentate în tabelele 4.3, 4.4, 4.5.

Tinând seama de faptul că la sudarea prin procedeul M.I.G s-au produs cele mai intense modificări ale proprietăților metalului de bază (fig.4.15), nu au mai fost efectuate determinări corespunzătoare acestui procedeu.

Tabelul 4.4. Parametrii de sudare utilizati la incarcarea otelurilor MoCN15 si VCW 85 prin procedeul WIG

Material de adaos	Număr de straturi încărcate	Stratul	Intensitatea curentului de sudare $I_s$ [A]	Tensiunea arcului $U_a$ [V]	Viteza medie de sudare $v_s$ [m/min]	Debitul de argon [l/min]
Vergele din otel MoCN15 avind diam. $\phi = 4$ mm.	1	1	110 - 120	18	0,125	9
	2	1	110 - 120	18	0,131	9
		2	110 - 120	18	0,122	9
	1	1	200 - 210	19	0,139	11
Vergele din otel VCW 85 avind diam. $\phi = 4$ mm.	1	1	110 - 120	18	0,120	9
	2	1	110 - 120	18	0,122	9
		2	110 - 120	18	0,120	9
	1	1	200 - 210	19	0,136	11

Tabelul 4.5. Parametrii de sudare utilizati la incarcarea otelurilor MoCN15 si VCW 85 prin procedeul de incarcare cu H-atomice.

Material de adaos	Nr. de straturi încărcate	Stratul	Intensitatea curentului de sudare $I_s$ [A]	Tensiunea arcului $U_a$ [V]	Viteza medie de sudare $v_s$ [m/min]
Vergele din otel MoCN15 avind diam. $\phi = 4$ mm.	1	1	230 - 250	75	0,55
		1	240 - 260	80	0,57
	2	2	240 - 260	80	0,57
Vergele din otel VCW 85 avind diam. $\phi = 4$ mm.	1	1	230 - 250	75	0,58
	2	1	240 - 260	80	0,53
		2	240 - 260	80	0,53

Epruvetele sudate în condițiile amintite au fost secționate transversal și după pregătirea metalografică corespunzătoare [134], au fost fotografiate zonele caracteristice.

Au mai fost efectuate încercări de duritate Vickers în zona de trecere, zona influențată termic și în sudură, pentru observarea eventualelor durificări locale.

De asemenea au mai fost efectuate încercări pentru determinarea coeficientului de aderență la soc  $A_s$ , după metodica cunoscută [4], [79]. Încărcarea prin sudare a epruvetelor corespunzătoare acestei încercări a fost efectuată utilizând parametrii de sudare recomandați în tabelele 4.3, 4.4, 4.5, pentru sudarea în straturi sugerate.

#### 4.4.2. Cercetarea macroscopică a straturilor

##### încărcate prin sudare

Macrostructura oțelurilor MoCN15 și VCW85 încărcate prin sudare în electrozi înveliți este prezentată în fig.4.16.

In partea stângă a fiecărei fotografii se observă sudurile încărcate într-un strat, iar în partea dreaptă cele încărcate în două straturi suprapuse. Parametrii de sudare corespunzători diferenților electrozi cu care au fost efectuate sudurile, sunt indicați în tabelele 4.3.

Macrostructura oțelurilor MoCN15 și VCW85 încărcate prin sudare prin procedeul WIG este prezentată în fig.4.17, iar a celor încărcate prin procedeul de sudare cu hidrogen atomic, în fig.4.18. În aceste figuri, în partea stângă a fiecărei fotografii, apar sudurile încărcate într-un singur strat, iar în partea dreaptă, cele încărcate în două straturi suprapuse. Parametrii de sudare corespunzători sunt cei prezenți în tabelele 4.4, 4.5.

Analizând macrografiile din fig.4.16 se observă că în toate cazurile de sudare, cu electrozi înveliți selecționați, apare o difuziune corespunzătoare între straturile încărcate și metalul de bază, fără să se observe pori sau fisuri în sudură.

In cazul sudării cu electrod Castolin 6806  $\phi$  5 mm pe oțel MoCN15, fig.4.16-c se remarcă o incluziune de zgură situată la limita dintre cele două straturi încărcate, care e posibil să provină din zgura insuficient curățată după sudarea primului strat. După aspectul macrostructurii se observă că electrozii selecționați sunt compatibili atât cu oțelul MoCN15 cât și cu oțelul VCW85. Cea mai favorabilă zonă de trecere se observă în fig.4.16-c corespunzătoare oțelului VCW85, încărcat în două straturi cu electrod Castolin 6806  $\phi$  5 mm.

Difuziunea dintre straturile încărcate și metalul de bază, nu poate fi apreciată după macrostructură. În cazul utilizării electrozilor InterAlloy IWE, care sunt o compozitie chimică total diferită față de a metalului de bază.(Electrozii conțin maxim 3,5% Fe, iar carbonul este în cantități neglijabile).

Urmărind macrostructurile straturilor încărcate prin procedeul WIG care sunt prezentate în fig.4.17 se poate afirma că în toate cazurile, metalul de bază este influențat în cea mai mică mă-



MoCN15

a- Electrod E 2.50  $\phi$  3,25 mm STAS 7241 - 69



VCW85



MoCN15

b- Electrod E 2.50  $\phi$  4 mm STAS 7241 - 89



VCW85



MoCN15

c- Electrod Castolin 6806  $\phi$  5 mm



VCW85



MoCN15

d- Electrod Hastelloy  $\phi$  4 mm



VCW85



MoCN15

e- Electrod InterAlloy  $\phi$  3,25mm IWE



VCW85



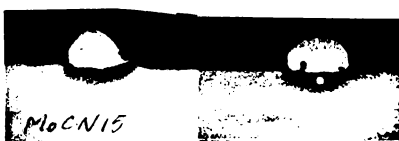
MoCN15

f- Electrod InterAlloy  $\phi$  4mm IWE



VCW85

Fig. 4. 16. Macrostructura atekurilor MoCN15 și VCW85, încărcate prin sudare cu diferite calități de electrozi înveliți



M<sub>6</sub>CN15

a - Metal de adaos: oțel M<sub>6</sub>CN15  $\phi$  4 mm

VCW85



M<sub>6</sub>CN15

b - Metal de adaos: oțel VCW85  $\phi$  4mm

VCW85

Fig. 4.17. Macrostructura oțelurilor M<sub>6</sub>CN15 și VCW85 încărcate prin sudare prin procedeul WIG.



M<sub>6</sub>CN15

a - Metal de adaos: oțel M<sub>6</sub>CN15  $\phi$  4 mm

VCW85



M<sub>6</sub>CN15

b - Metal de adaos: oțel VCW85  $\phi$  4mm

VCW85

Fig. 4.18 - Macrostructura oțelurilor M<sub>6</sub>CN15 și VCW85 încărcate prin sudare prin procedeul cu hidrogen atomic.

sură de către procesul de sudare, comparativ cu celelalte procedee. Se observă că la acest procedeu adîncimea de pătrundere și zona influențată termic au cele mai reduse valori. Pori care apar în fig. 4.17 a și b, este posibil că s-au format datorită impurităților care au existat în argon (puritatea argonului utilizat a fost de 99,2%), precum și datorită oxizilor existenți în vergelele forjate din materialul de adaos.

Se remarcă o frecvență mai mare a porilor în cel de al doilea strat încărcat.

In fig.4.18 sunt prezentate macrografiile oțelurilor MoCN15 și VCW85 încărcate prin procedeul de sudare cu hidrogen atomic. Difuziunea dintre straturile încărcate și metalul de bază este corespunzătoare, fără a se observa fisuri în zona de trecere, ceea ce indică o compatibilitate între metalul de bază și materialele de adaos utilizate. Se remarcă apariția unor pori în sudură în cazul încăr cării oțelului MoCN15, având ca material de adaos vergele din oțel MoCN15 sau VCW85. Întrucât tehnologia de sudare a fost identică cu cea aplicată oțelului VCW85, se confirmă că oțelul MoCN15 care conține Ni absoarbe mai ușor hidrogenul, decât oțelul VCW85, ceea ce favorizează apariția porilor.

In toate cazurile de încărcare prin sudare cu hidrogen atomic se observă o intensă supraîncălzire în zona influențată termic, ceea ce constituie un dezavantaj.

Un alt dezavantaj pe care îl prezintă sudarea cu hidrogen atomic, este micșorarea durității straturilor încărcate prin sudare față de cazurile similare de încărcare prin celelalte procedee, ceea ce rezultă din tabela 4.6.

Se presupune că scăderea durității este provocată atât de reducerea vitezei de răcire a straturilor încărcate, cât și de reducerea conținutului de carbon din baia metalică sub acțiunea hidrogenului activ.

In urma măsurării durităților HV<sub>30</sub> a straturilor încărcate prin sudare prin diferite procedee, având parametrii indicați în tabelele 4.3, 4.4, 4.5 au fost obținute valorile prezentate în tabela 4.6.

Analizând valorile medii ale durităților prezentate în tabela 4.6, se observă că în majoritatea cazurilor de încărcare, duri-

Tabelul 4.6. Duratăile HV<sub>30</sub> ale straturilor încărcate prin sudare pe oțelurile MoCN15 și VCW85.

Procedeu de încărcare	Metaliu de bază	Materialul de adaos	Sudare într-un singur strat		Sudare în două straturi suprapuse			
					primul strat		al doilea strat	
			Valorile HV <sub>30</sub>	Media	Valorile HV <sub>30</sub>	Media	Valorile HV <sub>30</sub>	Media
Sudare electrică manuală cu electrozi inerti	MoCN15	E 2.50 STAS 7241-69 φ 3,25 mm	730, 695, 736, 705	716	769, 666 695, 720	712	710, 675 644, 710	685
		E 2.50 STAS 7241-69 φ 4 mm	686, 661 695, 648	667	769, 730 752, 752	751	741, 780 695, 752	761
		Castolin 6806 φ 5 mm	393, 451 413, 436	423	391, 381 402, 391	391	409, 432 427, 432	425
		Hastelloy φ 4 mm	757, 746 763, 739	751	705, 685 694, 730	702	710, 736 725, 725	726
		Interalloy IWE φ 3,25 mm	192, 189 196, 193	192	230, 223 210, 212	218	275, 270 223, 230	249
		Interalloy IWE φ 4 mm	223, 223 225, 222	223	211, 211 203, 217	210	206, 211 272, 246	234
	VCW85	E 2.50 STAS 7241-69 φ 3,25 mm	652, 639 635, 625	638	705, 715 705, 700	706	810, 810 805, 783	802
		E 2.50 STAS 7241-69 φ 4 mm	635, 680 661, 895	688	685, 690 680, 695	888	730, 752 690, 748	727
		Castolin 6806 φ 5 mm	427, 413 415, 426	420	439, 476 468, 412	449	432, 415 428, 419	423
		Hastelloy φ 4 mm	579, 594 586, 584	581	602, 818 648, 608	619	518, 593 594, 588	593
Sudarea cu hidrogen atomic	MoCN15	Vergete din oțel MoCN15 φ 4 mm	293, 312 312, 298	304	302, 298 281, 281	291	312, 286 298, 252	286
		Vergete din oțel VCW85 φ 4 mm	344, 294 377, 358	343	381, 383 383, 387	283	406, 362 413, 406	397
	VCW85	Vergete din oțel MoCN15 φ 4 mm	449, 307 404, 413	393	385, 377 358, 383	376	454, 396 449, 449	437
		Vergete din oțel VCW85 φ 4 mm	533, 451 409, 473	487	451, 459 408, 413	432	428, 459 465, 478	457
Sudarea wolfram-het - Găz	MoCN15	Vergete din oțel MoCN15 φ 4 mm	367, 348 370, 354	360	341, 352 348, 370	353	341, 338 345, 340	341
		Vergete din oțel VCW85 φ 4 mm	564, 535 538, 513	538	510, 518 513, 518	515	515, 518 509, 524	516
	VCW85	Vergete din oțel MoCN15 φ 4 mm	434, 415 459, 439	437	457, 423 420, 429	432	429, 454 439, 447	442
		Vergete din oțel VCW85 φ 4 mm	593, 556 515, 542	551	570, 559 518, 531	543	639, 586 610, 554	597

tatea corespunzătoare primului strat, scade într-o oarecare măsură, ceea ce poate fi un efect al încălzirii la care este supus primul strat, în urma încărcării celui de al II-lea strat suprapus. La oțelul VCW85 încărcat cu electrozi înveliți, duritatea primului strat nu scade, ci se observă o creștere a ei.

Din același tabel se mai observă valori reduse ale durităților straturilor încărcate cu electrozi InterAlloy IWE, care par să fi în neconcordanță cu celelalte durități. Straturile încărcate cu acești electrozi sunt corespunzătoare, întrucât datorită îmbătrâni-rii prin precipitare dispersă, duritatea lor se mărește cu 200-300% în timpul exploatarii.

In cazul încărcării oțelului MoCN15 cu vergele din același material, prin procedeul de sudare WIG și mai cu seamă prin procedeul cu hidrogen atomic, se obțin valori reduse necorespunzătoare ale durității ( $250\text{-}350 \text{ HV}_{30}$ ), astfel încât aceste situații trebuie evitate.

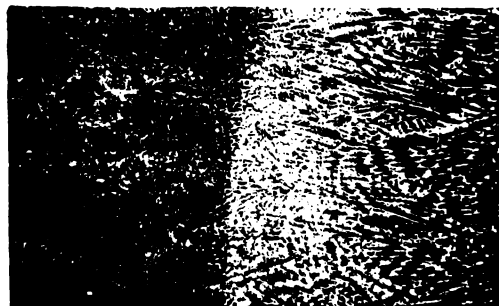
Prin compararea durităților sudurilor executate într-un singur strat și a celor executate în două straturi, se observă diferențe care în medie nu depășesc 15-20%, astfel că materialele de adaos prezentate, pot fi utilizate favorabil, chiar și în cazul încărcarilor într-un singur strat.

Utilizând datele prezentate în tabela 4.6 se poate alege orientativ calitatea materialului de adaos, astfel încât duritatea impusă în funcție de dimensiunile și solicitările matriței, să fie obținute direct după sudare, fără tratamentul termic ulterior de îmbunătățire.

#### 4.4.3. Cercetarea microscopică a straturilor încărcate prin sudare

Microstructurile oțelurilor MoCN15 și VCW85 încărcate prin sudare cu mai multe calități de electrozi înveliți sunt prezentate în fig.4.19 respectiv în fig.4.21. Parametrii de sudare corespunzători diferenților electrozi cu care au fost efectuate sudurile sunt indicați în tabela 4.3.

fig.4.19-a reprezintă microstructura zonei influențate termic (zona atacată mai intens) și a sudurii, executată cu electrozi E.2.50  $\varnothing 3,25 \text{ mm}$ , pe oțel MoCN15 într-un singur strat. Zona de treiere indică o bună interpenetrare între metalul de bază și sudură, ceea ce favorizează aderența sudurii. Se remarcă structura dendri-



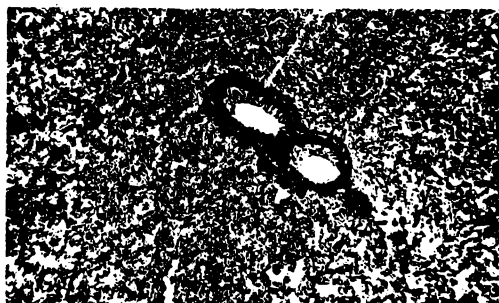
a - Electrod : E 2.50  $\phi$  3,25mm. Atac : Nital; 100:1



b - Electrod : E 2.50  $\phi$  3,25mm. Atac : Nital; 500:1



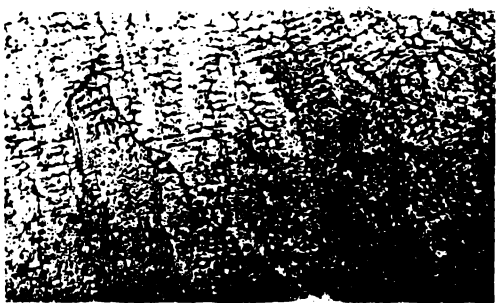
c - Electrod : Castolin 6806  $\phi$  5mm. Atac : Nital; 200:1



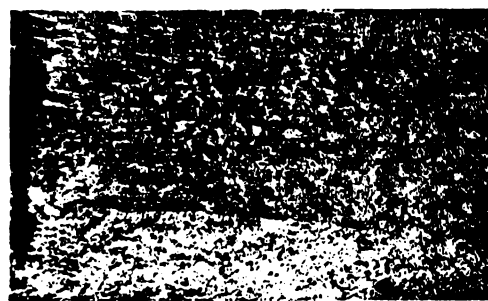
d - Electrod : Castolin 6806  $\phi$  5mm. Atac : Nital; 200:1



e - Electrod : Hastelloy  $\phi$  4mm. Atac : Nital; 200:1



f - Electrod : Hastelloy  $\phi$  4mm. Atac : Apă regală; 200:1



g - Electrod : Inter alloy  $\phi$  3,25mm. Atac : Apă regală; 100:1



h - Electrod : Inter alloy  $\phi$  3,25mm. Atac : Apă regală; 500:1

Fig. 4.19. Microstructura zonelor încărcate prin sudare cu electrozi înveliți pe oțel MoCN15

tică din sudură, formată din martensită și austenită reziduală, care la o mărire de 500:1 se poate observa mai detaliat în fig.4.19,b.

In fig.4.19-c se observă microstructura sudurii și a zonei influențate termic a otelului MoCN15, încărcat prin sudare într-un strat cu electrozi Castolin 6806  $\phi$  5 mm. Segregația dendritică este pronunțată și în acest caz, cu excepția zonei de trecere în care este aproape inexistentă. Si aici difuzia stratului încărcat este bună, ca urmare a interpătrunderii dintre sudură și metalul de bază.

Microstructura sudurii în cazul otelului MoCN15 încărcat cu electrozi Castolin 6806  $\phi$  5 mm în două straturi se poate observa în fig.4.19-d. În al doilea strat încărcat, care este situat în micrografie în colțul din dreapta jos, apare o ușoară segregatie dendritică. În primul strat încărcat, care prezintă o granulație mai fină, se observă două particule de feroalaj netopite, înconjurate de zone eterogene. Despre natura acestor incluziuni se va aminti la punctul 4.4.4.

Microstructura zonei de trecere și a zonei influențate termic a otelului MoCN15 încărcat cu electrod Hostelloy  $\phi$  4 mm într-un strat, este prezentată în fig.4.19-e. În sudura care practic nu s-a atacat cu Nital, se observă incluziuni a căror diametru nu depășește  $5 \mu\text{m}$ . Întrepătrunderea sudurii și a metalului de bază este remarcabilă, ceea ce favorizează aderența. Structura zonei de trecere este troestitică. Observarea structurii sudurii este posibilă după atacul cu apă regală și este prezentată în fig.4.19-f. Structura este de formă dendritică și mai conține o cantitate de carburi fin disperse.

O interpătrundere la fel de favorabilă cu metalul de bază, o prezintă și straturile încărcate prin sudare cu electrozi InterAlloy IWE  $\phi$  3,25 mm și  $\phi$  4 mm pe otelul MoCN15.

In fig.4.19-g se observă zona de trecere și sudura în cazul otelului MoCN15 încărcat cu electrozi InterAlloy IWE  $\phi$  3,25 mm într-un strat. În partea stângă a micrografiei se distinge zona de trecere, de la care sunt orientate spre dreapta dendritele de soluție solidă de nichel. Pentru observarea mai detaliată a dendritelor mai este prezentată microografia aceleiași structuri la o mărire de 500:1 în fig.4.19-h.

Din datele prezentate în tabela 4.6 rezultă că duritatea

straturilor încărcate cu electrozi InterAlloy este redusă. Prin ecruisare sub acțiunea loviturilor și prin încălzire la 550-750 K, la acest aliaj pe bază de nichel, s-a produs o durificare prin precipitare dispersă.

Prin aceasta duritatea și-a mărit valoarea pînă la 442 HV<sub>30</sub>, iar structura obținută se poate observa în fig.4.20 la mărirea de 1000:1.

Analizînd microstructurile straturilor încărcate cu diferenți electrozi pe oțelul VCW85, se observă în toate cazurile o interpătrundere mai bună cu metalul de bază, decît la oțelul MoCN15.

Astfel în fig.4.21-a, trecerea dintre sudură (partea dreaptă a micrografiei) și zona influențată termic, este mai dificil de delimitat, datorită interpătrunderii dintre stratul încărcat și metalul de bază. Spre deosebire de zona influențată termic, sudura conține o cantitate mai mare de austenită reziduală (pînă la 20%), care se observă detaliat în fig.4.21-b la o mărire de 200:1.

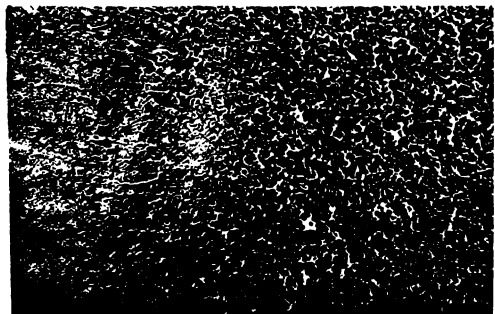
Compoziția chimică a electrozilor Castolin 6806 este asemănătoare cu compoziția oțelului VCW85 și asigură o structură fină a sudurii, ușor diferențiată de a metalului de bază, ceea ce se observă din fig.4.21-c. Singurul dezavantaj al acestor electrozi sunt incluziunile care pot apărea și a căror proveniență va fi discutată la punctul 4.4.4.

La o mărire de 500:1 structura sudurii este prezentată în fig. 4.21-d și este formată din bainită și austenită reziduală (pînă la 15%).

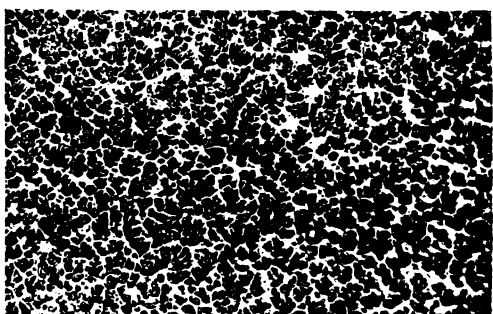
Electrozii Hostelloy dau de asemenea o bună difuzie a sudurii la oțelul VCW85, ceea ce se poate observa din fig.4.21-e, în care interpătrunderea dintre metalul de bază (în stînga micrografiei) și sudură (în dreapta micrografiei) este favorabilă. Stratul încărcat



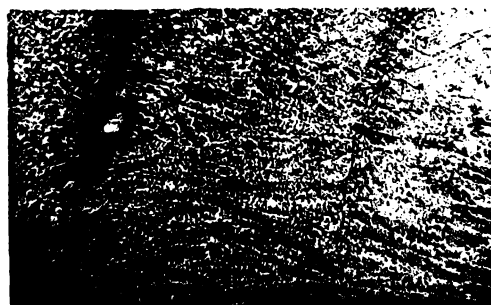
Atac: Apă regală; 1000:1  
Fig. 4.20. Microstructura stratului de InterAlloy IWE, după ecruisare prin lovire



a-Electrod: E 2.50φ 3,25 mm. Atac: Nital; 100:1



b-electrod: E 2.50 φ 3,25 mm. Atac: Nital; 200:1



c-Electrod: Castolin 6806 φ 5mm. Atac: Nital; 100:1



d-Electrod: Castolin 6806 φ 5mm. Atac: Nital; 500:1.



e-Electrod: Hastelloy φ 4 mm. Atac: Nital; 200:1



f-Electrod: Hastelloy φ 4 mm. Atac: Apă regală; 200:1



g-Electrod: InterAlloy φ 4 mm. Atac: Nital; 200:1



h-Electrod: InterAlloy φ 4 mm. Atac: Apă regală; 200:1

Fig. 4.21. Microstructura zonelor încărcate prin sudare cu electrozi inveliți pe oțel VCrW85

nu este atacat de Nital și developarea structurii a fost efectuată cu apă regală (fig.4.21 f).

Cea mai favorabilă interpătrundere dintre sudură și metalul de bază o prezintă straturile încărcate cu electrozi InterAlloy IWE  $\phi$  4 mm pe oțel VCW85, care se observă în fig.4.21-g. În acest caz sudura nu este atacată de soluția Nital și apare de culoare albă.

În sudură se observă două incluziuni sferice (colțul din dreapta jos a micrografiei), care se pare că provin din învelișul electrodului și a căror dimensiuni nu depășesc valoarea de 5  $\mu\text{m}$ .

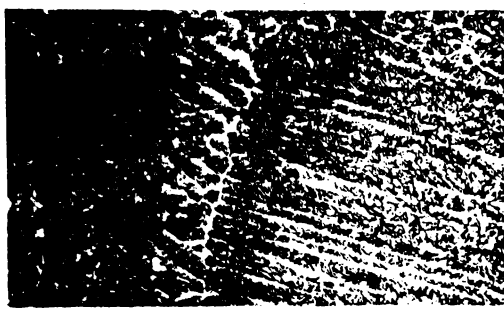
În urma atacării sudurii cu apă regală, aspectul structurii apare în fig.4.21-h. Atacul cu apă regală a fost necesar, întrucât și în acest caz soluția nital nu reacționează cu metalul sudurii. Structura este dendritică, iar între mărimea cristalelor din primul strat încărcat (partea stângă a micrografiei) și din al doilea strat încărcat, se observă o diferență. Prin ecruisare, granulația devine fină, indiferent de stratul din care provine, iar microstructura obținută nu mai este prezentată, deoarece este asemănătoare cu microstructura din fig.4.20.

Microstructurile primului strat încărcat prin proceșele de sudare wolfram-Inert-Gaz și sudare cu hidrogen atomic, sunt prezentate în fig.4.22 respectiv în fig.4.23.

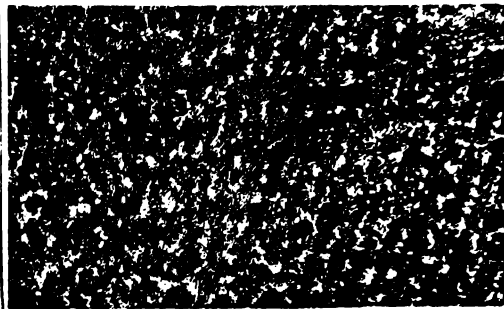
Pentru ambele proceșe segregarea dendritică din sudură este mai pronunțată atunci cînd a fost utilizat ca material de adaos, vergele din oțelul VCW85 (fig.4.22,a,c, și fig.4.23,a,c).

Segregarea dendritică este practic neobservată în sudurile obținute la încărcarea prin sudare cu hidrogen atomic, atunci cînd a fost utilizat ca material de adaos vergele din oțel MoCN15 (fig.4.23,b,d).

Tot aici se mai remarcă absența austenitei reziduale, care în celelalte cazuri, poate ajunge pînă la 20-30% din suprafața lustruită a sudurii. După cum se observă din micrografii, interpătrunderea straturilor încărcate cu metalul de bază este corespunzătoare.



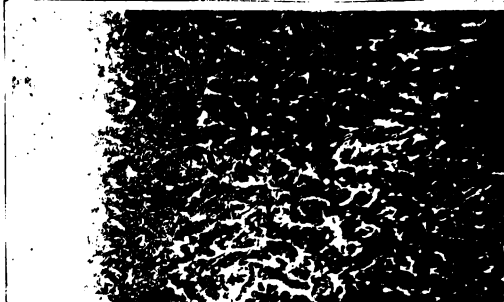
a - Metal de bază : M<sub>6</sub>CH15  
Material de adăos : VCW85 200:1



b - Metal de bază : M<sub>6</sub>CH15  
Material de adăos : M<sub>6</sub>CH15 200:1

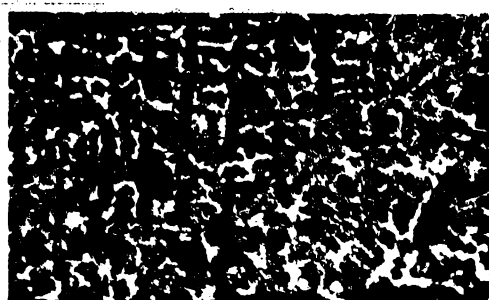


c - Metal de bază : VCW85  
Material de adăos : VCW85 200:1

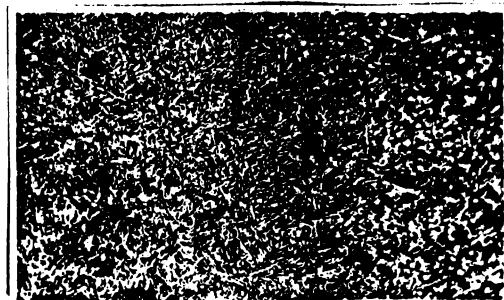


d - Metal de bază : VCW85  
Material de adăos : M<sub>6</sub>CH15 200:1

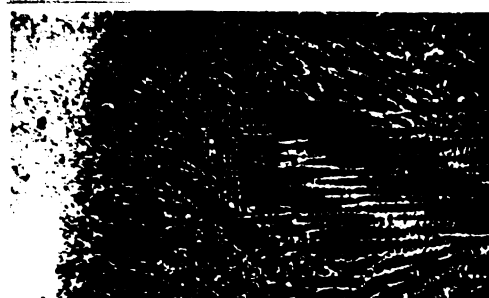
Fig. 4.22. Microstructura zonelor incărcate prin procedeul de sudare WIG.



a - Metal de bază : M<sub>6</sub>CH15  
Material de adăos : VCW85 200:1



b - Metal de bază : M<sub>6</sub>CH15  
Material de adăos : M<sub>6</sub>CH15 200:1



c - Metal de bază : VCW85  
Material de adăos : VCW85 100:1



d - Metal de bază : VCW85  
Material de adăos : M<sub>6</sub>CH15 200:1

Fig. 4.23. Microstructura zonelor incărcate prin procedeul de sudare cu hidrogen atomic.

#### 4.4.4. Defecte specifice prezente în zonele încărcate

##### prin sudare

Micrografiile prezentate în fig.4.19-d și fig.4.21-c scot în evidență existența unor neomogenități a căror proveniență este discutabilă. Au fost efectuate și alte suduri cu aceeași electrozi modificindu-se parametrii de sudare în limitele prescrise de producător. În multe cazuri a fost obținut același tip de eterogenități.

In fig.4.24-a este prezentată o astfel de eterogenitate la o mărire de 500:1. Se observă o zonă centrală albă a cărei margine a suferit o difuziune spre exterior. În jurul zonei centrale se mai observă o zonă de culoare mai închisă, care face trecearea spre masa sudurii ce formează fondul micrografiei. Încercările de duritate cu sarcini reduse HV<sub>0,05</sub>, nu au dat diferențe semnificative

între zonele căreia se observă în micrografie. În continuare au fost aplicate alte metode de investigație și anume, determinarea compoziției chimice de-a lungul unei linii care traversează zona eterogenă, cu ajutorul microsondei electronice de tip J X A - 5 A și studiul microstructurii cu ajutorul microscopului electronic. În urma acestor incercări s-a constatat că în



*Alotrital* 500:1  
*Fig. 4.24-a Eterogenitate în sudura executată cu electrozi înveliți.*

eterogenitate predomină wolframul a cărui concentrație variază de-a lungul liniei, după diagrama înregistrată peste micrografie prezentată în fig.4.24-b. Urmărind diagrama de la stânga spre dreapta se observă o ușoară creștere a conținutului de wolfram corespunzătoare zonei intermediare dintre metalul sudurii și partea centrală a eterogenității.

In interiorul eterogenității se observă o creștere bruscă a conținutului de wolfram pînă la valorile maxime. Se remarcă însă

că variațiile compoziției chimice în interiorul zonei centrale, au

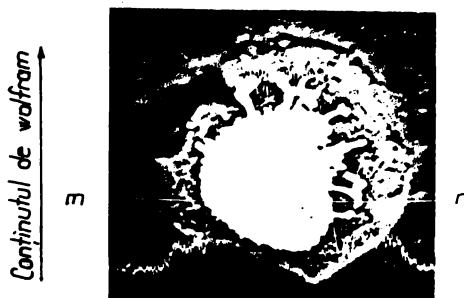


Fig. 4.24-b.Variația conținutului de wolfram de-a lungul dreptei mn.

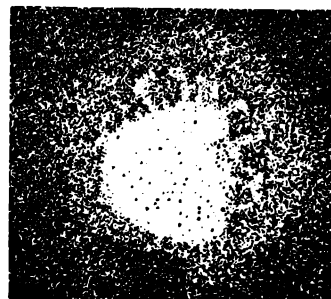


Fig. 4.24-c.Fotografia struc-  
turii în radiografie x

amplitudini mai mari decât în metalul sudurii. Neomogenitatea părții centrale se poate observa și în fig.4.24c, în care sudura și eterogenitatea sunt fotografiate în spectrul de raze X.

Zonele dense având conținut maxim de wolfram apar în fotografie de culoare deschisă, în contrast cu zonele cu concentrație redusă de wolfram. Urmărind reparația wolframului după fotografiiile din fig.4.24b și fig.4.24c, se poate afirma că eterogenitatea este de natură exogenă, având tendință de difuzie spre sudură.

Tinând seamă că adaosul de wolfram din sudură s-a obținut integral prin alierea în arcul electric cu pulbere de ferowolfram din înveliș, rezultă că eterogenitatea prezentată poate fi provocată de o particulă de ferowolfram topită incomplet. Unii factori care favorizează acest gen de eterogenități sunt: temperatura ridicată de topirea feroalialui, dimensiunile mari

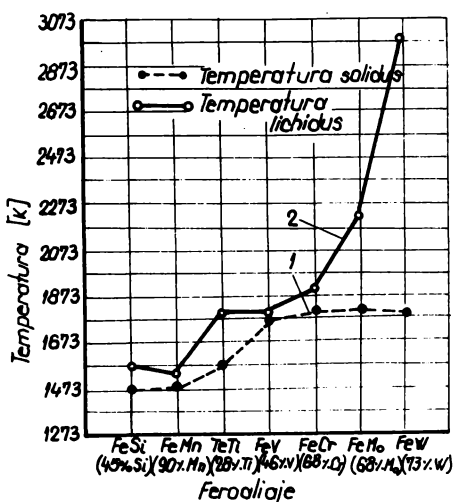


Fig. 4.25. Intervalul de solidificare a unor feroalioje.

te prezentată poate fi provocată de o particulă de ferowolfram topită incomplet. Unii factori care favorizează acest gen de eterogenități sunt: temperatura ridicată de topirea feroalialui, dimensiunile mari

ale granulelor de feroaliaj, timpul redus de solidificare a băii metalice, instabilitatea arcului electric și grosimea mare a învelisului. Din fig.4.25 se observă intervalul de topire al diferitelor feroaliaje. Înînd seama de această diagramă, se poate afirma că probabilitatea apariției eterogenităților formate prin lipsa de topire a granulelor din învelis, descrește în funcție de feroaliaj în următoarea ordine FeW, FeMo, FeCr, FeV.

Deficiența pe care o produce aceste eterogenități este apariția microfisurilor în sudură. Astfel la o mărire de 1000:1 se observă existența unor microfisuri, care înaintează din zona de tran-

ziție a eterogenității spre sudură. În fig.4.26 sunt prezentate trei microfisuri, care apar datorită incluziuni de ferowolfram prezentață anterior.

Existența acestor microfisuri este extrem de periculoasă în oțelurile solicitate la sarcini dinamice și ciclice.

Intrucît detaliile structurii zonei de trecere dintre incluziune și restul

sudurii nu sunt vizibile nici în cazul unei măriri de 1000:1, s-a apelat la microscopul electronic. Pentru aceasta proba a fost studiată cu ajutorul microscopului electronic Tesla BS-242-A de la Intreprinderea de tractoare Bragov.

Localizarea zonelor din care s-au scos replicile necesare studiului la microscopul electronic, s-a realizat cu ajutorul microdurimentului P.M.T-3. Pentru aceasta proba montată în plastelină pe o placă ajutătoare, a fost așezată pe masa microdurimentului. A fost efectuată o amprentă pe suprafața probei, utilizând sarcina de 500 g. Cu ajutorul amprentei astfel obținute a fost efectuată centrarea brută a aparatului. După efectuarea unei noi amprente cu sarcina de 100 g, s-a realizat centrarea fină a aparatului. Ambele amprente necesare centrării aparatului au fost imprimate în zone ale suprafeței



Fig. 4.26. Microfisuri în sudură având ca origine inclusiunea

Alot: Nitel 1000:1

probei, care nu prezintă interes în cazul cercetării la microscopul electronic.

După centrarea microdurimetru lui a fost adusă în zona axului optic incluziunea studiată.

Au fost notate coordonatele indicate de dispozitivele de manevrare ale mesei microdurimetru lui, pentru ca deplasarea relativă a probei față de vîrful de diamant al microdurimetru lui să poată fi controlată. Prin rabaterea mesei, sub vîrful microdurimetru lui și prin încărcarea unei sarcini de apăsare de 100 g, a fost trasat în jurul probei un patrat cu latura de 0,5 mm, vizibil cu ochiul liber.

Cu ajutorul acestui marcat realizat relativ simplu, a fost posibilă ridicarea unor replici a zonelor dorite. Prin cercetarea lor la microscopul electronic, prezintă interes structurile prezentate în fig. 4.27 și 4.28.



5400:1

Fig. 4.27. Zona centrală a incluziunii



5400:1

Fig. 4.28. Zona de trecere a incluziunii

In fig. 4.27 se observă zona centrală a incluziunii cercetate, la care apar limitele cristalelor dintre zonele cu concentrații diferite de wolfram.

In fig. 4.28 se observă trecerea dintre zona centrală a incluziunii (partea stângă) și zona de tranziție, care are o structură mai fină (partea dreaptă). Se pare că această zonă de trecere este generatoare de microfisuri.

Replicile de carbon după care s-a efectuat cercetarea la microscopul electronic, au fost umbrite cu crom, având un unghi de umbri-

Alte defecte asemănătoare din zona straturilor încărcate prin sudare pe oțelurile MoCN15 și VCW85 au mai întâlnit și în cazul sudării cu electrozi E 2.50 - STAS 7241-69. Astfel, în sudurile obținute cu acești electrozi, au fost întâlnite incluziuni de feromolibden, a căror dimensiuni nu au depășit valoarea de  $30 \mu\text{m}$ . În aceste cazuri nu s-au observat fisuri cu originea în zona eterogenă a sudurii.

Incluziunile nemetalice sunt alte defecte existente în microstructura straturilor încărcate prin sudare. Astfel este frecventă apariției incluziunilor sferice de zgură în sudurile încărcate cu electrozi înveliți, a căror dimensiuni maxime nu depășesc  $5 \mu\text{m}$ . În fig. 4.19-s incluziunile se observă ușor în zonele neatacate. Ele mai pot fi observate și în fig. 4.21 g.

Incluziunile nemetalice din sudură pot avea și o formă lungită, situându-se la limita dintre cristale ceea ce se poate observa din fig. 4.29. Sudura prezentată în această figură a fost realizată prin încărcarea oțelului



Aloc. Hital

200:1

Fig. 4.29. Incluziuni nemetalice în sudură

prezentate sunt porii și oxizii, care au apărut în cazul sudării cu electrozi la care nu s-a efectuat o calcinare corespunzătoare. Porii și oxizii au apărut și în cazul sudării WIG, datorită impurităților conținute de argon (argon 99,2%), sau de vergelele forjate din oțel.

Un defect periculos care s-a observat la oțelul VCW85 încărcat prin procedeul WIG, având ca metal de adaos vergele de oțel MoCN15, este prezentat în fig. 4.30. Se observă microfisura din zona de trecere a sudurii, favorizată de diferența structurală dintr-o zonă influențată termic (neatacată) și sudură (culoare închisă).

prin încărcarea oțelului Hastelloy  $\varnothing 4$  mm. Încărcarea a fost efectuată într-un singur strat, utilizând parametrii corespunzători indicați în tabela 4.3.

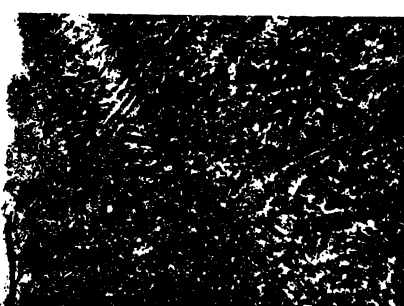
Alt gen de defec-

te observate în sudurile

prezentate sunt porii și oxizii, care au apărut în cazul sudării cu electrozi la care nu s-a efectuat o calcinare corespunzătoare. Po-

rpii și oxizii au apărut și în cazul sudării WIG, datorită impurităților conținute de argon (argon 99,2%), sau de vergelele forjate din oțel.

Un defect periculos care s-a observat la oțelul VCW85 încărcat prin procedeul WIG, având ca metal de adaos vergele de oțel MoCN15, este prezentat în fig. 4.30. Se observă microfisura din zona de trecere a sudurii, favorizată de diferența structurală dintr-o zonă influențată termic (neatacată) și sudură (culoare închisă).



Alac: Nital

200:1

Fig. 4.30. Microfisură în zona de trecere  
a sudurii

Stratul astfel obținut nu este compatibil cu metalul de bază, prezentând fisuri și nesiguranță în exploatare.

Intrucît stratul încărcat în condiții asemănătoare, dar cu intensități mai mici de curent ( $I_s = 110-120$  A) nu a prezentat fisuri, rezultă că în cazul metalului de bază VCW85 și a materialului de adaos MoCN15 există compatibilitate la sudarea prin procesul WIG, dacă este respectată o intensitate cît mai redusă de curent.

În cazul sudării cu hidrogen atomic se pot produce pori sau oxizi în sudură, datorită absorbției hidrogenului de către metalul topit, respectiv datorită topirii peliculelor de oxizi proveniți din vergelele forjate de material de adaos.

În fig.4.23-b se observă acest tip de incluziuni de oxizi din sudură.

Prin prezentarea acestor date, se observă că la încărcarea prin sudare a matrițelor în condițiile de producție, este posibilă apariția microdefectelor în sudură.

Cu toate că dimensiunile lor sunt reduse, aceste defecte pot influența negativ durabilitatea sculelor încărcate.

Inlăturarea acestor defecte este posibilă prin calcinarea corespunzătoare a electrozilor înainte de sudare, și prin curățirea atentă a zgurii de pe fiecare strat încărcat, insistindu-se asupra colțurilor formate între strat și metalul pe care s-a depus. Tot pentru înlăturarea microdefectelor se impune în cazul încărcării prin procesul WIG, sau cu hidrogen atomic, utilizarea materialelor cît

Sudura a fost realizată cu parametrii de sudare din tabela 4.4 corespunzători intensității curentului de sudare  $I_s = 200-210$  A.

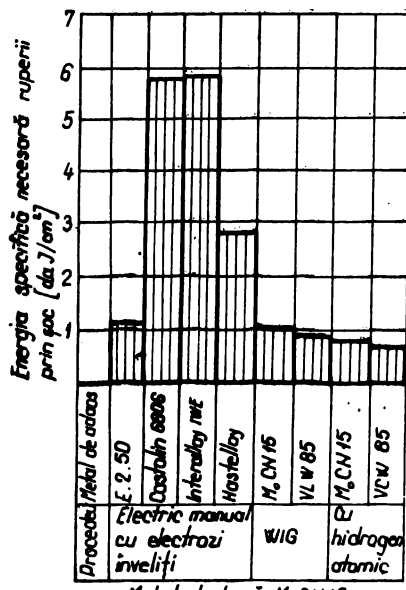
Datorită energiei liniare mari viteza de răcire a sudurii s-a micșorat, dar participarea metalului de bază în sudură a crescut, modificîndu-se compoziția chimică a sudurii.

mai pure (argon respectiv hidrogen de puritate maximă), precum și a vergelelor din metal de adaos obținute prin laminare și trefilare și nu prin forjare liberă.

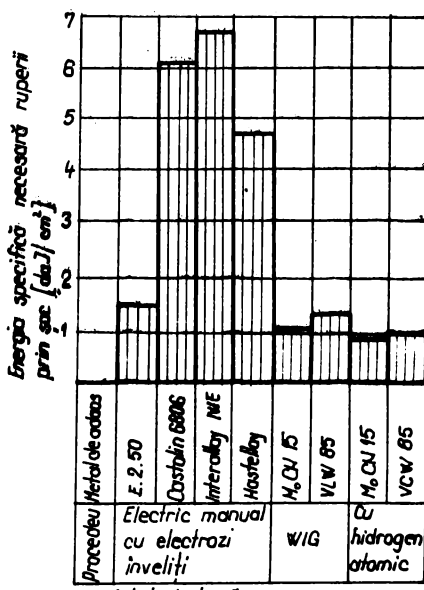
O mare importanță o prezintă și respectarea parametrilor de sudare corespunzători, mai cu seamă la utilizarea unor materiale de adaos care formează straturi încărcate cu compoziție chimică diferită de a metalului de bază.

#### 4.4.5. Aderența dintre straturile încărcate prin sudare și metalul de bază

In toate cazurile de încărcare prin sudare, utilizând electrozii înveliți, procedeul WIG, sau procedeul cu hidrogen atomic, coeficientul de aderență la goc al straturilor încărcate  $A_g$  [4] ,



a Metal de bază MoCN 15



b Metal de bază VCW 85

Fig. 4.31. Variatia energiei specifice necesare ruperii la diferite procedee de încărcare prin sudare

[79], a avut valori supraunitare, ceea ce indică o bună compatibilitate a sudurii cu metalul de bază. Pentru compararea aderenței straturilor încărcate prin diferite procedee, este necesară comparaarea valorilor absolute ale energiei specifice, necesare ruperii aceluiași tip de epruvete, care se poate observa în fig.4.31-a, în

cazul metalului de bază MoCN15 și în fig.4.31-a și în cazul metalului de bază VCW85.

Rezultatele prezentate în fig.4.31-a și b confirmă observațiile efectuate asupra macro și microstructurilor studiate la punctele 4.4.2 și 4.4.3 și anume, aderența cea mai favorabilă se obține în cazul încărcării prin procedeul de sudare electric manual cu electrozi înveliți, dintre care cel mai aderent, este stratul obținut cu electrodul Interalloy IWE.

Straturile cu aderența cea mai redusă, au fost obținute în cazul încărcării prin procedeul de sudare cu hidrogen atomic și prin procedeul WIG, atunci cînd metalul de adaos a fost diferit de metalul de bază.

Prin structurile și rezultatele prezentate la punctele 4.4.2, 4.4.3 și 4.4.5 se poate trage concluzia că încărcarea prin sudare a matrițelor din oțelurile MoCN15 și VCW85 este eficientă, dacă sunt utilizati electrozii înveliți pentru sudare.

#### 4.5. Electrozi noi pentru încărcarea matrițelor din oțeluri MoCN15 și VCW85

La elaborarea noilor electrozi pentru încărcarea prin sudare a oțelurilor MoCN15 și VCW85 s-a ținut seama de proprietățile favorabile ale oțelului care conține 3% Co, 3% Ni, 3% Mo, despre care a fost amintit la punctul 1.3.1.

Încărcarea prin sudare cu electrozi avind acest conținut de elemente de aliere, a fost efectuat cu două sorturi de electrozi. Astfel electrozii E<sub>1</sub> au avut vergetea metalică din sîrmă aliată cu 2,94% Co, 2,83% Ni și 0,1% C, celelalte elemente de aliere fiind incluse în învelis sub forma unor pulberi, cu granulația între 0,1 - 0,2 mm. Sîrma aliată avind diametrul de 4 mm a fost obținută prin trefilarea barelor laminate din oțel aliat. Oțelul a fost elaborat la Întreprinderea de autocamioane Brașov într-un cuptor cu inducție de 50 kg și a fost turnat în bare cu diametrul 25 mm și lungimea 30 mm. După strunjire, barele au fost sudate cap la cap prin presiune la Intreprinderea de Scule Rîșnov, iar laminarea și trefilarea lor a fost efectuată la Intreprinderea Metrom Brașov. Pentru stabilirea capacității de trefilare a materialului au fost efectuate următoarele încercări de reducere ale diametrului sîrmei: 6,02 mm;

5,15 mm; 4,92 mm; 4,50 mm; 4,00 mm; 3,50 mm; 3,01 mm, 2,50 mm; 2,27 mm 2,04 mm. Nu au fost efectuate recoaceri intermediare ale materialului.

Al doilea sort de electrozi  $E_2$ , au avut vergeaua metalică din sîrmă Slo cu un diametru de 4 mm, iar elementele de aliere sub formă de pulberi metalice, avînd granulația între 0,1-0,2 mm, au fost incluse în învelis.

Raportul între carbonatul de calciu și fluorura de calciu conținute de înveliș a fost stabilit la valoarea de 1,4, în cazul electrozilor  $E_1$  și de 1,6, în cazul electrozilor  $E_2$ , pentru care fluiditatea zgurii a fost corespunzătoare.

Au fost efectuate și încercări pentru elaborarea unor electrozi la care carbonatul de calciu să fie înlocuit integral cu oxid de calciu. Despre avantajele acestei înlocuiri s-a amintit la punctul 2.2.1.3 și 4.4.4.

Tinindu-se seama de greutățile moleculare, rezultă că o parte de carbonat de calciu echivalează cu 0,56 părți oxid de calciu, raport în care a fost introdus oxidul de calciu în noua pastă pentru electrozi. Preîntîmpinarea reacției chimice nedorite dintre  $\text{CaO}$  și liantul utilizat  $\text{K}_2\text{SiO}_3 \cdot n\text{H}_2\text{O}$  s-a realizat prin pasivizarea superficială a granulelor de oxid de calciu.

Pasivizarea granulelor de oxid de calciu, avînd granulația între 0,3 - 0,2 mm, s-a realizat prin crearea unei pelicule protecțioare impermeabile pe suprafața fiecărei granule. Au fost întrebuijate diferite substanțe chimice și solvenți, care volatilizează în timpul calcinării electrozilor, sau nu influențează defavorabil sub aspect metalurgic calitatea sudurii.

Au fost adoptate substanțele, care la un consum specific minim, au realizat o pasivizare maximă a oxidului de calciu.

Verificarea gradului de pasivizare s-a efectuat prin introducerea granulelor de oxid de calciu în eprubete cu apă distilată și prin observarea în timp a alcalinității apei. Colorarea albastră a turnesolului și transformarea granulelor de  $\text{CaO}$  în pastă de  $\text{Ca}(\text{OH})_2$  indică o pasivizare necorespunzătoare a oxidului de calciu. În fig.4.32 este prezentată o eprubetă cu apă distilată în care a fost introdus 1 g de oxid de calciu pasivizat cu 0,17 g substanță solidă. După o menținere în apă timp de 30 zile se observă că granulele nu au reacționat cu apa.



Fig. 4.32. Granule pasivizate de CaO, după o menținere timp de 30 zile în apă

S-a mai verificat gradul de pasivizare al oxidului de calciu și prin contact cu liantul pastei de electrozi, rezultatele fiind de asemenea corespunzătoare.

Încercările de presare a învelișului electrozilor cu conținut de oxid de calciu pasivizat au prezentat dificultăți, întrucât substanța pasivizată a redus plasticitatea pastei.

Pentru a se urmări totuși influența metalurgică a substanțelor de pasivizare asupra calității sudurii, pasta a fost granulată și calcinată, iar apoi a fost introdusă în electrozi tubulari

având diametrul exterior 6 mm iar diametrul interior 4 mm. Sudurile efectuate cu acești electrozi nu au prezentat fisuri sau pori, iar stabilitatea arcului a fost satisfăcătoare. Elaborarea unor electrozi pentru încărcarea oțelurilor aliante, având oxid de calciu în înveliș nu este încheiată și constituie una din preocupările de perspectivă ale autorului.

#### 4.5.1. Proprietățile straturilor încărcate cu electrozii elaborati

Determinarea proprietăților straturilor încărcate cu electrozii  $E_1$  și  $E_2$  au fost efectuate pe epruvete din metalul depus prin sudare în condițiile prevăzute de normele STAS, utilizând parametrii în limitele indicate în tabela 4.7.

Se observă că în cazul electrodului  $E_2$  coeficientul de depunere este mai mare decât în cazul electrodului  $E_1$ , ceea ce se datorează pulberilor metalice existente în înveliș, care măresc randamentul de depunere al electrodului.

Stabilirea intensității maxime a curentului de sudare în cazul electrodului  $E_1$  a fost efectuată pe baza rezistivității electrice a vergelei metalice aliante, care a fost determinată cu puntea Tomson și care la temperatura de 293 K a avut valoarea  $\sigma = 2,15 \cdot 10^{-7} \Omega^{-1} \text{m}^2$

*Tabelul 4.7. Parametrii tehnologici recomandati la incarcarea prin sudare cu electrozii  $E_1$  și  $E_2$  și coeficientii de topire și de depunere*

Simbolul electrodului	Diametru electrodului dc [mm]	Lungimea electrodului [m]	Intensitatea curentului de sudare $I_s$ [A]	Tensiunea arcului $U_a$ [V]	Viteza de sudare $v_s$ [m/h]	Coeficient de topire a electrodului $\alpha_t$ [g/A.h]	Coeficient de depunere a electrodului $\alpha_d$ [g/A.h]
$E_1$	4,0	300	120-140	25-27	9-11	826	7,95
$E_2$	4,0	450	140-160	25-27	10-12	8,53	9,08

#### 4.5.1.1. Compoziția chimică

Compoziția chimică a metalului depus prin sudare și coeficienții de trecere ai diferitelor elemente de aliere sunt date în tabela 4.8.

*Tabela 4.8. Compoziția chimică a metalului depus prin sudare cu electrozii  $E_1$  și  $E_2$  și coeficientii de trecere ai diferitelor elemente de aliere*

Simbolul electrodului	Elemente de aliere	C	Ni	Cr	Mo	Co
$E_1$	Conținut [%]	0,21	2,60	0,60	2,65	2,76
	Coeficient de trecere [%]	66,5	91,8	70,1	88,3	93,9
$E_2$	Conținut [%]	0,24	3,20	0,75	2,80	2,75
	Coeficient de trecere [%]	76,0	81,2	87,3	88,7	89,8

Compoziția chimică a fost determinată în laboratoarele Intreprinderii de autocamioane și Hidromecanica Brașov. Valorile prezentate corespund parametrilor de lucru indicați în tabela 4.7, în cazul unor învelișuri bazice, conținând 41% marmoră ( $CaCO_3$ ) și 29% fluorină ( $CaF_2$ ) pentru electrodul  $E_1$ , sau 32% marmoră și 19% fluorină pentru electrodul  $E_2$ .

Coeficienții de trecere corespunzători diferitelor elemente de aliere, prezentați în tabela 4.8 reprezintă raportul dintre concentrația reală a elementului în metalul depus prin sudare și concentrația teoretică.

#### 4.5.1.2. Aderenta față de metalul de bază

Utilizând aceeași parametri tehnologici recomandați în tabela 4.7, au fost încărcate prin sudare cu electrozii  $E_1$  și  $E_2$  epruvete din oțel MoCN15 și VCW85, pentru determinarea aderenței la șoc a straturilor încărcate.

Forma și dimensiunile epruvetelor precum și metodica încercărilor au fost adoptate după recomandările existente [4] , [79] Rezultatele încercărilor de aderență la șoc sunt date în tabela 4.9.

Tabela 4.9. Energia specifică necesară ruperii prin șoc a epruvetelor încărcate prin sudare

Electrod	Metalul de bază oțel MoCN15		Metalul de bază oțel VCW85	
	Valori ale energiei $\frac{daJ}{cm^2}$	Media	Valori ale energiei $\frac{daJ}{cm^2}$	Media
$E_1$	1,4; 1,9; 1,7	1,66	1,8; 1,8; 1,6	1,73
$E_2$	2,0; 2,7; 2,9	2,53	3,4; 1,9; 2,8	2,70

Comparind valorile obținute pentru încărcarea prin sudare cu electrozii  $E_1$  și  $E_2$  date în tabela 4.9 cu valorile corespunzătoare altor tipuri de electrozi prezentate în fig.4.31 se pot face următoarele observații:

Electrozii  $E_1$  și mai cu seamă  $E_2$  dă straturi mai aderente decât electrozii E 2.50 - STAS 7241-69, atât pe oțelul MoCN15 cât și pe oțelul VCW85.

Toate sudurile executate cu aceste calități de electrozi prezintă aderență superioară la metalul de bază față de celelalte procedee de sudare studiate.

Toate rezultatele referitoare la energia specifică necesară ruperii prin soc a epruvetelor încărcate prin sudare, au fost determinate numai pe epruvete care, la controlul magnetic, nu au prezentat fisuri după sudare. Această remarcă este necesară, întrucât în condiții asemănătoare de sudare, pentru aceeași electrozi utilizati, au fost și cazuri în care au apărut fisuri în zona de trecere a sudurilor.

Cauzele apariției acestor fisuri au fost cercetate cu ajutorul probelor Baumann, pentru stabilirea repartiției incluziunilor de sulf, a analizei chimice, precum și a studiului microstructurii zonei de trecere, însă nu au fost observate diferențe semnificative între epruvetele fisurate și cele care nu au prezentat fisuri.

Analizindu-se limitele de variație ale parametrilor de sudare, s-a constatat că singurul parametru care a variat în limite mai largi în timpul sudării a fost temperatura de preîncălzire a metalului de bază. Astfel în cazul oțelului MoCN15, temperatura de preîncălzire a variat față de valoarea calculată 580 K, cu +(60-80) K, iar în cazul oțelului VCW85, variația față de valoarea calculată 711 K, a fost de + (30-50) K.

#### 4.5.1.3. Deformării termice ale metalului depus prin sudare

Tinând seama că temperaturile de preîncălzire nu au ajuns, în niciunul din cazurile cercetate, sub valorile limită prescrise și că frecvența de apariție a fisurilor a fost mai mare în cazul încărcării oțelului MoCN15 cu electrozi E 2 .50 - STAS 7241-69, precum și cu electrozii E<sub>2</sub> prezentați la punctul 4.5, a fost necesară ridicarea curbelor dilatometricice corespunzătoare, pe baza cărora se pot explica anumite cazuri de incompatibilitate. Analiza dilatometrică a fost efectuată cu ajutorul dilatometrului diferențial de tip Ulbricht Bauart Weiss, atât la încălzire, cât și la răcire. Viteza de încălzire a fost menținută în jurul valorii de 180 K/h, iar viteza de răcire în jurul valorii de 250 K/h. Rezultatele analizei dilatometricice sunt prezentate în fig.4.33, din care se observă că la încălzire, materialele cercetate să dilată uniform pînă la temperatură de 978 K, după care apar diferențe mai pronunțate la dilatarea liniară. Diferențele maxime apar între curba 2, corespunzătoare oțelului VCW85 și curbele 3, 4 și 5 corespunzătoare electrozilor amintiți. Tinând seama de plasticitatea crescută a oțelurilor la aceste

valori ale temperaturii, se poate afirma că tensiunile care apar, datorită diferenței de dilatare între oțelul VCW85 și metalul încărcat

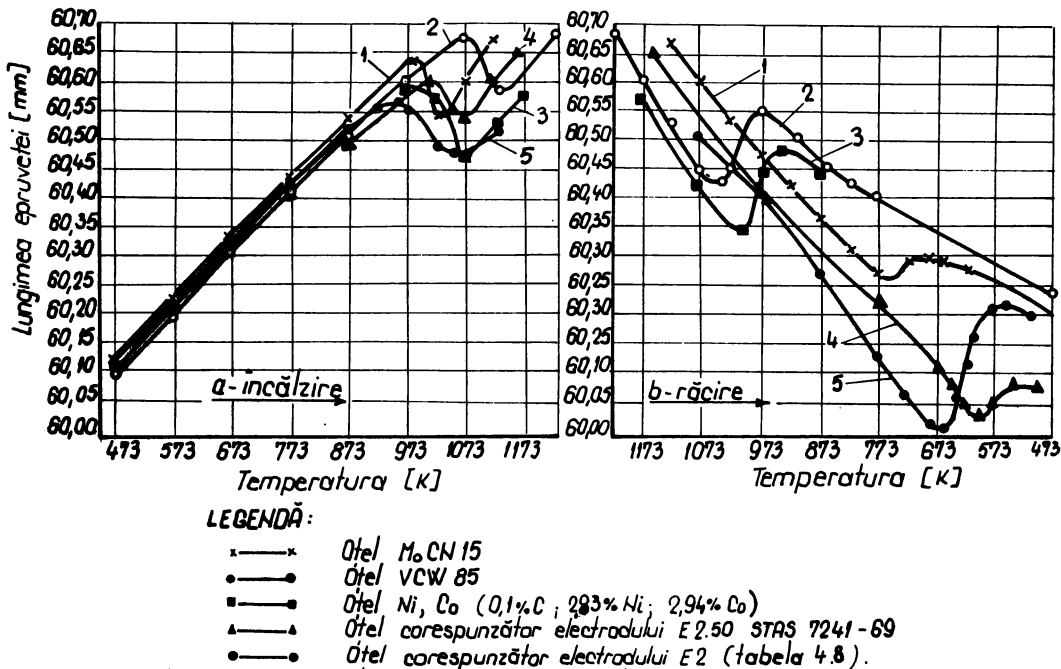


Fig. 4.33. Variația lungimii epruvetelor încălzite și apoi răcite, în funcție de temperatură la care au fost efectuate determinările. Lungimea initială a epruvetelor la temperatura de 293 K a fost  $L_0 = 60,00$  mm.

prin sudare, se anulează în timpul încălzirii.

Nu același lucru se poate afirma în cazul răciri, la care diferențele maxime dintre deformațiile termice apar la temperaturi situate în zona de plasticitate redusă a oțelurilor. Astfel din fig. 4.33-b, se observă că diferențele maxime apar între curba 1, corespunzătoare oțelului MoCN15 și curbele 4 și 5, pentru temperaturile de 600 K, respectiv 673 K, adică tocmai în apropierea domeniului de variație al temperaturilor de preîncălzire recomandate metalului de bază MoCN15.

In cazul sudării metalului de bază menținut la temperatura de preîncălzire recomandată, punctele situate în sudură și în zona influențată termic au temperaturi care tind asymptotic în timpul răciri, către temperatura de preîncălzire, cu viteze inferioare vitezelor critice de răcire.

In această situație (fig.4.33-b) se găsește și oțelul MoCN15 (curba 1) încărcat prin sudare cu electrozii E 2.50 STAS 7241-69 și  $E_2$  (Tabela 4.8), la care apar în timpul răcirii variații ale deformației lor termice, următe de apariția unor tensiuni care pot genera fisuri.

Incompatibilitatea aparentă dintre oțelul MoCN15 și electrodul E.2.50, respectiv electrodul  $E_2$ , poate fi astfel explicată pe baza curbelor dilatometrice, iar eliminarea fisurilor din zona de trecere se poate face prin evitarea preîncălzirilor la temperatura 600 K respectiv 673 K. Din fig.4.33,b se observă că prin mărirea temperaturii de preîncălzire a oțelului MoCN15 spre valoarea de 750 K diferențele între deformațiile termice scad. Verificarea practică a acestor observații s-a efectuat pe loturi de cîte 20 epruvete sudate, după preîncălzirea la temperaturile amintite. După sudare, epruvetele au fost introduse în cuptoare avînd temperatura egală cu temperatura de preîncălzire și s-au răcit odată cu cupitorul.

Astfel utilizînd electrozii E.2.50 STAS 7241-69 și electrozii  $E_2$  (tabela 4.8) la sudarea oțelului MoCN15 preîncălzit la temperatură de 750 K cît și la temperatura de 550 K, nu au fost observate la defectoscopia magnetică, fisuri în zona sudurii.

In cazul sudării cu electrozi E 2.50 STAS 7241-69 au apărut fisuri în zona de trecere a oțelului MoCN15 preîncălzit la temperaturi situate în apropierea valorii de 600 K.

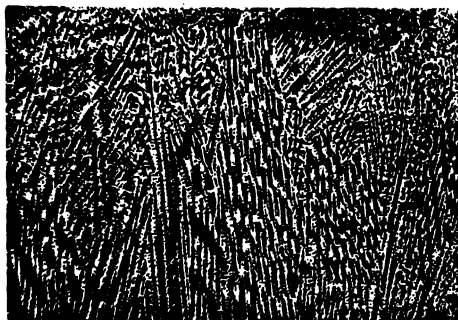
De asemenea au mai fost remarcate fisurări ale zonelor de trecere ale aceluiasi oțel sudat cu electrozi  $E_2$  (tabela 4.8), pentru temperaturi de preîncălzire situate în apropierea valorii de 673 K.

Rezultă cît atât noii electrozi elaborați  $E_2$  cît și electrozii E 2.50 STAS 7241-69 pot fi utilizati la încărcarea prin sudare a matrigelor din oțel MoCN15 cu condiția evitării preîncălzirii la temperatura de 673 K pentru sudarea cu electrod  $E_2$  și la temperatură de 600 K pentru electrodul E 2.50.

#### 4.5.1.4. Microstructura straturilor încărcate prin sudare

In fig.4.34 și fig.4.35 este prezentată microstructura straturilor încărcate prin sudare cu electrozii  $E_1$  respectiv  $E_2$ .

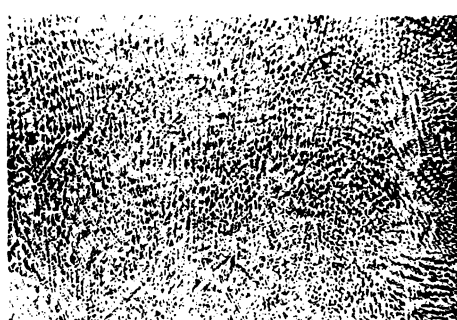
Atât în fig.4.34 cît și în fig.4.35 se observă structura dendritică fină, conținând constituenții intermediari de neechilibru, obținuți din transformarea austenitei la răcire continuă.



Alac Nital .

100:1

Fig. 4.34. Microstructura straturilor încărcate cu electrozi  $E_1$ .



Alac Nital

100 : 1

Fig. 4.35. Microstructura straturilor încărcate cu electrozi  $E_2$ .

Se mai observă zonele albe de austenită reziduală în proporție de aproximativ 20% și carburi complexe de crom și molibden, foarte fin dispersate, sub influența favorabilă a conținutului de cobalt.

Comparând structurile prezentate în fig.4.34 și 4.35 se observă o orientare mai pronunțată a dendritelor în fig.4.34, ceea ce influențează negativ asupra proprietăților mecanice dinamice a straturilor încărcate. În funcție de aceasta, se poate afirma că structura straturilor încărcate cu electrozii  $E_2$  este mai favorabilă, având o orientare mai puțin evidentă și o granulație mai fină.

#### 4.5.1.5. Rezistența la uzură

Determinarea rezistenței la uzură a straturilor încărcate prin sudare s-a efectuat pe probe având dimensiunile indicate în fig.4.36, care au fost încercate cu ajutorul instalației Amsler tip A 135.

Încărcarea prin sudare s-a realizat pe probe cilindrice din oțel MoCN15, respectiv VCW85 având diametrul exterior  $\varnothing$  38 mm și lungimea de 20 mm. Suprafața cilindrică a probelor a fost încărcată prin sudare în trei pînă la patru straturi, cu următoarele sorturi de electrozi:

1. Inter Alloy IWE;  $\varnothing$  4 mm
2. Castolin 6806;  $\varnothing$  4 mm
3. E.2.50 STAS 7241-69;  $\varnothing$  4 mm
4. Electrod  $E_1$ ;  $\varnothing$  4 mm.
5. Electrod  $E_2$ ;  $\varnothing$  4 mm.

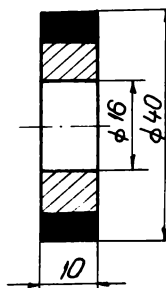


Fig.4.36. Epruveță încărcată prin sudare, pentru determinarea rezistenței la uzură

Parametrii de sudare utilizati au fost cei indicati fiecarui sort de electrozi, efectuindu-se suduri elicoidale pînă la atingerea diametrului exterior al probei, avînd aproximativ 42 mm. Prelucrarea probelor la cotele prevăzute în fig.4.36 s-a efectuat prin rectificare.

Realizarea condițiilor de frecare similare cu cele existente între matriță și semifabricatul cald acoperit cu oxizi pot fi reproduse în oarecare măsură pe instalația Amsler tip A 135, existentă în întreprinderea de autocamioane Brașov.

Condițiile cele mai apropiate de cazul real de frecare, se pot realiza printr-o frecare uscată, datorită căreia, temperatura probei poate atinge valori pînă la 673 K.

Depășirea acestei temperaturi a probei, nu este indicată în cazul instalației existente și după atingerea valorii amintite, determinată cu ajutorul cretelor termocolar, instalația a fost oprită pentru evitarea supraîncălzirilor.

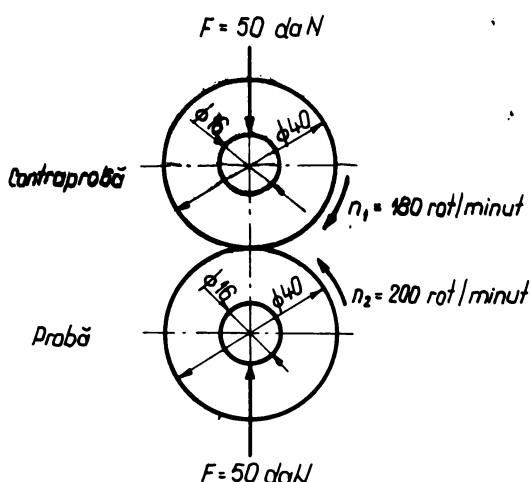


Fig. 4.37. Ansamblul probă-contraproba în timpul încercării la uzură.

Combinarea frecăriri de alunecare cu frecarea de rostogolire, evită griparea probelor în instalație, astfel încît a fost adoptată această variantă, față de frecarea de alunecare simplă. De altfel, pe suprafața matriței există porțiuni pe care apar frecare de alunecare, combinată cu frecare de rostogolire.

Frecările au fost asigurate cu ajutorul unor contraprobe din fontă albă, rotite cu viteze diferite față de probă, ceea ce se observă din fig.4.37.

Forța de presare utilizată în timpul încercării, a fost menținută constantă la toate

Tabelă 4.10. Pierderi prin uzură ale straturilor încărcate prin sudare cu diferiți electrozi.

Nr. ord.	Metal de bază	Electrod	Uzura [g]				Duritatea HV30 a ultimului strat	
			1 h	2 h	3 h	4 h	după sudare	după încercare la uzură
1	MoCN 15	Inter Alloy - IWE	0,18	0,29	0,34	0,37	223	418
2		Castolin 6806	0,16	0,31	0,45	0,58	436	449
3		E2.50 STAS 7241-69	0,09	0,21	0,30	0,39	661	695
4		Electrod E <sub>1</sub>	0,08	0,18	0,27	0,34	644	652
5		Electrod E <sub>2</sub>	0,07	0,15	0,22	0,30	661	675
6	VCW 85	Inter Alloy IWE	0,22	0,32	0,37	0,42	239	402
7		Castolin 6806	0,13	0,26	0,39	0,50	498	508
8		E2.50 STAS 7241-69	0,15	0,28	0,42	0,53	854	661
9		Electrod E <sub>1</sub>	0,11	0,21	0,33	0,43	449	473
10		Electrod E <sub>2</sub>	0,10	0,19	0,27	0,38	478	490

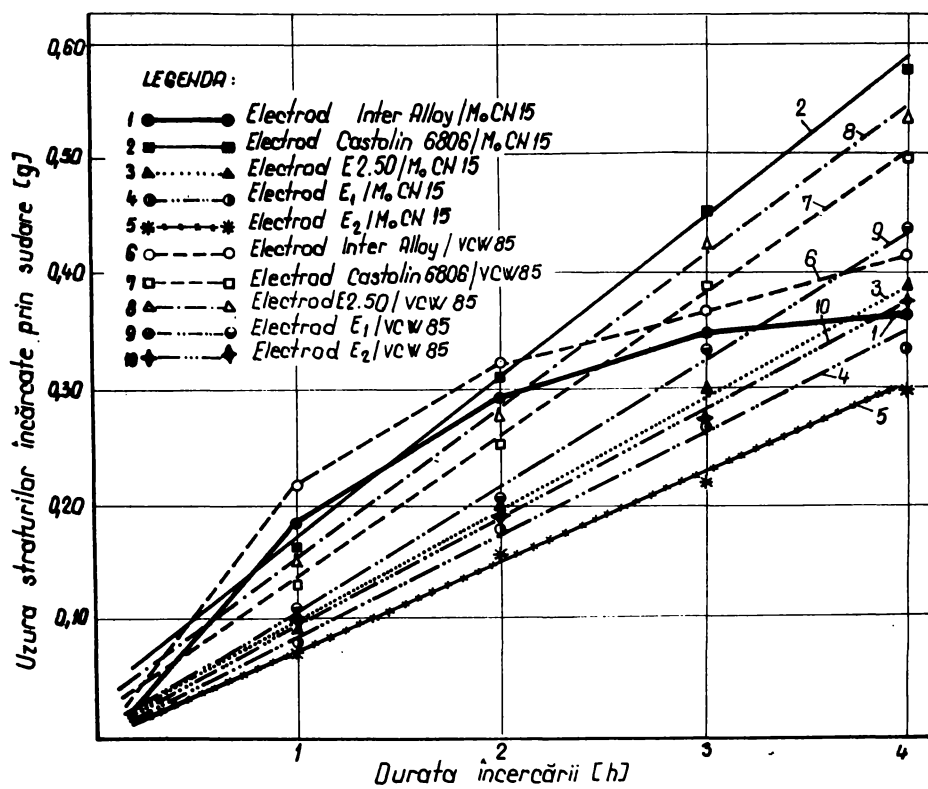


Fig. 4.38. Variatia în timp a uzurii diferitelor straturi încărcate prin sudare.

probele, pentru a obține date comparabile. Valoarea ei a fost stabilită în funcție de duritățile minime ale straturilor încărcate prin sudare cu electrozi Inter Alloy - IWE și cu electrozi  $E_2$ , pentru a nu se produce griparea. Astfel a fost stabilită o forță de presare având valoarea  $F = 50$  daN.

Rezistența la uzură a fost apreciată după pierderile în greutate suferite de probele supuse încercării.

Având în vedere că la începutul încercării, în unele cazuri uzurile sunt neuniforme, ca urmare a faptului că sunt influențate de microasperitățile suprafeței, care sunt diferite la diferitele probe, pentru a se elibera din determinări influența acestui factor, toate probele supuse încercării au fost rodate în prealabil timp de o oră.

Pierderile în greutate suferite după o perioadă de 1, 2, 3 și 4 ore de încercare, au fost calculate față de greutatea inițială a probelor, determinată după perioada de rodare de o oră.

Rezultatele încercărilor la uzură în funcție de electrodul utilizat la încărcare sunt prezentate în tabela 4.10 și sunt prezentate grafic în fig. 4.38.

Din fig.4.38 și tabela 4.10 se observă că duritatea straturilor încărcate prin sudare, nu este factor determinat asupra rezistenței la uzură. Astfel straturile încărcate cu electrozi Inter Alloy au o duritate redusă după sudare ( $HV_{30} = 223$ ), dar prezintă o rezistență satisfăcătoare la uzură.

Noii electrozi elaborați  $E_1$  și  $E_2$ , dau de asemenea straturi încărcate cu rezistență la uzură acceptabilă, în comparație cu ceilalți electrozi.

#### 4.5.1.6. Rezistența la soc termic

Determinarea rezistenței la soc termic a fost efectuată pe epruvetele încărcate prin sudare, care au fost utilizate la încercarea la uzură (fig.4.36).

Instalația pe care au fost încercate epruvetele se observă în fig.4.38.

La această instalație de concepție originală, epruveta 1 este încălzită cu ajutorul curenților de înaltă frecvență, prin intermediul inductorului de cupru 2 răcit în interior cu apă.

Prin rotirea epruvei cu o viteză unghiulară constantă,

care poate fi reglată la o anumită valoare în funcție de turăția motorului de antrenare, se realizează răcirea părții încălzite a epruvetei în mediul de răcire 3, care se găsește în recipientul de

tablă termorezistentă 4.

Măsurarea temperaturii

mediului de răcire 3,

se realizează cu ajutorul termocoplului

Fier-Constantan 5, care

este cufundat în baie.

Instalația permite răci-

rea epruvetelor în băi

metalice ugor fuzibile

(plumb, staniu, stibiu)

pe care le menține la

temperatură constantă cu

ajutorul rezistenței e-

lectrice 6. Izolarea

termică a sistemului s-a

realizat cu ajutorul ma-

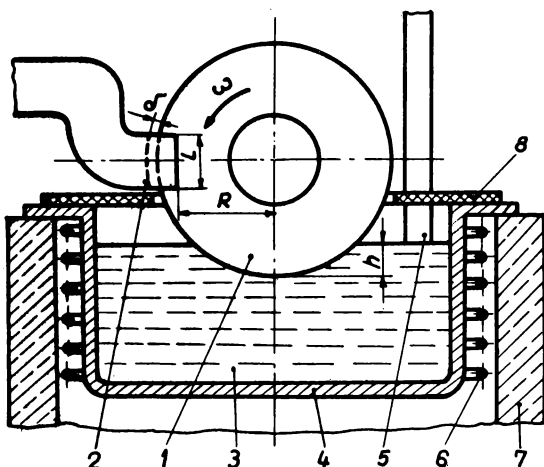
terialului ceramic ter-

moizolant 7 și a capacu-

lui de azbociment 8.

A fost adoptată so-

Fig. 4.38. Instalație pentru determinarea re-



luția de răcire a epruvetelor în baie de aliaje ugor fuzibile, întrucât răcirea intensă în apă, sau în ulei, este mult diferită de cazul real al șocurilor termice, pe care le suferă matrițele de formă. De altfel în cazul răcirilor în apă, sau ulei, fisurile apar după primele rotații ale epruvetei, fără posibilitate de apreciere cantitativă comparativă, a rezultatelor între diferențele epruvete încărcate prin sudare.

Rezistența la șoc termic se poate aprecia în funcție de numărul de rotații, la care a rezistat fiecare epruvetă solicitată în condiții identice, pînă la apariția fisurilor vizibile pe suprafața cilindrică încălzită și răcită succesiv.

Datele experimentale obținute în urma încercării la șoc termic sunt prezentate în tabela 4.11.

Tabela 4.11. Numărul de cicluri termice după care au fisurat epruvetele încercate la soc termic

Metal de bază	MoCN15					VCW85				
	Inter Alloy IWE	Castolin 6806	E 2.50	E <sub>1</sub>	E <sub>2</sub>	Inter Alloy IWE	Castolin 6806	E 2.50	E <sub>1</sub>	E <sub>2</sub>
Electrodul utilizat la încărcare										
Numărul de cicluri termice	112	106	71.	75	97	194	163	88	95	127

Parametrii de lucru pentru care au fost obținute datele prezentate în tabela 4.11, au fost menținuți constanți în cazul tuturor determinărilor și au avut următoarele valori:

- Lungimea activă a inductorului  $L = 10$  mm
- Mărimea intrefierului  $\delta = 1$  mm
- Viteza unghiulară a epruvei  $\omega = 0,1$  rad/s
- Adâncimea de pătrundere în baie  $h = 5$  mm
- Temperatura băii  $623$  K
- Temperatura maximă de încălzire a straturilor încărcate prin sudare  $1173$  K.

Din tabelul 4.11 se observă că rezistența cea mai mare la socuri termice o prezintă electrozii Inter-Alloy-IWE, precum și electrozii Castolin 6806.

Față de electrozii standardizați E 2.50 STAS 7241-69, atât electrozii  $E_1$  dar și cu seamă electrozii  $E_2$ , prezintă o rezistență la soc termic superioară.

#### 4.6. Possibilități de limitare a extinderii straturilor încărcate prin sudare pe suprafața piesei

Lățimea și suprafnățarea sudurii, precum și razele de curbură ale conturului secțiunii transversale a sudurii, sunt dependente de parametrii de lucru și de procedeul de sudare utilizat.

La sudarea cu electrozi îveliți, un rol important asupra acestor mărimi îl are cantitatea și natura zgurii, precum și fluiditatea ei.

In cazul încărcării prin sudare a matrițelor, apar situații în care, datorită extinderii lățimii sudurii, sau a rotunjirii contur-

rului secțiunii transversale a sudurii, apar adăosuri de prelucrare suplimentare nedorite, care îngreunează prelucrarea mecanică ulterioră.

Prin analogie cu dirijarea metalului topit în formele de turnare, s-au efectuat încercări de dirijare a metalului topit prin sudare, în spații limitate de materiale refractare, depuse pe suprafața pieselor sudate sub formă de paste, întărite prin diferite metode. Condiția esențială pe care trebuie să o îndeplinească o astfel de pastă, este aderența suficientă la suprafața piesei, refractaritate cât mai mare și reactivitate chimică minimă față de zgură și față de metalul topit. Dintre pastele experimentate, prezintă interes pasta preparată din praf pe magnezită.

Aplicarea acestei paste pe suprafața piesei sudate, mai prezintă avantajul că protejează zonele învecinate straturilor încărcate, împotriva depunerii stropilor și a peliculelor din substanțe de condensare.

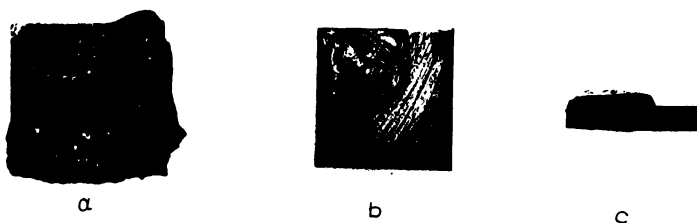


Fig. 4.39. Epruvetă din oțel MoCN15

- a - Strat de pastă aplicat pe epruvetă pentru limitarea extinderii sudurii
- b - Strat încărcat prin sudare pe suprafață liberă a epruvetei
- c - Secțiunea transversală a epruvetei sudate

Astfel, epruveta din oțel MoCN15, pasta, pentru limitarea extinderii stratului încărcat, este prezentată în fig. 2.39,a. Pasta apare de culoare mai închisă, față de fondul cenușiu al epruvetei.

După întărirea pastei, a fost încărcată suprafața liberă a epruvetei, cu un strat sudat cu electrodul E 2.50 - STAS 7241-69. După curățirea zgurei și a stratului de pastă, epruveta sudată se poate observa în fig. 2.39,b. Suprafața alăturată sudurii nu este acoperită cu stropi sau cu alte impurități.

In urma secționării transversale a epruvetei, se observă o delimitare a stratului încărcat prin sudare în fig.2.39-c .

In zona de trecere nu au fost descoperite fisuri sau alte defecte.

Au fost efectuate încercări și cu alte tipuri de electrozi, fără a se observa defecte ale sudurii, sau incompatibilități între zgură și pasta protectoare, ceea ce a permis utilizarea practică a pastei, în cazul încărcării puntiei unor matrițe de forjă, reper 1300-6070-2522, 1300-6070-208 și 1300-8443 I.A.Bv, care s-au compor-tat în exploatare asemănător cu matrițele încărcate în mod obișnuit.

#### 4.7. Concluzii asupra tehnologiei de încărcare prin sudare a otelurilor MoCN15 și VCW85

1. Încărcarea prin sudare a otelurilor MoCN15 și VCW85 este posibilă, dacă se efectuează o prefîncălzire corespunzătoare la temperaturile de 580 K respectiv 710 K. Aceste valori indicate, au aplicabilitate pentru procedeele de încărcare prin sudare și materialele de adaos, la care compoziția chimică a metalului depus prin sudare, este echivalentă cu compoziția chimică a metalului de bază.

2. În cazul materialelor de adaos care asigură o compoziție chimică diferită față de compoziția metalului de bază, pot apărea cazuri de incompatibilitate datorită fisurării zonei de trecere, mai cu seamă la sudarea în straturi suprapuse.

Evitarea acestui gen de fisuri se poate face prin compara-rea curbelor dilatometrice corespunzătoare și prin evitarea pre-fîncălzirii la temperatura la care, diferențele între contractiile termice sunt maxime.

3. Prefîncălzirea metalului de bază, în cazul pieselor ma-sive, prin procedee electrice (prin rezistență de contact, sau prin inducție), crează diferențe de temperatură între părțile exterioare ale pieselor și miez, care pot fi diminuate prin aplicarea regimurilor intermitente de încălzire, formate din perioade de încălzire, alternând cu perioade de pauză. Aceste cicluri pot fi aplicate în întreaga perioadă de sudare, pentru compensarea schimburilor termice.

4. Zona influențată termic, corespunzătoare sudurilor efec-tuate cu energie liniară constantă, variază în funcție de pro-cedeul de sudare aplicat. În mod asemănător, au fost observate și va-riații ale proprietăților mecanice și a structurii zonei influența-

te termic.

Aceste observații confirmă necesitatea impunerii unor condiții limită de aplicabilitate a relațiilor cîmpului termic, la care, pînă în prezent, nu se ține seama de forma și dimensiunile reale ale sursei termice.

Pentru aceleași energii liniare utilizate, procedeul de sudare WIG, precum și procedeul de sudare cu electrozi înveliți, avînd polaritate inversă, prezintă cea mai redusă influență defavorabilă, asupra proprietăților metalului de bază.

5. Difuziunea cea mai favorabilă între sudură și metalul de bază s-a observat, în urma cercetării microscopice a zonei de trecere, pentru metalul depus prin sudare, avînd compoziția chimică echivalentă cu metalul de bază. O difuziune favorabilă prezintă și sudurile avînd conținut de cobalt, realizate cu electrozii InterAlloy și cu noi electrozi elaborați  $E_1$  și  $E_2$ , utilizînd parametrii de sudare indicate. Încercările mecanice efectuate, confirmă aderența bună a aces- tor suduri, atât în cazul încărcării oțelului MoCN15, cît și a oțelului VCW85.

6. Microdefectele cele mai frecvente observate la sudarea cu electrozi înveliți, sunt incluziunile de zgură provenite din curățirea insuficientă a zgurii de pe straturile încărcate.

Cazul cel mai defavorabil apare în cazul electrozilor bazici cu zgură puțină, la care stratul de zgură este discontinuu și se desprinde greu de pe sudură (electrozii E 2.50 - STAS 7241-61).

Sunt periculoase și incluziunile de ferowolfram din sudură puse în evidență cu ajutorul microondei electronice de tip J.X.A-5.A și cu microscopul electronic tip Tesla BS-242-A, care produc microfisurări întîrziate ale sudurii.

7. Microdefectele cele mai frecvente observate la sudare prin procedeul WIG, sunt incluziunile de oxizi, provenite din metalul de ados forjat dacă conține suprapunerile de material și porozitatea sudurii, dacă gazul protector Ar, are puritate redusă.

Tot în cazul sudării WIG a oțelului VCW85, utilizînd ca metal de ados bare forjate din oțel MoCN15, aderența sudurii la metalul de bază scade, dacă energia liniară depășește  $2.10^6$  J/m.

Au fost observate în această situație și fisuri în zona de trecere, care au apărut numai în cazul sudării cu energii liniare mari.

Intrucît aceste defecte nu apar la utilizarea unui metal de adaos VCW85, se presupune că participarea mărită a metalului de bază VCW85, în combinație cu oțelul MoCN15 este defavorabilă în raport cu metalul de bază VCW85.

8. Noii electrozi elaborați E<sub>1</sub> și E<sub>2</sub> având un conținut de 3% Co, măresc atât aderența metalului depus față de metalul de bază, cât și rezistența la soc termic.

Rezistența la uzură pe care o asigură metalul depus cu acești electrozi este comparabilă cu rezistența asigurată de electrozii Inter Alloy IWE, fiind mai redusă însă față de rezistența asigurată de electrozii E 2.50 STAS 7241-69.

9. Este utilă elaborarea pe scară industrială a electrozilor E 3.50 STAS 7241-69 echivalenți electrozilor Castolin 6806, pentru sudarea oțelurilor de tip VCW85. La fabricarea acestui tip de electrozi este necesară continuarea cercetărilor în vederea utilizării pulberilor de ferowolfram cu granulația sub 0,1 mm, pentru evitarea formării incluziunilor exogene de ferowolfram, care pot genera microfisurări întîrziate ale sudurii.

## 5. INCHEIERE

Cercetările efectuate în cadrul lucrării, scot în evidență următoarele aspecte originale:

1. Particularizarea relațiilor cîmpului termic de la sudare, pentru piese masive și ridicarea unei nomograme (fig.3.1o), care permite stabilirea temperaturii de preîncălzire a metalului de bază, în funcție de viteza de răcire impusă. Nomograma este construită pentru oțeluri aliate, avînd conductivitatea termică între  $20\text{--}42 \text{ W/m.K}$ , și pentru energii liniare relativ reduse, avînd valori pînă la  $4,2 \cdot 10^6 \text{ J/m}$ .

Prin folosirea metodei propuse, pot fi construite nomograme asemănătoare pentru orice calități de oțeluri și pentru orice energii liniare, utilizate în practica sudării.

2. Construirea unor diagrame, prin sistematizarea datelor existente, privind tratamentele termice ale oțelurilor pentru matrițe, diagrame care pot fi utilizate și în cazul preîncălzirii, sau a detensiōnării după sudare a matrițelor. Cele mai reprezentative diagrame care permit o utilizare mai comodă și mai precisă a datelor cunoscute, sînt prezentate în fig.1.17, 1.18, 1.20, 1.21, 1.22, 2.6.

3. Pentru preîncălzirea matrițelor în vederea sudării, s-a construit o instalație de încălzire cu flacără gaz metan-aer și s-a mai adaptat pentru acest scop o instalație de încălzire prin rezistență de contact și prin inducție.

4. Realizarea unei instalații pentru simularea ciclurilor termice și pentru înregistrarea acestora, cu ajutorul căreia au fost determinate ciclurile termice caracteristice, care afectează minim proprietățile metalului de bază.

5. Introducerea unei metodici noi pentru marcarea zonelor din care se extrag replicile necesare cercetării la microscopul electronic Tesla B.S - 242 A a microinclusiunilor dintr-o sudură (punctul 4.4.4).

6. Elaborarea unui nou tip de electrod pentru încărcarea prin sudare a matrițelor, avînd un conținut de 3% Mo, 3% Ni, 3% Co, compatibil atît cu oțelul MoCN15, cît și cu oțelul VCW85, care asigură o bună aderență la metalul de bază și o bună rezistență la uzură.

7. Cercetarea și stabilirea unei tehnologii optime de înărcare prin sudare, a matrițelor din oțelurile MoCN15 și VCW85, cu introducerea în exploatare a cercetărilor la întreprinderea de autocamioane Brașov. Au fost încărcate prin sudare matrițele pentru reperele 1300-6070-2522, 1300-6070-208 și 1300-8443 care au avut o comportare superioară în exploatare.

Lucrarea prezintă în ansamblul ei un instrument util de lucru pentru cei care efectueză lucrări de sudare în domeniul oțelurilor aliate. Datele teoretice și practice prezentate pot fi utilizate în practica industrială.

Timișoara, decembrie 1975

BIBLIOGRAFIЯ

- [1] Aldirev, D.A., s.a., - Определение оптимальных условий индукционной наплавки износостойких сплавов. In : Svarocinoe proizvodstvo Nr. 2, 1974, pag. 23-26.
- [2] Anders, W., Hohn, W., - Schweissen mit Pulverdraht ohne von aussen zu geführte Schutzstoffe. In ziss-mitteilungen, Halle Nr.1/1964, pag.150-155.
- [3]. Arnold,A., - Developament and selection of filler metals for bulk welding. In : Welding Journal, nr. 2, 1968 pag.109.
- [4]. Avram, I., Sălăgean, T., - Procedee conexe sudării. Bucureşti, Editura tehnică, 1968.
- [5]. Azizova, S.H., Lianin, K.V., - Issledovanie protessa plavlenia i perenosu elektrodnogo metalla pri svarki poroskovoï provolokoi In : Svarocinoe proizvodstvo, Nr.8, 1969, pag. 8-10.
- [6]. Barnby, J.T., Baylliss, - The crack rezistance of hot-work die steels. In : Metal Forming Nr. 6, iunie, 1969, pag. 157-162.
- [7]. Bagreanski, K.C., s.a., - Razrugenie naplavlenного металла и легированных сталей при циклических тепловых ударах. In : Svarocinoe proizvodstvo Nr. 8, 1964, pag. 15-18.
- [8]. Beck, G., - Über die Beanspruchung vor Schniedegeseken durch Wärme. Diss. Technische Hochschule Hannover, 1957.
- [9]. Becker, H.J., - Utilizarea economică a oțelurilor pentru prelucrări la cald, turnare sub presiune, extrudare și matrițare. Ediție specială din : Zeitschrift für wirtschaftliche Fertigung 64 (1969). Broșura din 7 iulie pag. 353-357, Freiburg, Rudolf Haufe Verlag.
- [10]. Beiulescu, G.E., Năgăuțiu, T., - Metode fizice de analiză a urmelor. București, editura tehnicii, 1974.
- [11]. Beliskii, E.I., s.a., - Naplovka stampov dia goreacei stampovki. In : Cuznecino stampovocinoe proizvodstvo Nr.5, 1967, pag. 44.
- [12]. Belov, V.V., s.a. - Vlianie termicieskin yikiov svarki na hrupkoe razrušenie stalei gruppí H 3 SNVFn. In : Svorocinoe proizvodstvo Nr. 11, 1971, pag. 3.
- [13]. Belocur, I.P., Aliter, V.F., - Elektroinduktivní metod opredelenia koeficienta zapolnenia poroscoi provoloki shitoi. In : Avtomaticiescaya svarka, Nr.10, 1970, pag. 55.
- [14]. Berinde, I., - Incărcarea cu jet de plasmă a metalelor și aliajelor cu carburi greu ruzibile. In : Construcția de mașini

- Nr. 7, 1968, pag. 428-433.
- [15]. Bernadskii, V.N., §.a., - Novye sposobi naplavki. In : Avtomaticheskaya svarka, Nr. 5, 1974, pag. 67 - 70.
- [16]. Birks, L.S., - Electron Probe Microanalysis. Interscience New-York London, 1963.
- [17]. Birks, L.S., - Electron Probe Microanalysis Wiley, New-York, 1972.
- [18]. Boldirev, A.M., §.a., - Upravlenie cristalizaciei metalla pri svarke plavleniem. In : Svarocinoe proizvodstvo Nr.6, 1971, pag. 35-37.
- [19]. Bruk, B.I., - Studiul prin metoda autoradiografiei a repartiției elementelor de aliere în cusătură. In : Sudura, Culegere de traduceri, București, IDT, 1969, pag. 30.
- [20]. Chirijă, V., §.a., - Matrițarea la cald a metalelor. București, Editura tehnică, 1968.
- [21]. Ciecotilo, L.V., Martin, V.M., - Svarka jarostoičin stalei v zascitnīh gazah. In : Avtomaticheskaya svarka Nr. 8, 1970, pag. 51-53.
- [22]. Contorovici, I.A., - Tratamentul termic al oțelului și al fontei, București, Editura tehnică, 1953.
- [23]. Demidovici, E.A., §.a., - Iznosostoikaia naplavka prokatnīh valkov pod keramickim fliusom. In : Svarocinoe proizvodstvo Nr. 12, 1964, pag. 21.
- [24]. Doncienko, E.A., §.a., - Vlianie rejima i materialov na obrazovanie leghirovannih prosloek v zone naplavke. In : Svarocinoe proizvodstvo, Nr. 7, 1969, pag. 16-17.
- [25]. Drăghici, G., - Sudarea cu condensatori a termocupielor subțiri pe capul cuțitelor de strung. In : Metalurgia și construcția de mașini, Nr. 10, 1956.
- [26]. Dragomir, I., Rusu, E., - Rolul fenomenelor de suprafață în germinarea, creșterea și îndepărțarea inclusiunilor nemetalice. In : Metalurgia, Nr. 6, 1973, pag. 351 - 356.
- [27]. Dulămuță, T., - Alegerea și tratamentul termic al oțelurilor de scule. București, Editura tehnică, 1963.
- [28]. Eichhorn, F.W., - Untersuchungen über das Plasmaustrag - schweißen. In : Schweißen und Schneiden, Nr. 12, 1967, pag. 570-575.
- [29]. Sremeev, V.B., - Vlianie sostova leghirovannih borom, hromonicklevih splavov na ih tverdost. In : Avtomaticheskaya svarka, Nr. 6, 1969, pag. 71.

- [30]. Erohin, A.A., - Sposoví vývoda ultrazukových kálebaní v svero-cinuiu vannu. In : Svarocinoe proizvodstvo, Nr.5, 1960.
- [31]. Feustel, E., - Hohe schweissgeschwindigkeit bei WIG schweissen mit Zusatzdraht. In : Der Praktiker Nr. 12, 1968, pag 289-290.
- [32]. Filiugin, A.A., s.a., - Vlanie rejima dvuhelectrodnoi dugovoi naplavki poroscovimi provolokami pod fliusom na himicieskii sostov naplavlenного metalla. In : Svorocinoe proizvodstvo Nr.4, 1971, pag. 37-39.
- [33]. Fomin, V.V., s.a., - Vlanie predoritelinogo podogreva provoloki na rejim i protess gazoelektriciescoi svarki. In : Avtomaticieskaia svarka, Nr. 6, 1974, pag. 38-40.
- [34]. Frumin, I.I., s.a. - Avtomaticiescaia electrodugovaia naplavka. Harkov, Metallurghizdat, 1961.
- [35]. Geller, Iu.A., - Instrumentalnife stali. Moskva, Metalurghizdat, 1961.
- [36]. Gruzdev, B.L., s.a. - Vlanie vnesnego magnitnogo polia na structuru i svoistva soedinenii nikellevih jaroprocinifh splavov. In : Avtomaticiescaia svarka, Nr.9, 1973, pag. 72 - 73.
- [37]. Guliaev, - Metalurgie fizică, Bucuresti, Editura tehnica, 1960
- [38]. Hashimoto, V., s.a., - Weld thermal cycle control of structural steels. In : Journal of the Japan Society of mechanical engineers mai 1968, pag. 594 - 603.
- [39]. Hiller, H.M., - Formenbaustähle fur Druckgiesswerkzeuge und kokilen. In : Technischer Bericht 9/60 Ausgabe Mai 1960.
- [40]. Houdremont, E., - Handbuch der Sonderstahlkunde Springer- Verlag Berlin/Göttingen/Heidelberg 1956.
- [41]. Houdremont, E., - Specjalnife stali. Metallurghizdat, 1960
- [42]. Hollock, B.V., s.a., - Granular metal filler metals for arc Welding. In : Welding Journal, nr.3, 1967.
- [43]. Holloway, J.R., Hopkins, A.D., - Effect of cobalt on the fracture toughness of a nickel-molibdenum not-work die steel. In : Journal of the Iron and Steel Institute Nr.10, octombrie 1971, pag. 813 -818.
- [44]. Holloway, J.R., Hopkins, A.D., - Cobalt improves a die Steel, In : Metal Forming vol. 38, Nr. 6, iunie 1971, pag. 142-151.
- [45]. Höschel, K., - Stickstoffaufnahme beim schutzgassschweissen. In : Schweißtechnik, Nr.3, 1969, pag.110-115.
- [46]. Hrenov, K.K., - Keramicieskie fliusí dla avtomatičeskoi svarki, In : Avtomaticiescaia svarka, Nr. 12, 1960.

- [47]. Iamamoto, S., - Vlijanie ultrazvukovih kolebanii i magnitnogo peremešivaniye, na svoistva svarnih svov titana i ego splavov. In : Referativniy jurnal svarki Nr. 12, referat 12 n 28, 1966.
- [48]. Ionescu, I.Gh., Scorobetiu, L., s.a., - Normalizarea cu flacără gaz metan-aer a otelurilor de tip Cr-Mo-V. In : Bulletinul Institutului Politehnic Iași, seria nouă, tomul XII (XVI). Fasc. 3-4, 1966 pag. 379 - 385.
- [49]. Ionescu, I.Gh., Scorobetiu L., s.a., - Ameliorarea structurii sudurilor realizate la temperaturi joase, prin tratamente termice cu încălzire electrică. În : Comunicările celei de a V-a conferințe de sudură și încercări de metale. Timișoara, septembrie, 1965, pag. 43-50.
- [50]. Ionescu, I.Gh., Scorobetiu, L., - Contribuții la stabilirea tehnologiei sudării în  $\text{CO}_2$ , a otelurilor carbon de calitate și slab aliate expuse diferitelor temperaturi. În : Comunicările celei de a VI-a conferințe de sudură și încercări de metale, Timișoara, septembrie, 1969, pag. 5-14.
- [51]. Ionescu, I.Gh., s.a., - Contribuții la realizarea matrițelor, a șanțelor și la mărirea durabilității lor prin sudarea de încărcare. Extras din Lucrări științifice, vol. V, Institutul Politehnic Brașov, 1961.
- [52]. Ionescu, I.Gh., s.a., - Realizarea matrițelor și șanțelor prin sudarea de încărcare. În : A III-a confereție de sudură și încercări de metale, Vol. II, Timișoara, 1959.
- [53]. Ionescu, I.Gh., Scorobetiu, L., s.a., - Utilaj pentru tratamentul termic prin flacără gaz-metan. În : Comunicările celei de a V-a conferințe de sudură și încercări de metale, Timișoara, septembrie, 1965, pag. 369-375.
- [54]. Ionescu, I.Gh., Marga, Gh., - Construcția transformatorului de sudare reglat în curent continuu pentru automatizarea tratamentului termic al sudurii. În : Comunicările celei de a V-a conferințe de sudură și încercări de metale. Timișoara, septembrie 1965.
- [55]. Iarkovoi, V.S., s.a., - Ulitelinaia prochnosti osnovnogo metalla i svarnih soedinenii stalei N 18 N 9 i N 16 N 9 N 2. În : Avtomaticeskaia svarka, Nr.6, 1969, pag. 38-40.
- [56]. Irmer, W., Hentschel, K., - Plasmaauftragschweissen pulverförmiger Zusatzwerkstoffe. În : Schweißtechnik Nr.5, 1969, pag. 193-197.

- [57]. Ivocikin, I.I., Steklov, I., - O perspektivah primeniiia poroskoobraznogo prisadocinogo metalla pri svarke plavleniem. In : Svarocinoe proizvodstvo, Nr. 6, 1969, pag 33-35.
- [58]. Jdanov, I.M., s.a., - Vlianije elektromagnitnogo peremegivaniia vannî na stoikosti švov protiv goreacîn trecin. In : Avtomatičeskaiâ svarka, Nr.9, 1971.
- [59]. Kannappan, B.E., - Wear in forging dies. In : Metal Forming, Nr.12, 1969, pag. 335-343.
- [60]. Karpenko, V.A., s.a., - Vîbor temperaturî predoritelinogo podogreva pri naplavke stampov. In : Svarociñoe proizvodstvo, Nr.1, 1970, pag. 24-26.
- [61]. Karpenko, V.M., s.a., - Vlianije submikroskopicsikh vkliucienii v naplavленном metalle na stoikosti stampov. In : Svarocinoe proizvodstvo, Nr.12, 1972, pag. 15.
- [62]. Klementov, V.I., s.a., <sup>Novye</sup> -elektrodi dlia naplavki. In : Svarociñoe proizvodstvo, Nr.8, 1974, pag. 46-47.
- [63]. Kasatkin, B.S., s.a., - Nizkolegnirovannie vîsokoprocinnîe stali dlia svarñih konstruktii. In : Avtomaticieskaia svarka, Nr.7 1966.
- [64]. Kohovskii, V.N., s.a., - Snijenie soderjanie ugleroda v metalle sva pri rucinoi svarke nerjaveiuscei stali. In : Avtomaticieskaia svarka, Nr.6, 1970, pag. 18-21.
- [65]. Kondratiev, T.A., s.a., - Poroscovaya provoloka dlia naplavki sloia hromomolibdenogoi stali. In : Avtomaticieskaia svarka, Nr.4, 1969, pag. 71.
- [66]. Korićkii, G.G., s.a., - Vlianije sostava karbonatnogo fliuritnogo pokritiiia na perenos elektrodnogo metalla. In : Avtomaticieskaia svarka, Nr. 7, 1970.
- [67]. Koromzav, V., s.a., - Incărcarea prin sudare a matrițelor. In : Zvaranie Nr.6, 1968, pag. 1968-1972.
- [68]. Kotov, G.N., s.a., - Vlianije dispersnosti lighiruiuscei prisadki v pokrítii na odnorodnosti metalla, gva. In : Svarocinoe proizvodstvo, Nr. 2, 1970, pag. 6-7.
- [69]. Kropf, J., - Confectionarea economică a matrițelor. Traducere din limba germană, Bucuresti, IDT, 1954.
- [70]. Kubriavțev, M.A., s.a., - Vlianije rejima argonodugovoi svarki na razmeri řva. In: Avtomaticieskaia svarka, Nr.11, 1969, pag. 15 - 18.
- [71]. Kuldinov, V.D. Panov, V.I., - Efektivnîi k.p.d. dughi pri poluavtomaticieskoi svárke s ispolizovaniem keramičeskikh sterjnei. In : Avtomaticieskaia svarka, Nr.3, 1973, pag. 72.

- [72]. Lamzin, A.G., ş.a., - Vlianie structurí naplavlenного metalla na iznos pri tıklıcescih teplosmenah. In: Avtomaticiescaia svarca Nr.1, 1971, pag.55.
- [73]. Lange, K., - Die Arbeitsgenauigkeit beim Gesenkschmieden untern Hammern. Diss. Technische Hochschulle Hannover, 1953.
- [74]. Leinaciuk, E.I., Parfesso, G.I., - Vlianie vanadiia k sklonosti naplavlenного metalla k goriacim treşcinan. In: Avtomaticieskaia svarka, Nr.1, 1969, pag.14-17.
- [75]. Lindh, D.V., - The Influence of weld Defects on Performance. In: Welding Journal Nr.2, 1969, pag.45.
- [76]. Liubvig, Iu.I., ş.a., - Griaciaia tverdosti jaroprocinfih splavov In: Avtomaticiescaia svarka, Nr.1, 1969, pag.69-70.
- [77]. Lunnevskii - Reziliența pieselor reconditionate prin sudare. In: Svarocionoe proizvodstvo, Nr.10/1969, pag.25-26.
- [78]. Lupescu, I., Micloș, V., - Sudarea oțelurilor aliate. București, Editura tehnică, 1971.
- [79]. Micșa, I., - Contribuții la încărcarea prin sudare a sculelor așchieatoare. Teză de doctorat. Institutul politehnic Timișoara, 1973.
- [80]. Malissa, H., - The Present Status of Electron Probe Microanalysis International symposium Birmingham London, Butterworts, 1969, pag.479.
- [81]. Marinescu, F., - Oțeluri pentru matrije și tendințe actuale de utilizare a noi sortimente. In: Metalurgia, Nr.7/1970, pag.454..
- [82]. Maynier, Ph., ş.a., -Etablissement d'une équivalence entre temps et la température d'austénitisation. Aplication aux traitements termic et an soudage. Revue de Metallurgie, Nr.12, 1966.
- [83]. Matiakibov, M.M., ş.a., - Pribor dlja opredelenija mnogovennoi scorosti ohlajdenija okološovnoi zonf. In: Avtomaticiescaia svarka, Nr.6, 1969, pag.70.
- [84]. Meitzner, C.F., ş.a., - Microcracking and Delayed cracking in Weld Quenched and Tempered Steels. In: Welding Journal, Nr.9, 1966, pag.393.
- [85]. Melovar, B.I., ş.a., - Vlianie Bora na svoistva i svarivaemosti splavov na nikeljevoi osnove. In: Avtomaticiescaia svarka, Nr.2, 1969, pag.15-18.
- [86]. Million, A., Million, C., - L'hydrogen dans les aciers et dans les joints soudés, Paris, Dunod, 1971.
- [87]. Million, A., - Sudarea automată sub flux cu două sîrme. In: Consfătuirea de sudură și încercări de metale, vol.I, Timișoare 1959.

- [88]. Mulvey, T., - Quantitative Electron Probe Microanalysis NBS Special Publication Nr.298, Washington, 1968, pag. 81.
- [89]. Müller, P., - Influența sudării sub flux asupra rezilienței. In : Culegere de material documentar. Sudarea automată și semiautomată sub flux, București, I.D.T., 1967.
- [90]. Nazarov, I., - Defectoscopie nedistructivă, București, Editura tehnică, 1969, pag. 104.
- [91]. Nippes, E.F., - A Method of Investigating Low-Cycle Thermal Fatigue. In : Welding Journal, Nr.8, 1967, pag. 371
- [92]. Uparin, I.I., Frumin, I.I., - Issledovanie raspredeleniya legiruiuscich elementov v naplavlennom metalle. In : Avtomaticeskaja svarka, Nr.5, 1969, pag. 21-23.
- [93]. Philbert, J., Tixier, R., - Quantitative Electron Probe Micro-analysis, NBC special Publication, Nr. 298, Washington, 1968, pag. 13. . .
- [94]. Podgaetskii, V.V., §.a., - Sovremennoe sostoianie razrabotki i issledovaniia svarocinif fliusov. In : Avtomaticeskaja svarka Nr. 5 , 1970, pag.13-17.
- [95]. Ponovko, V.M., §.a., - O koefficientah i rasciate himicеского sostava metalla pri naplavke. In : Svarocinoe proizvodstvo, Nr.8, 1970, pag. 33-35. . .
- [96]. Ponovko, V.M., §.a., - Vlianije nekotorih parametrov tehnologhii naplavke stampov electrodami УЗИ - 3 na ih stoikosti. In : Svarocinoe proizvodstvo Nr.7, 1974, pag. 28-30.
- [97]. Popov, V.S., Sumkin, V., - Vlianije nemetalicеских вклиюcienii na iznosostoikosti naplavленного metalla v abrazivnoi srede. In : Svarocinoe proizvodstvo Nr. 12, 1969, pag. 39.
- [98]. Popovici, V., Ivancenko, A., - Utilajele sudării electrice, București, Editura Didactică și Pedagogică, 1968.
- [99]. Pospelov, I.G., §.a., - Vlianije termicеского ćiklia svarki na nekotorife svoistva svarnih soedinenii martensitnostareiugcei stali 'H 18 K 9 M 5 T. In : Svarocinoe proizvodstvo, Nr.8, 1971, pag. 35.
- [100]. Potapov, V.N., §.a., - Gorelka dlia dvuhdugovoi svarki plavacimisia electrodom v zęscitnom gaze. In : Svarocinoe proizvostvo, Nr. 2, 1970, pag. 49.
- [101]. Prohorov, N.N., §.a., - Vlianije rejima svarki i himicеского sostava osnovnogo metalla na perväcinuiu structuru metalla șva. In : Avtomaticeskaja svarka, Nr.3, 1974, pag. 7-9.
- [102]. Rancu, N., Tövissi,L., - Statistica matematică cu aplicații în producție. București, Editura Academiei, 1963.

- [103]. Razikov, M.I., §.a., - Issledovanie stoikosti naplavlenного металла при контактно-удорном нагружении. In : Avtomaticieskaia svarka, Nr. 11, 1966, pag. 36-39.
- [104]. Rein, O.R., §.a., - О нагреве порошковой проволоки при сварке. In : Svarocinoe proizvodstvo, Nr. 2, 1971, pag. 32-33.
- [105]. Riabov, B.F., §.a., - Влияние ультразвуковой обработки на усталостную прочность сталинских деталей, наплавленных бронзами. In: Fiz. Him. Meh. Materialov, Nr.5, 1974, pag. 109-111.
- [106]. Rikalin, N.N., - Berechnung der Wärmevorgänge beim schweissen. Berlin Verlag Technik, 1957.
- [107]. Roščin, V.V., §.a., - Rasciet himicеского sostava premejutocih sloev naplavlenного metalла pri svarke raznorodnyh stalei. In : Svarocinoe proizvodstvo, Nr. 9, 1970, pag. 27-28.
- [108]. Kozikov, M.I., §.a., Naplavka stampov goreacei stampovki. In : Svarocinoe proizvodstvo, Nr.2, 1970, pag. 23.
- [109]. Russo, V.L., - Studiul influenței oscilațiilor elastice de diferite frecvențe asupra cristalizației băii de sudură. In : Sudarea, culegere de traduceri, București, IDT, 1959, pag. 3-17
- [110]. Sadomirskii, M.M., §.a., - Tehnologicheskie svoistva stampovih stalei. In : Metallovedenie i termicescaia obrabotka metallov, Nr. 2/1970, pag. 75.
- [111]. Saenger, J.F., Manz, A.F., - Gas Tungsten-Arc Welding. In : Welding Journal, Nr.5, 1968, pag. 387.
- [112]. Sălăgean, T., - Fenomene fizice și metalurgice la sudarea cu arcul electric a oțelurilor, București, Editura Academiei, 1963.
- [113]. Sălăgean, T., - Oțeluri pentru structuri sudate, Timișoara, Editura Facla, 1974.
- [114]. Sălăgean, T., Geția, V., - Utilizarea ferosiliciului în învelișul electrozilor pentru sudarea cu arcul electric. In : Studii și cercetări științifice tehnice, Nr.1-2, 1959. Baza de cercetări științifice, Timișoara..
- [115]. Samanin, M.V., - Cîteva probleme în legătură cu cristalizarea metalului cusături la sudarea cu arc. In : Sudarea, Culegere de traduceri, București, IDT, 1959, pag. 18-30.
- [116]. Saškov, A.N., - Nedefițitne prisedocinie materiali dlia iznos-sostoikoi naplavki. In : Svarocinoe proizvodstvo, Nr. 3, 1969, pag. 45 - 47.

- [117]. Scorobetiu, L., - Cercetări privind alegerea protedeului de încărcare prin sudare a matrițelor de forjă. In : Buletinul Universității din Brașov, Seria A Mecanică Aplicată, Construcția de mașini, vol. XIV, 1973.
- [118]. Scorobetiu, L., Giacomelli, I., - Propuneri pentru o interpretare mai complexă a rezultatelor încercării de încovoiere prin soc. In : Standardizarea Română, Nr.11, 1973, pag. 570-571.
- [119]. Scorobetiu, L., - Cercetări privind variația rezistenței electrice a miezului electrozilor tubulari pentru sudare. In : Buletinul Universității din Brașov, seria A - Mecanică aplicată, Construcția de mașini, vol. XIV, 1972.
- [120]. Scorobetiu, L., - Generator de plasmă. Brevet de invenție, Nr. 51763 din 23 martie 1969.
- [121]. Scorobetiu, L., - Prefincălzirea parțială a matrițelor. In : Buletinul Universității din Brașov, Seria A - Mecanică, Aplicată, Construcția de mașini, vol. XVI, 1974.
- [122]. Scorobetiu, L., Giacomelli, I., - Considerații privind ecruisarea oțelurilor în timpul deformărilor plastice la rece. In : Buletinul Universității din Brașov, Seria Mecanică Aplicată - Construcția de mașini, vol. XVII, 1975.
- [123]. Seenko, I.N., s.a., - Inductionnaia naplavka kompozitionnogo splavov na osnove litogo carbida wolframa. In : Svarocinoe proizvodstvo, Nr.6, 1974, pag. 38-40.
- [124]. Seferian, D., - Metalurgie de la soudure, Paris Dunod ,1965.
- [125]. Simonson, R.D., - Mit " heissem Draht " - eine Variante des Lichtbogenschweissens. In : Schweissen und Schneiden Junie Heft 6, 1972, pag. 223-225.
- [126]. Smirnov, A.G., s.a., - O soputstvuiușcem podogreve pri svarka stali 25 H SNVFA. In : Svarocinoe proizvodstvo, Nr. 9, 1965, pag. 1-5.
- [127]. Sorokin, L.I., s.a., - Perehod elementov iz electroda v naplavleni metall. In : Svarocinoe proizvodstvo, Nr. 5, 1974, pag. 5 - 6.
- [128]. Sraemann, M., s.a., - Zavisimosti mehanicieskin svoistv okolosvnoi zonoi konstruktionñh stalei ot termiciescogo tıkla svarki. In : Svarocinoe proizvodstvo, Nr.11, 1966.
- [129]. Stolbov, V.I., s.a., - Rabotosposobnosti dvuhelektrodnñh gorenlok dlia svarki treh'aznoi dugoi. In : Avtomaticieskaia svarka, Nr.4, 1974, pag. 65-69.

- [130]. Surgeanu, I., Dihoru, V., - Tendințe noi în clasificarea și simbolizarea electrozilor de sudură. In : Curs de perfecționare în domeniul sudurii. Vol. 2, 1970, pag. 82, Institutul politehnic Timișoara.
- [131]. Surgeanu, I., - Particularități constructive ale învelisurilor și influența lor asupra proprietăților electrozilor. In : curs de perfecționare în domeniul sudurii, Vol. 2, 1970, pag. 24. Institutul politehnic Timișoara.
- [132]. Surgeanu, I., s.a., - Tehnologii pentru încărcarea prin sudare și metalizare ; Aplicații la fabricarea pieselor noi și la repararea pieselor uzate . In : Sudarea B.I.T., Nr. 4, 1974, pag. 3 - 27.
- [133]. Seenko, I.N., - Novie elektrodi dlia iznosostoikoi naplavki. In : Svarocinoe proizvodstvo, Nr. 8, 1966, pag. 22 - 25.
- [134]. Schumann, H., - Metalurgie Fizică, București, Editura Tehnică, 1962.
- [135]. Schmidt, I., s.a., - Masinelles Verbindungsuschweissen mit metallpulverzusatz. In : Deutsche Englische Schweißtechnische Gemeinschaftstagung Vorträge, Düsseldorf April, 1967.
- [136]. Smíkov, A.A., - Indrumător pentru tratamente termice, București Editura tehnica, 1966.
- [137]. Thier, H. - Metallurgie des Auftragschweissens mit kobalthartlegierungen. In : Schweißen und Schneiden, Nr.4, 1973, pag. 120.
- [138]. Tkaciev, V.N., s.a., - Vibor optimalnîi rejimov inducționnoi naplavki. In : Svarocinoe proizvodstvo, Nr. 3, 1970, pag. 38 - 40.
- [139]. Tschenke, G., s.a., - Termische Vorgänge im Übergangsgebiet beim Lichtbogenschweissen von Baustählen. In : Schweißen und Schneiden, Nr.7, 1963.
- [140]. Tudoran, P., - Influența încălzirii la  $150^{\circ}\text{C}$  asupra stabilității dimensionale și ovalității inelelor de rulmenti din oțel Rul 1, supuse unor regimuri diferite de tratament termic. In : Buletinul Universității din Brașov, seria A, Mecanică, vol. XIV, 1972.
- [141]. Vadiwasov, D.G., s.a., - O himiciescoi neodnorodosti metalla, naplavlennogo pod leghiruiuscim keramicieskim fliusom ANK-18. In : Svarocinoe proizvodstvo, Nr.4, 1971, pag.39.
- [142]. Valea, I., Vlad, I., - Electrozi și fluxuri de sudare, București, Editura Tehnică, 1971.

- [143] . Vasile, I., Dinu, C., - Confectionarea matrițelor bimetalice. Experiența uzinelor Semănătoarea, București, 1965.
- [144] . Verevkina, N.N., s.a., - hascetone opredelenie rejimov naplavki i svarki. In : svarocinoe proizvodstvo, Nr.3, 1971, pag. 23-26.
- [145] . Verevkina, N.N., s.a., - Naplovocinie materiali povisaiuscie stoicosti valcov goreacei prokatki trub. In Svarocinoe proizvodstvo, Nr. 5, 1971, pag. 41-43.
- [146] . Voldirev, A.M. - Upravlenie kristalizatiei metalla pri svarke plavleniem. In : Svarocinoe proizvodstvo, Nr. 6, 1971, pag.35
- [147] . Winn, W.H., s.a., - Welding at higt field steels. In : Welding Journal, mai 1968.
- [148] . Worting, A.G., Geffner, I., - Prelucrarea datelor experimentale, București, Editura tehnică, 1959.
- [149] . x x x - STAS 492-67. Incercarea durităii prin metoda Vickers.
- [150] . x x x - STAS 1400-69. Incercarea de incovoiere prin soc.
- [151] . x x x - STAS 3611-66. Oțeluri aliate pentru scule. Mărți și condiții tehnice.
- [152] . x x x - STAS 7194-65. Sudabilitatea oțelurilor. Elem.de bază.
- [153] . x x x - STAS 7241-65. Electrozi înveliți pentru încărcarea prin sudare cu metal având proprietăți speciale.
- [154] . x x x - STAS 7400-66. Incercarea de incovoiere prin soc la cald
- [155] . x x x - STAS 7501-66. Analiza dilatometrică.
- [156] . x x x - Catalog îndrumător pentru oțeluri de scule, București, Editura tehnică, 1951.
- [157] . x x x - Metalurgia sudării. București, Centrul de documentare și publicații tehnice ale industriei metalurgice, București 1971.
- [158] . x x x - Sudarea arcatom. București, IDT, 1960.
- [159] . x x x - Interweld Elektroden, R.F.G. Prospect al firmei.
- [160] . x x x - Taschenbuch des Schweißers. Anleitung für Unternahms und Reparaturschweisser. Castolin Lausanne, 1967.
- [161] . x x x - Stabelektroden für Hartauftragungen. In : Gridur, Messer Griesheim GmbH, Nr.4/1970, pag.35.
- [162] . Fühldrähte ( Rohrdrähte). elektrodenfabrik Uerlicon Bührle AG 8050 Zürich.
- [163] . x x x - Schweiss\_pulver. Prospect al firmei Uerlikon
- [164] . x x x - Proizvodstvo elektroodov dlja dugovoi svarki v Japonii. In : Svarocinoe proizvodstvo, Nr.9, 1970, pag. 48.

- [165]. x x x - Elektrodi dlia dugovoi svarki i naplavki. Naukova, Dumka, Kiev, 1967.
- [166]. Atlas zur Wärmebehandlung der Stähle, Verlag Stahleisen Düsseldorf 1961.
- [167]. x x x - Welding fundamental principles and practices. Ottawa, Editura CWB, 1967.
- [168]. x x x - Vorwärmtemperaturen beim Lichtbogenschweissen von stahl. In : Schweißtechnische Informationen M 27-58. Ziss Halle DDR.
- [169]. x x x - Recomandations for the clasification of steels for use in welded structures, I.I.W. - IX - F - 704-70.
- [170]. x x x - Incălzirea volumică prin inducție cu curent de frecven-ță medie și joasă. București, IDT, 1963.

# ANEXA 1

*Influența elementelor de aliere asupra temperaturilor critice de transformare.*

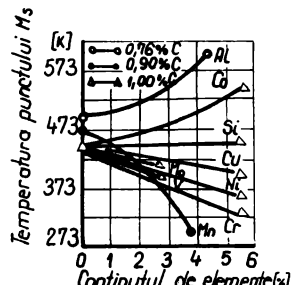


Fig. 1. Influența elementelor de aliere asupra temperaturii punctului  $M_s$  [136]

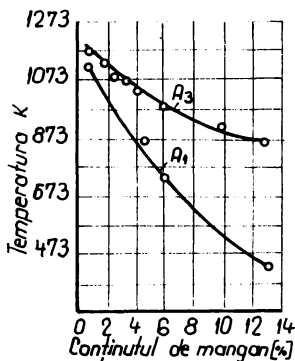


Fig. 2. Influența manganului asupra temperaturilor critice de transformare  $A_1$ ,  $A_3$  ale aliajelor  $Fe - Mn$  [40].

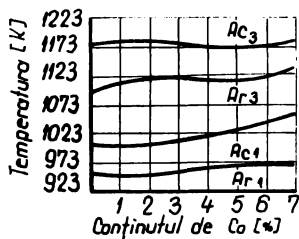
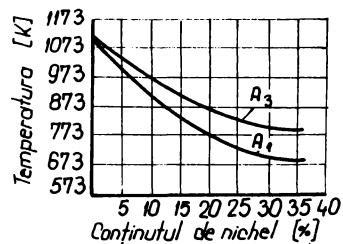


Fig. 4. Influența cobaltului asupra temperaturilor critice de transformare  $A_1$ ,  $A_3$  ale oțelurilor având 0,15% C [40].

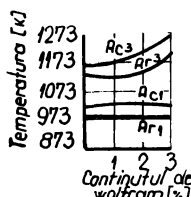


Fig. 5. Influența wolframului asupra temperaturilor critice de transformare ale oțelurilor [40].

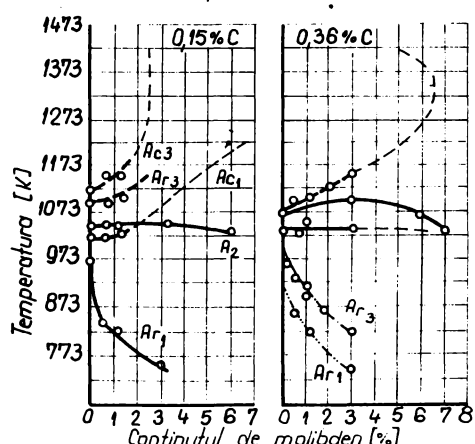
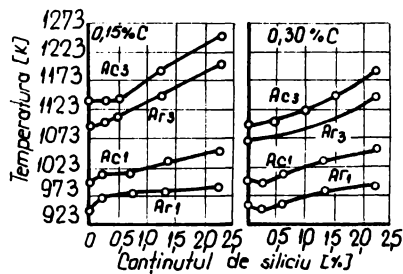


Fig. 7. Influența continutului de molibden asupra temperaturilor critice de transformare ale oțelurilor.

- 156 -  
**ANEXA 2**

**Influenta elementelor de aliere asupra proprietăților fizice  
a oțelurilor**

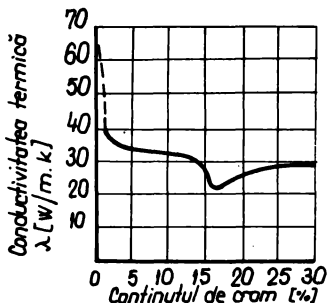


Fig. 1. Variatia coeficientului de conductivitate termica in functie de continutul de crام (40).

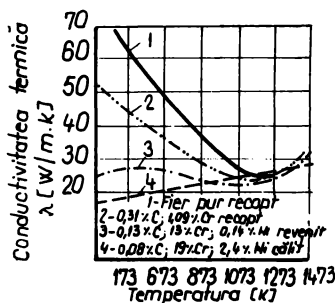


Fig. 2. Variatia coeficientului de conductivitate termica a oțelurilor crام ca functione de temperatura (40).

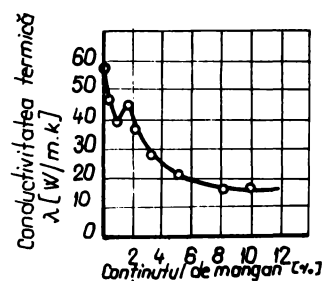


Fig. 3. Variatia coeficientului de conductivitate termica a oțelurilor mangan (40).

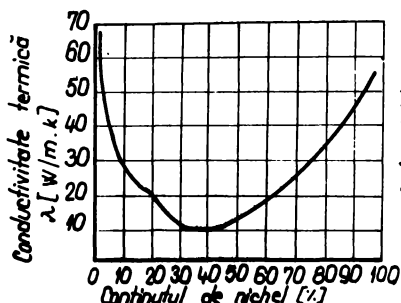


Fig. 4. Variatia coeficientului de conductivitate termica a oțelurilor nichel (40).

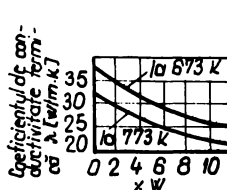


Fig. 5. Variatia coeficientului de dilatare liniară a oțelurilor Nichel (30).

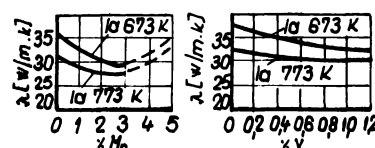


Fig. 6. Variatia coeficientului de dilatare liniară a oțelurilor Nichel (30).

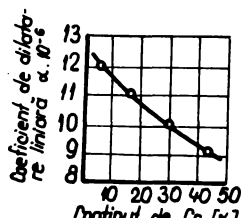
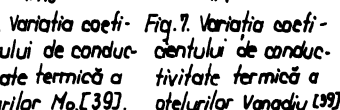


Fig. 8. Variatia coeficientului de dilatare liniară a oțelurilor cu 0.1% Cr (40).

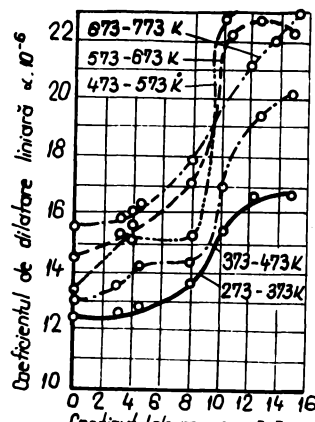


Fig. 9. Variatia coeficientului de dilatare liniară a oțelurilor mangan în stare recopată pentru diferite intervale de temperatură (40).

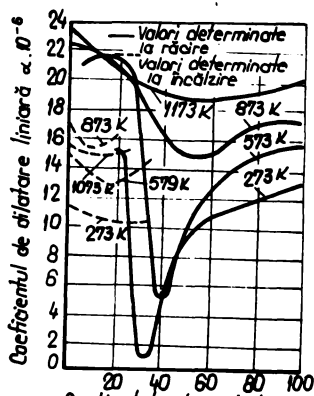


Fig. 10. Variatia coeficientului de dilatare liniară a oțelurilor nichel (40).

### ANEXA 3

*Acțiunea metalurgică a elementelor de aliere în prezența unor elemente insolubile*

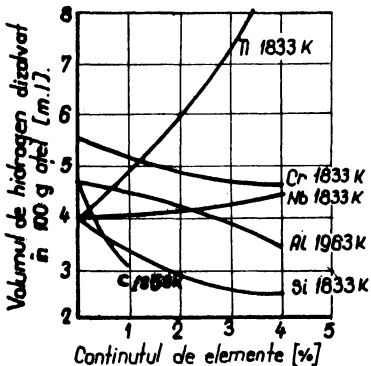


Fig. 1. Influența elementelor de aliere asupra solubilității hidrogenului în oțeluri [112]. Determinările au fost efectuate pentru presiunea de 22 mm col. Hg.

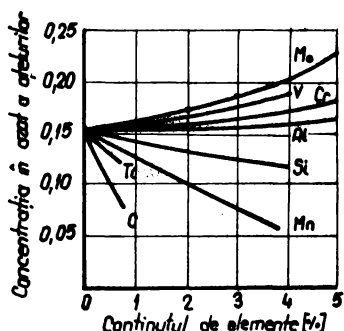


Fig. 2. Concentrația în oxaz a oțelurilor în raport cu continutul în elemente de aliere [112]

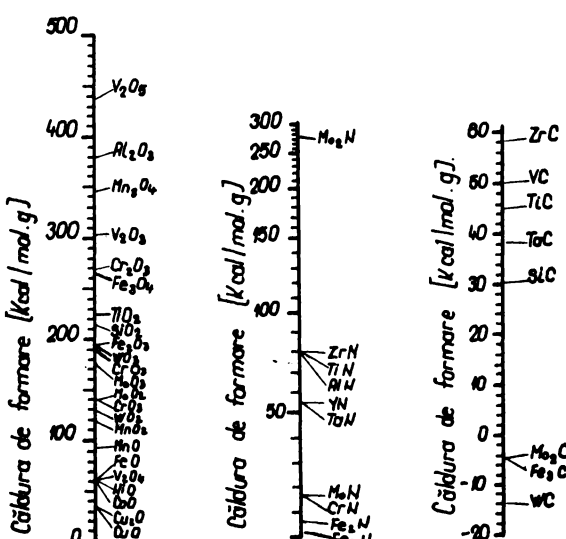


Fig. 3. Efectul termic de formare a unor combinații de elemente de aliere.

## ANEXA 4

### Efectele elementelor de aliere asupra structurii și proprietăților oțelurilor

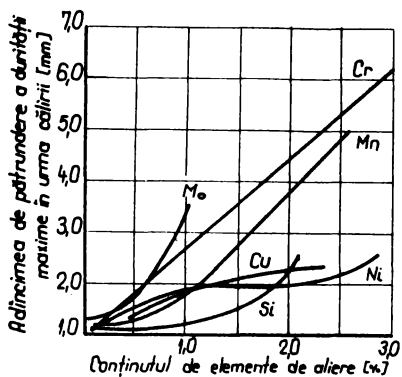


Fig. 1. Influența unor elemente de aliere asupra călăribității [22]

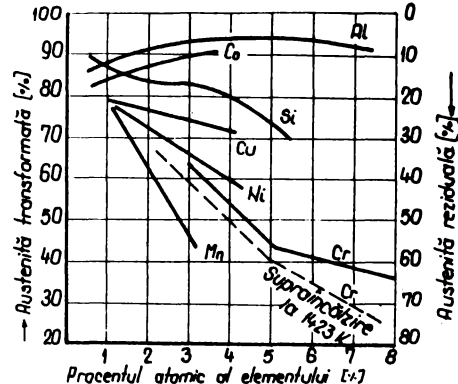


Fig. 2. Influența unor elemente de aliere asupra cantității de austenită reziduală [22]

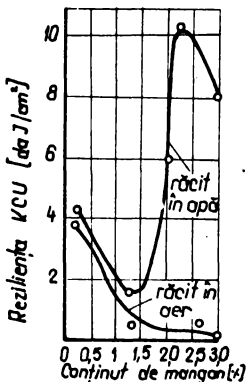


Fig. 3. Variatia rezilientei unor oțeluri cu mangan, în funcție de modul de răcire după revenire [22]

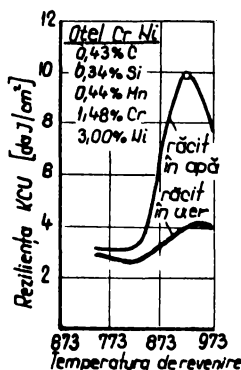


Fig. 4. Influența modului de răcire de la temperatură de revenire asupra rezilientei oțelui Cr-Ni [22]

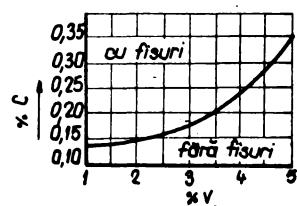


Fig. 5. Influența variației asupra fragilității oțelurilor sudate [74]

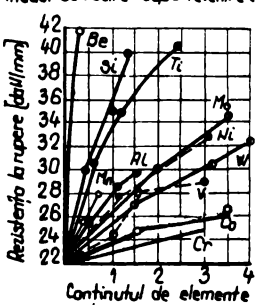


Fig. 6. Influența unor elemente de aliere asupra rezistenței feritei [40]

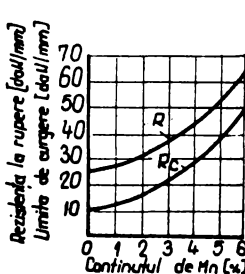


Fig. 7. Influența manganului asupra rezistenței la rupere a oțelului fericit normalizat de la 1223 K [40]

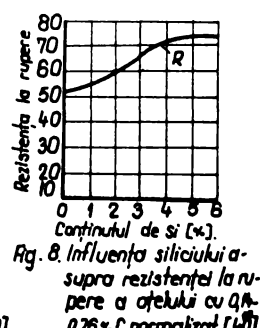
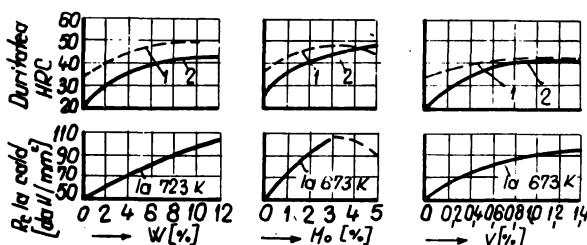
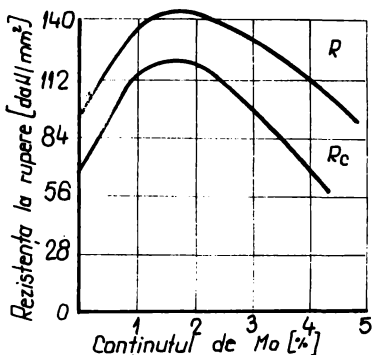
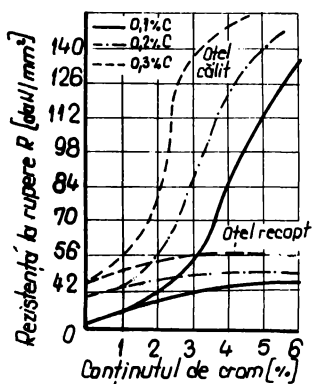
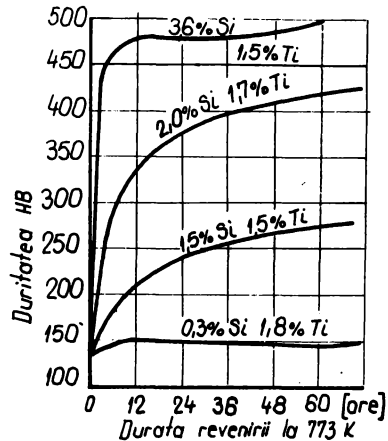
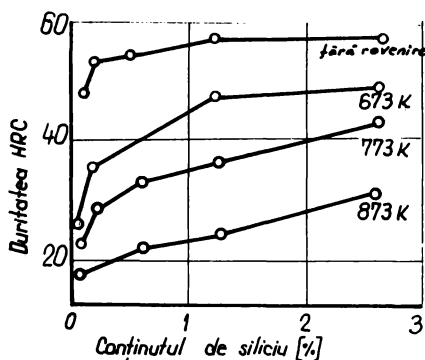


Fig. 8. Influența siliciului asupra rezistenței la rupere a oțelului cu 0,26% C normalizat [40]

**ANEXA 4 (continuare)**



— 1 - Călire de la 1150° în ulei  
— 2 - Călire de la 1150° în ulei și revenire 1/2h la 600°C

Fig. 13. Influența wolframului, molibdenului și vanadiului asupra rezistenței de curgere la cald R<sub>c</sub> și a duratării oțelurilor [39].

NOTATII FOLOSITE IN TEXT

- a : coeficient de difuzabilitate termică [ $m^2/s$ ] .  
α : coeficient de convecție [ $W/m^2 \cdot K$ ]  
α\_d : coeficient de depunere [ $kg/A \cdot h$ ]  
α\_T : coeficient de topire [ $kg/A \cdot h$ ]  
α\_dilatare : coeficient de dilatare termică [ $K^{-1}$ ]  
b : coeficient de participare a metalului de bază [%]  
c : căldură specifică [ $J/kg \cdot K$ ]  
C\_e : carbon echivalent [%]  
σ : mărimea intrefierului [mm]  
f : frecvența curentului [ $H_z$ ]  
F : mărimea suprafeței care se răcește [ $m^2$ ]  
I\_s : intensitatea curentului de sudare [A]  
k\_p : coeficient de participare a învelișului [%]  
K\_φ : coeficient de complexitate a formei la electrozii tubulari [%]  
λ : coeficient de conductivitate termică [ $W/m \cdot K$ ]  
L : portiunea încălzită a unei piese [m] .  
m : coeficient de participare a metalului pulverulent în sudură [%]  
M\_s : temperatura de începere a transformării martensitice [K]  
μ : permeabilitatea magnetică relativă.  
η : coeficient de trecere a elementelor de aliere [%]  
P : perimetrul suprafeței care se răcește [m] .  
q : puterea termică a sursei [W]  
Q : energia sursei termice [J]  
r : raza vectoare de poziție [m]  
R\_KCU : raportul de tenacitate la epruveta de reziliență [%]  
ρ : coeficientul de rezistivitate electrică [ $\Omega \cdot m$ ] .  
ρ : masa specifică [ $kg/m^3$ ]  
t : timpul [s]  
T : temperatura [K]  
T\_o : temperatura de preîncălzire [K]  
T\_o\_max : temperatura de preîncălzire a zonei maxim încălzite [K]  
T\_m : temperatura de stabilitate minimă a austenitei.  
V\_a : tensiunea arcului electric [V]  
V : viteza de sudare [ $m/s$ ]  
W\_r : viteza de răcire [ $K/s$ ]  
Z\_KCU : contractia laterală a epruvetei de reziliență [%]

TABLA DE MATERII

	Pag.
<b>Introducere</b>	
<b>PARTEA I-a</b>	
<b>1. Construcția matrițelor pentru deformări plastice la cald</b>	<b>1</b>
1.1. Matrițe monobloc .....	2
1.2. Matrițe compuse .....	3
1.3. Alegerea oțelurilor pentru matrițe .....	4
1.3.1. Influența unor elemente de aliere asupra proprietăților oțelurilor pentru matrițe ...	5
1.3.2. Mărci indigene de oțeluri cu o largă utilitate în construcția matrițelor .....	10
1.4. Caracteristicile oțelurilor MoCN15 și VCW85 .....	11
1.4.1. Proprietăți mecanice .....	11
1.4.2. Dilatarea liniară .....	12
1.4.3. Carbon echivalent .....	13
1.4.4. Transformările austenitei la răcire și la menținere izotermă .....	14
1.5. Tratamente termice aplicate matrițelor.....	16
1.5.1. Încălzirea și menținerea la temperatură de austenitizare .....	17
1.5.2. Călirea matrițelor .....	17
1.5.3. Revenirea matrițelor .....	19
1.6. Defecțiuni la exploatarea matrițelor .....	21
1.6.1. Factori care favorizează apariția defectelor la matrițelor de forjă .....	21
1.6.2. Influența segregatiilor și a incluziunilor din straturile încărcate prin sudare, asupra producerii defectelor la exploatarea matrițelor .....	22
<b>2. Încărcarea prin sudare a matrițelor .....</b>	<b>26</b>
<b>2.1. Procese termice la încărcarea prin sudare a matrițelor .....</b>	<b>27</b>
2.1.1. Cimpul termic la încărcarea prin sudare ....	27
2.1.2. Viteza de răcire a straturilor încărcate prin sudare .....	29
2.1.3. Preîncălzirea și încălzirea ulterioară a sudurilor, factori care influențează forma ciclurilor termice de la sudare .....	30

	Pag.
2.2. Materiale de adaos utilizate la încărcarea matrițelor	34
2.2.1. Electrozi înveliți .....	34
2.2.1.1. Electrozi indigeni .....	34
2.2.1.2. Electrozi din import .....	35
2.2.1.3. Observații privind învelișul electro-	
zilor .....	37
2.2.2. Sîrme de sudură .....	39
2.2.3. Electrozi cu miez de pulberi .....	39
2.2.4. Materiale de ados sub formă de pulberi .....	42
2.3. Procedee de încărcare prin sudare a matrițelor .....	43
2.3.1. Încărcarea prin procedeul de sudare în hidro-	
gen atomic .....	44
2.3.2. Încărcarea prin procedee de sudare în mediul	
protector de argon cu sîrme aliate .....	44
2.3.3. Încărcarea matrițelor prin sudare cu electrozi	
cu miez de pulbere .....	46
2.3.4. Încărcarea matrițelor prin procedee de sudare	
care utilizează materiale de ados pulverulent	47
2.4. Influența parametrilor de sudare asupra formei și ca-	
litatei straturilor încărcate prin sudare .....	51
2.5. Posibilități de apreciere a calității matrițelor încărcate prin sudare .....	54
<b>PARTEA II-a</b>	
3. Cercetări privind influența ciclurilor termice asupra pro-	
prietăților oțelurilor aliate MoCN15 și VCW85, la încărca-	
rea prin sudare .....	57
3.1. Instalații și aparatură folosită în cercetare .....	57
3.1.1. Aparat pentru înregistrarea ciclurilor termice	
la sudare .....	57
3.1.2. Aparat pentru sudarea termocuprelor pe piese..	59
3.1.3. Instalație pentru simularea ciclurilor termice	62
3.2. Cîmpul termic specific încărcării prin sudare a matri-	
țelor .....	64
3.2.1. Cîmpul termic la încărcarea prin sudare a ma-	
trițelor avînd temperatura inițială constantă	64
3.2.2. Cîmpul termic la încărcarea prin sudare a ma-	
trițelor preîncălzite parțial .....	69

	Pag.
3.2.3. Influența preîncălzirii parțiale asupra vitezei de răcire a sudurii .....	72
3.2.4. Nomogramă de calcul a vitezei de răcire a sudurii .....	74
3.2.5. Cicluri termice produse în zona influențată termic, de diferite procedee de încărcare prin sudare .....	75
3.2.6. Ciclurile termice aplicate oțelurilor MoCN15 și VCW85, și proprietățile mecanice corespunzătoare transformărilor structurale la aceste oțeluri .....	76
3.3. Concluzii asupra ciclurilor termice aplicate oțelurilor MoCN15 și VCW85 .....	84
4. Cercetări privind tehnologia încărcării prin sudare a oțelurilor MoCN15 și VCW85 .....	85
4.1. Adaptarea și realizarea unor utilaje în vederea încărcării prin sudare a matrițelor din oțel MoCN15 și VCW85 .....	85
4.1.1. Dispozitiv pentru poziționarea sudurii .....	85
4.1.2. Dispozitive pentru preîncălzirea matrițelor în vederea încărcării prin sudare .....	86
4.1.2.1. Dispozitiv de încălzire prin rezistență electrică .....	86
4.1.2.2. Dispozitive de încălzire prin inducție .....	89
4.1.2.3. Dispozitiv de încălzire cu flacără ...	90
4.2. Influența energiei liniare și a procedeului utilizat la încărcarea prin sudare a matrițelor asupra geometriei straturilor încărcate .....	91
4.3. Cercetări privind influența procedeului de sudare asupra proprietăților metalului de bază .....	94
4.3.1. Metodica experimentărilor .....	95
4.3.2. Rezultate experimentale .....	99
4.3.3. Interpretarea rezultatelor privind influența procedeelor de sudare asupra proprietăților metalului de bază .....	101
4.4. Cercetări privind calitatea și structura straturilor încărcate prin sudare prin diferite procedee .....	101
4.4.1. Metodica experimentărilor .....	101

	Pag.
4.4.2. Cercetarea macroscopică a straturilor încărcate prin sudare .....	1c4
4.4.3. Cercetarea microscopică a straturilor încărcate prin sudare .....	109
4.4.4. Defecte specifice prezente în zonele încărcate prin sudare .....	116
4.4.5. Aderența dintre straturile încărcate prin sudare și metalul de bază .....	122
4.5. Electrozi noi pentru încărcarea matrișelor din oțelurile MoCN15 și VCW85 .....	123
4.5.1. Proprietățile straturilor încărcate cu electrozii elaborați .....	125
4.5.1.1. Compoziția chimică .....	126
4.5.1.2. Aderența față de metalul de bază .....	127
4.5.1.3. Deformării termice ale metalului cepsus prin sudare .....	128
4.5.1.4. Microstructura straturilor încărcate prin sudare .....	130
4.5.1.5. Rezistența la uzură .....	131
4.5.1.6. rezistența la soc termic .....	134
4.6. Posibilități de limitare a extinderii straturilor încărcate prin sudare pe suprafața piesei .....	136
4.7. Concluzii asupra tehnologiei de încărcare prin sudare a oțelurilor MoCN15 și VCW85 .....	138
5. Încheiere .....	141
6. Bibliografie .....	143
7. Anexe .....	155